



## การออกแบบระบบควบคุมโดยใช้วิธีการหาค่าเหมาะสมที่สุด (LQ)

Control System Design using Optimization Method (LQ)

นายสมชาย เนื่องบุญมี รหัส 44362408

ห้องสมุดคณะวิศวกรรมศาสตร์

วันที่รับ..... 29.8.2548 .....

เลขทะเบียน..... 4.8.0.0.2.4 .....

เลขเรียกหนังสือ..... 85 .....

14995636

มหาวิทยาลัยแม่ฟ้าฯ ว.ศ. 2547

ปริญญานิพนธ์นี้เป็นส่วนหนึ่งของการศึกษาหลักสูตรปริญญาวิศวกรรมศาสตรบัณฑิต

สาขาวิชาชีวกรรมไฟฟ้า ภาควิชาชีวกรรมไฟฟ้าและคอมพิวเตอร์

คณะวิศวกรรมศาสตร์ มหาวิทยาลัยแม่ฟ้าฯ

ปีการศึกษา 2547



## ใบรับรองโครงการวิศวกรรม

หัวข้อโครงการ	การออกแบบระบบควบคุมโดยใช้วิธีการหาค่าเหมาะสมที่สุด(LQ)
ผู้ดำเนินโครงการ	นายสมชาย เชื้อบุญมี รหัส 44362408
อาจารย์ที่ปรึกษา	ดร.ธนิต มาลากร
สาขาวิชา	วิศวกรรมไฟฟ้า
ภาควิชา	วิศวกรรมไฟฟ้าและคอมพิวเตอร์
ปีการศึกษา	2547

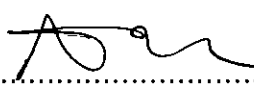
คณะวิศวกรรมศาสตร์ มหาวิทยาลัยราชภัฏ อนุญาตให้โครงการฉบับนี้เป็นส่วนหนึ่งของการศึกษา  
ตามหลักสูตรวิศวกรรมศาสตรบัณฑิต สาขาวิชาวิศวกรรมไฟฟ้า

คณะกรรมการสอนโครงการวิศวกรรม

  
.....ประธานกรรมการ

(ดร.ธนิต มาลากร)

  
.....กรรมการ  
(ดร.สุรเชษฐ์ กานต์ประชา)

  
.....กรรมการ  
(ดร.สมยศ เกียรติวนิชวิไล)

หัวข้อโครงการ	การออกแบบระบบควบคุมโดยใช้วิธีการหาค่าเหมาะสมที่สุด (LQ)
ผู้ดำเนินโครงการ	นายสมชาย เชื่อญูนี รหัส 44362408
อาจารย์ที่ปรึกษา	ดร.ชนิต มาลากร
สาขาวิชา	วิศวกรรมไฟฟ้า
ภาควิชา	วิศวกรรมไฟฟ้าและคอมพิวเตอร์
ปีการศึกษา	2547

---

### บทคัดย่อ

ปัญหาระบบควบคุมแบบเหมาะสมที่สุด ได้ถูกศึกษา กันอย่างแพร่หลายมานานหลายทศวรรษแล้ว และคำตอบที่ได้ถูกนำเสนอไปประยุกต์ใช้ในสิ่งต่างๆ มากมาข ณ โครงการนี้จะนำเสนอวิธี LQ ซึ่งเป็นวิธีใช้กันอย่างกว้างขวางในการวิเคราะห์และสังเคราะห์ตัวควบคุม ซึ่งเป็นวิธีที่พิจารณาให้คำทิ้งท้ายชั้นสมรรถนะต่ำสุด ด้วยเหตุนี้ จึงทำให้วิธี LQ ไม่เพียงแต่ทำให้ระบบมีเสถียรภาพเท่านั้น แต่ยังทำให้ระบบมีสมรรถนะที่คือก ด้วยและในขณะเดียวกันเราจะทำการออกแบบตัวควบคุมโดยใช้วิธีการวางแผนขั้วเพื่อนำผลที่ได้ไปปรับเปลี่ยนเทียบ กับวิธี LQ

**Project Title** Controller System Design using Optimization Method (LQ)  
**Name** Mr.Somchai Chuebunmee ID. 44362408  
**Project Advisor** Dr.Tanit Malakorn  
**Major** Electrical Engineering  
**Department** Electrical and Computer Engineering  
**Academic Year** 2004

---

## ABSTRACT

Optimal control problems have been much studied over the past several decades, and these solutions have been applied effectively in various areas. This project presents the LQ method, one of the most powerful tools in analysis and controller synthesis, so that the cost function is minimized. Thus the LQ method achieves not only the stability, but also the system performance. We here also provide the pole-placement method in order to compare some result with the LQ method.

## กิตติกรรมประกาศ

โครงงานวิศวกรรมไฟฟ้า เรื่องการออกแบบระบบควบคุมโดยใช้วิธีการหาค่าเหมาะสมที่สุด (LQ) นี้ สำเร็จได้ด้วยดี ก็เนื่องด้วยความอนุเคราะห์จากอาจารย์ที่ปรึกษาโครงงานคืออาจารย์ธนิต มาลากร ที่ให้คำปรึกษาและแนะนำสิ่งที่เป็นประโยชน์กับโครงงานนี้เรื่อยมา ตลอดจนอาจารย์ประจำภาควิชาวิศวกรรมไฟฟ้าและคอมพิวเตอร์ มหาวิทยาลัยนเรศวรทุกท่านที่ประสิทธิประสาทวิชาความรู้ทางด้านนี้ให้แก่ผู้ทำโครงงาน จึงขอแสดงความขอบคุณเป็นอย่างสูง ณ ที่นี่ด้วย

สุดท้ายนี้ผู้ทำโครงงานขอขอบพระคุณบิดา มารดา และญาติพี่น้องที่เป็นกำลังใจให้ผู้ทำโครงงานนี้อยู่เสมอ ทำให้โครงงานนี้เสร็จสมบูรณ์ไปได้ด้วยดี

นายสมชาย เทือนฤทธิ์



# สารบัญ

หน้า

บทคัดย่อภาษาไทย.....	ก
บทคัดย่อภาษาอังกฤษ.....	ข
กิตติกรรมประกาศ.....	ค
สารบัญ.....	ง-จ
สารบัญรูป.....	ฉ-ช

## บทที่ 1 บทนำ

1.1 หลักการและเหตุผล.....	1
1.2 วัตถุประสงค์.....	2
1.3 ขอบข่ายงาน .....	2
1.4 ตารางกิจกรรมการดำเนินงาน.....	3
1.5 ผลที่คาดว่าจะได้รับ.....	3
1.6 งบประมาณ.....	3

## บทที่ 2 หลักการและทฤษฎีเบื้องต้น

2.1 พื้นฐานการวิเคราะห์ฟังก์ชันและทฤษฎีตัวดำเนินการ (Introductory Functional Analysis and Operator Theory).....	4
2.2 ทฤษฎีพื้นฐานของระบบควบคุม (Basic Control System Theory).....	8
2.3 การออกแบบระบบควบคุมโดยใช้วิธีการวางข้อ (Pole Placement).....	14
2.4 การออกแบบระบบควบคุมโดยใช้วิธีหาค่าเหมาะสมที่สุด(Optimization; LQ).....	20

## บทที่ 3 ตัวอย่างระบบที่ศึกษา

3.1 ระบบที่ศึกษา.....	42
3.2 การออกแบบตัวควบคุมแบบป้อนกลับสถานะในระบบแบบกลุ่มยนต์แบบอ่อนตัว.....	46
3.3 การออกแบบตัวควบคุมแบบป้อนกลับแบบป้อนกลับสัญญาณขาออกในระบบแขวนกลุ่มยนต์แบบอ่อนตัว.....	66

## สารบัญ (ต่อ)

หน้า

### บทที่ 4 บทสรุป

4.1 สรุปผลการวิเคราะห์.....	90
4.2 ข้อเสนอแนะ.....	90

เอกสารอ้างอิง.....	91
--------------------	----

ภาคผนวก(โปรแกรมคอมพิวเตอร์).....	92
----------------------------------	----

ประวัติผู้ทำโครงการ.....	100
--------------------------	-----



# สารบัญ

รูปที่	หน้า
2.1 ระบบควบคุมแบบวงเปิด(Open-loop Control System).....	12
2.2 ระบบควบคุมแบบวงปิด (Closed-loop Control System).....	12
2.3 แผนผังกล่องระบบควบคุมแบบป้อนกลับสถานะ(State Feedback).....	14
2.4 แผนผังกล่องระบบควบคุมแบบป้อนกลับสัญญาณขาออก.....	15
2.5 ขั้นตอนการออกแบบระบบควบคุม.....	19
2.6 รูปจำลองเส้นทางการเคลื่อนที่ของสถานะที่มีเสถียรภาพในแนวคิดของลีอาปูนอฟ.....	21
2.7 รูปจำลองเส้นทางการเคลื่อนที่ของสถานะที่มีเสถียรภาพแบบเส้นกำกับ(Asymptotic Stability)....	22
2.8 เส้นทางเดิน(Contour)ของสถานะที่ $V(x)$ กดที่และวงโคลง $V(x)$ เมื่อเวลาเพิ่มขึ้น.....	23
2.9 เส้นทางโคลงของตัวบ่งชี้สมรรถนะ $V(x)$ ตั้งแต่เวลา $t \rightarrow T$ .....	24
2.10 แผนผังกล่องระบบควบคุมแบบป้อนกลับสถานะ(State Feedback).....	26
2.11 แผนผังกล่องระบบควบคุมแบบป้อนกลับสถานะ โดยใช้ Kalman-Bucy filter สังเกตสถานะ .....	30
3.1 รูประบบทางกายภาพของแขนกลหุ้นยนต์แบบอ่อนตัว(Flexible Robot Arm).....	42
3.2 ผลตอบสนองของระบบแขนกลหุ้นยนต์แบบอ่อนตัว.....	44
3.3 แผนภาพกล่องของระบบควบคุมแบบป้อนกลับสถานะ .....	46
3.4 ผลตอบสนองแบบหนึ่งหน่วยของระบบแขนกลหุ้นยนต์แบบอ่อนตัวที่ผู้ออกแบบต้องการ.....	47
3.5 ผลตอบสนองแบบหนึ่งหน่วยของระบบหลังจากการออกแบบตัวควบคุมแบบป้อนกลับสถานะ..	50
3.6 แผนภาพกล่องของระบบควบคุมแบบป้อนกลับสถานะเมื่อออกแบบอัตราขยาย $K_c$ เท่าไป.....	51
3.7 ผลตอบสนองของระบบหลังจากการออกแบบตัวควบคุมแบบป้อนกลับสถานะและออกแบบ $K_c$ ..	52
3.8 แผนผังกล่องแสดงตำแหน่งในการการตรวจสอบเส้นทางการเคลื่อนที่ของสถานะ.....	54
3.9 เส้นทางการเคลื่อนที่ของสถานะ $x$ กรณี $Q = [q_{11} = 1, q_{22} = 1, q_{33} = 1, q_{44} = 1]$ $R = [1]$ .....	55
3.10 เส้นทางการเคลื่อนที่ของสถานะ $x$ กรณี $Q = [q_{11} = 50, q_{22} = 1, q_{33} = 1, q_{44} = 1]$ $R = [1]$ .....	56
3.11 แผนผังกล่องแสดงตำแหน่งในการวัดปริมาณการใช้สัญญาณควบคุม.....	57
3.12 รูปปริมาณสัญญาณควบคุมกรณี $R = [1]$ และ $Q = [q_{11} = 1, q_{22} = 1, q_{33} = 1, q_{44} = 1]$ .....	58
3.13 รูปปริมาณสัญญาณควบคุมกรณี $R = [1]$ และ $Q[q_{11} = 50, q_{22} = 1, q_{33} = 1, q_{44} = 1]$ .....	59

## สารบัญรูป (ต่อ)

รูปที่	หน้า
3.14 รูปปริมาณสัญญาณควบคุมกรณี $Q = [q_{11} = 50, q_{22} = 1, q_{33} = 1, q_{44} = 1]$ , $R = 0.01, 1, 100$ .....	60
3.15 เส้นทางการเคลื่อนที่ของสถานะจริง $x$ กรณี $Q = [q_{11} = 50, q_{22} = 1, q_{33} = 1, q_{44} = 1]$ , $R = [0.01]$ .....	62
3.16 แผนผังกล่องระบบควบคุมแบบป้อนกลับสถานะเมื่อป้อนสัญญาณขาเข้าแบบหนึ่งหน่วย.....	62
3.17 ผลตอบสนองแบบหนึ่งหน่วยของระบบหลังจากการออกแบบตัวควบคุมแบบป้อนกลับสถานะ... 63	
3.18 เปรียบเทียบผลตอบสนองแบบหนึ่งหน่วยและตำแหน่งข้อ-ศูนย์ที่ได้จากการออกแบบโดยใช้ วิธีการวางแผนขั้นตอนแบบ LQR.....	65
3.19 แผนผังกล่องของระบบควบคุมแบบป้อนกลับสัญญาณขาออก.....	66
3.20 ผลตอบสนองแบบหนึ่งหน่วยของระบบหลังจากการออกแบบตัวควบคุมแบบป้อนกลับสัญญาณ ขาออก.....	70
3.21 แผนภาพกล่องของระบบควบคุมแบบป้อนกลับสัญญาณขาออกเมื่อออกแบบอัตราขยาย $K_c$ .....	71
3.22 ผลตอบสนองแบบหนึ่งหน่วยของระบบหลังจากการออกแบบตัวควบคุมแบบป้อนกลับสัญญาณ ขาออกและออกแบบ $K_c$ เท่าไหร.....	72
3.23 แผนผังกล่องแสดงตำแหน่งในการตรวจสอบเส้นทางการเคลื่อนที่ของสถานะ.....	74
3.24 เส้นทางการเคลื่อนที่ของตัวแปรสถานะ $x$ กรณี $Q = [q_{11} = 1, q_{22} = 1, q_{33} = 1, q_{44} = 1]$ , $R = [1]$ ..76	
3.25 เส้นทางการเคลื่อนที่ของตัวสังเกต $\hat{x}$ กรณี $Q = [q_{11} = 1, q_{22} = 1, q_{33} = 1, q_{44} = 1]$ $R = [1]$ ..76	
3.26 ความผิดพลาด(error)ระหว่างตัวแปรสถานะจริง $x$ และตัวแปรสถานะสังเกต $\hat{x}$ .....	77
3.27 เส้นทางการเคลื่อนที่ของสถานะ $x$ กรณี $Q = [q_{11} = 50, q_{22} = 1, q_{33} = 1, q_{44} = 1]$ $R = [1]$ ..78	
3.28 แผนผังกล่องแสดงตำแหน่งในการวัดปริมาณการใช้สัญญาณควบคุม.....	80
3.29 รูปปริมาณสัญญาณควบคุมกรณี $R = [1]$ และ $Q = [q_{11} = 50, q_{22} = 1, q_{33} = 1, q_{44} = 1]$ .....	81
3.30 รูปปริมาณสัญญาณควบคุมกรณี $Q = [q_{11} = 50, q_{22} = 1, q_{33} = 1, q_{44} = 1]$ , $R = 0.01, 1, 100$ .....	82
3.31 แผนผังกล่องระบบควบคุมแบบป้อนกลับสัญญาณขาออกเมื่อป้อนสัญญาณขาเข้าแบบหนึ่งหน่วย..83	
3.32 ผลตอบสนองแบบหนึ่งหน่วยของระบบหลังจากการออกแบบตัวควบคุมแบบป้อนกลับสัญญาณ ขาออก.....	85

## สารบัญรูป (ต่อ)

รูปที่	หน้า
3.33 เปรียบเทียบผลตอบสนองแบบหนึ่งหน่วยและสัมภាមนรบกวนกระบวนการและสัมภាមนรบกวนการวัดกรณี พ มีความแปรปรวนเป็น 0.01 และ ท มีความแปรปรวนเป็น 0.01 .....	87
3.34 เปรียบเทียบผลตอบสนองแบบหนึ่งหน่วยและสัมภាមนรบกวนกระบวนการและสัมภាមนรบกวนการวัดกรณี พ มีความแปรปรวนเป็น 0.01 และ ท มีความแปรปรวนเป็น 0.1 .....	88
3.35 เปรียบเทียบผลตอบสนองแบบหนึ่งหน่วยและสัมภាមนรบกวนกระบวนการและสัมภាមนรบกวนการ วัดกรณี พ มีความแปรปรวนเป็น 0.1 และ ท มีความแปรปรวนเป็น 0.01 .....	88



## บทที่ 1

### บทนำ

#### 1.1 หลักการและเหตุผล

ในปัจจุบันระบบควบคุม (Control system) ได้ถูกนำมาใช้กันอย่างแพร่หลาย ทั้งในอุปกรณ์ที่ใช้ในชีวิตประจำวัน ยานพาหนะ งานทางด้านอวกาศ หุ่นยนต์ ตลอดจนใช้ควบคุมเครื่องจักรในโรงงานอุตสาหกรรม ซึ่งระบบควบคุมจะมีหลายแบบแตกต่างกันไป ทั้งนี้ เมื่อเราจะนำมาใช้เราต้องคำนึงถึงความเหมาะสมกันระหว่างตัวควบคุม (Controller) และระบบที่ต้องการจะควบคุม (Plant) ซึ่งระบบควบคุมแบบต่างๆ ล้วนมีเป้าหมายที่จะทำให้ระบบมีสมรรถนะ (Performance) และเสถียรภาพ (Stability) มากขึ้น

ระบบควบคุมแบบอัตโนมัติ (Automatic control) เป็นระบบที่ใช้กันมานานแล้ว ซึ่งในอดีต จะเป็นการควบคุมในลักษณะง่ายๆ โดยอาศัยหลักการทำงานโดยภาพต่างๆ เช่น หลักการลอยตัวบนน้ำของสัตว์ของที่มีความหนาแน่นน้อยกว่าน้ำ หลักการเปลี่ยนพลังงานความร้อนมาเป็นพลังงานกล เป็นต้น แต่ในปัจจุบันระบบควบคุมมีความซับซ้อนมากขึ้น โดยจะกล่าวถึงพัฒนาการของระบบควบคุมดังนี้

ในปี ก.ศ.1922 นิโคลัส มินอสกี (Nicolas Minorsky) ได้ประดิษฐ์ระบบควบคุมหางเสือเรืออัตโนมัติ ซึ่งได้เสนอแนวคิดว่า เสถียรภาพของระบบสามารถหาได้จากความแตกต่างระหว่างสมการของระบบ ปี ก.ศ.1932 เยช ไนควิสท์ (H.Nyquist) ได้เสนอหลักการวิเคราะห์เสถียรภาพของระบบควบคุมแบบวงปิด (Closed-loop system) โดยอาศัยหลักเกณฑ์ของผลตอบสนองของระบบเปิด (Open-loop system) แทน ในปี ก.ศ.1940 เป็นยุคของระบบควบคุมแบบดั้งเดิม (Classical Control) เนื่องจากไม่มีเครื่องซ่วยคำนวณที่ทันสมัย ทำให้ในยุคนี้จะวิเคราะห์ระบบในเชิง โคลเมนความถี่ (Frequency domain) และใช้วิธีการวิเคราะห์ทางเดินราก (Root-locus method) ซึ่งจะใช้ในระบบสัญญาณขาเข้าและขาออกเดียว (SISO) ต่อมาในยุคระบบควบคุมแนวใหม่ (Modern control) เทคโนโลยีคอมพิวเตอร์แบบเชิงตัวเลข (Digital) ได้มีการพัฒนาขึ้น ประกอบกับระบบที่ต้องการจะควบคุมในยุคนี้เป็นระบบขนาดใหญ่และมีหลายสัญญาณขาเข้าและขาออก (MIMO) ซึ่งไม่สามารถใช้การออกแบบในยุคเก่ามาออกแบบตัวควบคุมได้ จึงทำให้วิศวกรรมระบบควบคุมหันมาวิเคราะห์ระบบในโคลเมนเวลาแทน โดยใช้การสังเคราะห์ตัวแปรสถานะ (State variable) ซึ่งพื้นฐานเหล่านี้ก่อให้เกิดการพัฒนาระบบควบคุมแบบต่างๆ ซึ่งได้แก่ ระบบควบคุมแบบเชิงเพื่อสุ่ม (Stochastic control) ระบบควบคุมแบบเหมาสมที่สุด (Optimal control) ระบบควบคุมแบบคงทัน (Robust control) ระบบควบคุมแบบปรับตัวได้ (Adaptive control) เป็นต้น

ในส่วนของโครงงานนี้ จะนำเสนอวิธีการออกแบบระบบควบคุมขึ้นกับตัว โดยใช้วิธีการวางแผนและวิธีการหาค่าเหมาะสมที่สุดแบบกำลังสองเชิงเส้น (Linear Quadratic: LQ) เมื่อวิธีการออกแบบโดยวิธีทางขั้วจะเป็นวิธีที่ง่ายและไม่ซับซ้อน บางครั้งสัญญาณควบคุมที่คำนวณได้ อาจมีค่าสูงมากเกินไป

ซึ่งไม่สามารถจะสังเคราะห์ได้ในทางปฏิบัติ ในทางกลับกัน การออกแบบโดยวิธี LQ จะพิจารณาขนาดของสัญญาณควบคุมในขั้นตอนของการออกแบบควบคู่ไปด้วย ซึ่งจะส่งผลให้สัญญาณควบคุมที่ได้มีค่าที่เหมาะสมและหากมองถึงสมรรถนะของระบบโดยรวม จะพบว่าระบบที่ออกแบบโดยวิธี LQ จะมีสมรรถนะดีกว่าระบบที่ออกแบบโดยวิธีการวางแผนขั้ว

## 1.2 วัตถุประสงค์

1. เพื่อนำความรู้ที่เรียนมาประยุกต์ใช้ในระบบควบคุม
2. เพื่อหาแนวทางแก้ไขแนวใหม่เพื่อรักษาเสถียรภาพของระบบให้ดีขึ้นอยู่ได้
3. เพื่อเป็นการเปรียบเทียบผลตอบสนองของระบบควบคุมที่ได้จากการออกแบบโดยใช้วิธีการวางแผนขั้ว(Pole Placement) และวิธีการหาค่าเหมาะสมที่สุดแบบกำลังสองเชิงเส้น(Linear Quadratic: LQ)

## 1.3 ขอบข่ายของงาน

1. ศึกษาแบบจำลองทางคณิตศาสตร์ของระบบ
2. ศึกษาระบบควบคุมแบบป้อนกลับสัญญาณขาออก(Output feedback)
3. ศึกษาวิธีการวางแผนขั้วและวิธีการหาค่าเหมาะสมที่สุดแบบกำลังสองเชิงเส้น(Linear Quadratic: LQ)
4. จำลองการออกแบบควบคุมโดยใช้วิธีการวางแผนขั้วและวิธีการหาค่าเหมาะสมที่สุดแบบกำลังสองเชิงเส้น(Linear Quadratic: LQ)

#### 1.4 ตารางกิจกรรมการดำเนินงาน

กิจกรรมการดำเนินงาน	2546		2547										
	พ.ย.	ธ.ค.	ม.ค.	ก.พ.	มี.ค.	เม.ย.	พ.ค.	มิ.ย.	ก.ค.	ส.ค.	ก.ย.	ต.	
1. ศึกษาความรู้พื้นฐานเกี่ยวกับระบบควบคุมและพื้นฐานทางคณิตศาสตร์			↔										
2. ส่งรายงานความคืบหน้าของโครงการ			↔										
3. เวียนเทียบผลตอบสนองของระบบควบคุมที่ได้จากการออกแบบโดยใช้วิธีการวางแผนขั้วและวิธี LQ				↔									
4. จำลองการออกแบบควบคุมแบบป้อนกลับในกรณีที่มีตัวสังเกตสถานะโดยใช้วิธี LQ เปรียบเทียบกับวิธีวางแผนขั้ว				↔			↔						
5. จัดทำรูปเล่มโครงการ									↔				
6. เสนอโครงการ												↔	

#### 1.5 ผลที่คาดว่าจะได้รับ

- ทำให้ได้ทราบแนวคิดและหลักการทำงานเบื้องต้นของระบบควบคุมมากขึ้น
- นำเอาวิธี LQ ไปใช้ออกแบบระบบควบคุมได้จริง

#### 1.6 งบประมาณ

- |                        |         |
|------------------------|---------|
| 1. ค่าถ่ายเอกสาร       | 250 บาท |
| 2. ค่าพิมพ์เอกสาร      | 500 บาท |
| 3. แผ่นดิสเก็ต         | 50 บาท  |
| 4. เอกสารประกอบโครงการ | 200 บาท |

รวม 1,000 บาท

## บทที่ 2

### หลักการและทฤษฎีเบื้องต้น

ในการศึกษาและการออกแบบระบบควบคุม จำเป็นต้องใช้ความรู้พื้นฐานทางส่วนมา ประกอบในการใช้สังเคราะห์และวิเคราะห์ระบบ ซึ่งในส่วนของโครงการนี้ การออกแบบระบบควบคุม แบบป้อนกลับสถานะ(State feedback),แบบป้อนกลับสัญญาณขาออก(Output feedback)โดยอาศัยตัว สังเกตสถานะ(State observer)และแบบกำลังสองเชิงเส้น(LQ) จะต้องมีความรู้พื้นฐานเกี่ยวกับกฎและ ทฤษฎีต่างๆ ดังนี้

#### 2.1 พื้นฐานการวิเคราะห์ฟังก์ชันและทฤษฎีตัวดำเนินการ (Introductory Functional Analysis and Operator Theory)

เนื่องจากการวิเคราะห์ระบบควบคุมส่วนใหญ่นักเขียนแทนระบบทางกายภาพด้วยสมการทาง คณิตศาสตร์ เพื่อสะดวกในการคำนวณ ดังนั้นจึงจำเป็นต้องมีพื้นฐานทางคณิตศาสตร์ดังนี้

##### 2.1.1 นอร์ม (Norm)

ถ้าเราต้องการตรวจสอบผลตอบสนองของระบบควบคุมนั้นอาจสามารถดูได้จากขนาดของ สัญญาณ ตัวอย่างเช่น สามารถดูจากค่าความผิดพลาดของสัญญาณ (Error signal) หรือค่าสัญญาณขา ออก (Output signal) ซึ่งขนาดของสัญญาณที่กล่าวถึงนี้ก็สามารถพิจารณาจากค่านอร์ม (Norm) ซึ่งนิยาม ดังนี้

ให้  $X$  เป็นปริภูมิเวกเตอร์ใด ๆ นอร์มนบน  $X$  คือค่าฟังก์ชันจริงบน  $X$  ซึ่งใช้สัญลักษณ์ว่า  $\|x\|$  โดยที่  $x$  เป็นสมาชิกใด ๆ ในปริภูมิเวกเตอร์  $X$  โดยที่นอร์มจะต้องมีคุณสมบัติดังต่อไปนี้

- 1)  $\|x\| \geq 0$
- 2)  $\|x\| = 0 \Leftrightarrow x = 0$
- 3)  $\|\alpha x\| = |\alpha| \|x\|$
- 4)  $\|x + y\| \leq \|x\| + \|y\|$

โดย  $x$  และ  $y$  เป็นสมาชิกใด ๆ ใน  $X$  และ  $\alpha$  เป็นค่าสเกลาร์ใด ๆ

ตัวอย่างของนอร์มนบนปริภูมิเวกเตอร์ชนิดต่าง ๆ

ตัวอย่างที่ 1 นอร์มของเวกเตอร์  $x$  ในปริภูมิยุคลิดิก (Euclidean space)  $\mathbb{R}^n$  สามารถนิยามได้ดังนี้

$$\|x\|_2 = \sqrt{\sum_{i=1}^n |x_i|^2} = \sqrt{|x_1|^2 + \dots + |x_n|^2}$$

ตัวอย่างที่ 2 ให้  $X$  แทนปริภูมิเวกเตอร์ของฟังก์ชันต่อเนื่องค่าจริงที่นิยามในช่วงปิดจาก  $a$  ไป  $b$  เราสามารถนิยาม norm ดังนี้

$$\|x\|_p = \left( \int_a^b |x(t)|^p dt \right)^{1/p}$$

เมื่อพิจารณาระบบที่เป็นเชิงเส้นไม่เปลี่ยนแปลงตามเวลา ความสัมพันธ์ระหว่างสัญญาณเข้า และสัญญาณออกของระบบสามารถเขียนอยู่ในรูปสมการดังนี้

$$y = G * u, \text{ โดยที่ } * \text{ คือ การหาปริพันธ์สัมวัตนาการ (Convolution integral)}$$

ซึ่งถูกนิยามโดย

$$y(t) = \int_{-\infty}^{\infty} G(t-\tau)u(\tau)d\tau$$

ดังนั้นขนาดหรืออนุร์มของสัญญาณขาออก  $y(t)$  สามารถนิยามได้เป็น

$$\|y\|_2 = \sqrt{\int_0^t |y(t)|^2 dt}$$

2.1.2 พีชคณิตเชิงเส้น (Linear Algebra)

เมตริกซ์ (Matrix)

นิยาม เมตริกซ์  $A$  ขนาด  $m \times n$  ได้

$$A = [a_{ij}]_{1 \leq i \leq m, 1 \leq j \leq n}$$

ที่มี  $m$  แถวและ  $n$  หลัก คือตัวดำเนินการเชิงเส้นที่ส่งปริภูมิเวกเตอร์  $\mathbb{R}^n$  ไปยังปริภูมิเวกเตอร์  $\mathbb{R}^m$  ( $A : \mathbb{R}^n \rightarrow \mathbb{R}^m$ ) ดังสมการ  $y = Ax$  โดยที่  $x = [x_1 \dots x_n]^T \in \mathbb{R}^n$  และ  $y = [y_1 \dots y_m]^T \in \mathbb{R}^m$  ในกรณีนี้เราสามารถเขียนเมตริกซ์  $A$  ออกมานี้เป็น

$$A = \begin{bmatrix} a_{11} & a_{12} & a_{13} & \dots & a_{1n} \\ a_{21} & a_{22} & a_{23} & \dots & a_{2n} \\ \vdots & \vdots & \vdots & \vdots & \vdots \\ a_{m1} & a_{m2} & a_{m3} & \dots & a_{mn} \end{bmatrix}$$

โดยที่  $a_{ij}$  เรียกว่า **สมาชิก (element)** ของ  $A$

ถ้า เมทริกซ์  $A$  มีจำนวนแຄวและจำนวนหลักเท่ากัน (นั่นคือ  $m = n$ ) เราจะเรียก  $A$  ว่า **เมทริกซ์จักรัส**

### **เมทริกซ์สมมาตร (Symmetric Matrix)**

นิยาม เมทริกซ์จักรัส  $A$  เรียกว่าเป็นเมทริกซ์สมมาตร ถ้า  $A^T = A$  โดยที่  $A^T$  คือ เมทริกซ์สับสัมเปลี่ยนของเมทริกซ์  $A$  (*Transpose of A*)

#### ตัวอย่าง

$$A = \begin{bmatrix} 2 & -4 \\ -4 & 2 \end{bmatrix} \quad \text{เป็นเมทริกซ์สมมาตร}$$

### **เมทริกซ์เชอมิทเทียน (Hermitian Matrix)**

นิยาม เมทริกซ์จักรัส  $A$  จะเรียกว่า เมทริกซ์เชอมิทเทียน ถ้า  $A = A^*$  โดยที่  $A^* = (\bar{A})^T$

### **เมทริกซ์บวกແນ່ນອນ (Positive-definite Matrix)**

นิยาม เมทริกซ์จักรัสค่าจริง  $A$  ขนาด  $n \times n$  เรียกได้เป็นเมทริกซ์บวกແນ່ນອน (Positive definite matrix) ถ้า  $x^T Ax > 0$  ทุกค่า  $x \neq 0$  ใน  $\mathbb{R}^n$

#### ตัวอย่าง

$$\begin{aligned} x^T Q x &= [x_1 \ x_2] \begin{bmatrix} 1 & 0 \\ 0 & 1 \end{bmatrix} \begin{bmatrix} x_1 \\ x_2 \end{bmatrix} \\ &= x_1^2 + x_2^2 > 0 \quad \text{ทุกค่า } \begin{bmatrix} x_1 \\ x_2 \end{bmatrix} \neq 0 \text{ ใน } \mathbb{R}^2 \end{aligned}$$

$\therefore Q$  เป็นเมทริกซ์บวกແນ່ນອນ

### **เมทริกซ์กึ่งบวก (Positive-semi definite Matrix)**

นิยาม เมทริกซ์จักรัสค่าจริง  $A$  ขนาด  $n \times n$  เรียกได้เป็นเป็นเมทริกซ์กึ่งบวก (Positive-semi definite matrix) ถ้า  $x^T Ax \geq 0$  ทุกค่า  $x \neq 0$  ใน  $\mathbb{R}^n$

ตัวอย่าง

$$\begin{aligned} x^T Q x &= \begin{bmatrix} x_1 & x_2 \end{bmatrix} \begin{bmatrix} 1 & -1 \\ -1 & 1 \end{bmatrix} \begin{bmatrix} x_1 \\ x_2 \end{bmatrix} \\ &= x_1^2 - 2x_1x_2 + x_2^2 \geq 0 \quad \text{ทุกค่า } \begin{bmatrix} x_1 \\ x_2 \end{bmatrix} \neq 0 \text{ ใน } \mathbb{R}^2 \end{aligned}$$

$\therefore Q$  เป็นแมทริกซ์กึ่งบวก (Positive-semidefinite matrix)

**เมทริกซ์เอกฐานและเมทริกซ์ไม่เป็นเอกฐาน (Singular and non-Singular Matrices)**

นิยาม ถ้าเมทริกซ์ตัวรัส  $A$  ใดๆ ซึ่งค่า  $\det A = 0$  จะเรียกว่า เมทริกซ์เอกฐาน

ถ้าเมทริกซ์ตัวรัส  $A$  ใดๆ ซึ่งค่า  $\det A \neq 0$  จะเรียกว่า เมทริกซ์ไม่เป็นเอกฐาน

ตัวอย่าง

$$A = \begin{bmatrix} 8 & -6 \\ 4 & -3 \end{bmatrix}$$

$$\det A = (8 \times (-3)) - ((-6) \times 4) = 0$$

$\therefore A$  เป็นแมทริกซ์เอกฐาน (Singular matrix)

$$A = \begin{bmatrix} 8 & 9 \\ -3 & 2 \end{bmatrix}$$

$$\det A = (8 \times 2) - ((-3) \times 9) = 43$$

$\therefore A$  เป็นแมทริกซ์ไม่เป็นเอกฐาน (non-Singular matrix)

**การหาค่า特征根 (Eigenvalues:  $\lambda$ )**

กำหนดให้  $A$  เป็นเมทริกซ์ตัวรัสใดๆ ค่า特征根ของ  $A$  ซึ่งใช้สัญลักษณ์ว่า  $\lambda(A)$  คือรากของสม

การ  $\det(\lambda I - A) = 0$

ตัวอย่าง

$$A = \begin{bmatrix} 1 & 16 \\ 0 & 3 \end{bmatrix}$$

$$\begin{aligned} \det(\lambda I - A) &= \det \left( \lambda \begin{bmatrix} 1 & 0 \\ 0 & 1 \end{bmatrix} - \begin{bmatrix} 1 & 16 \\ 0 & 3 \end{bmatrix} \right) \\ &= \det \begin{bmatrix} \lambda - 1 & -16 \\ 0 & \lambda - 3 \end{bmatrix} \end{aligned}$$

$$\therefore \det(\lambda I - A) = (\lambda - 1)(\lambda - 3) = 0 \quad \text{จะได้ค่า } \lambda = 1, 3$$

## 2.2 ทฤษฎีพื้นฐานของระบบควบคุม (Basic Control System Theory)

### 2.2.1 ฟังก์ชันถ่ายโอน (Transfer function)

ฟังก์ชันถ่ายโอน เป็นอัตราส่วนของสมการทางด้านสัญญาณขาออก ต่อสมการทางด้านสัญญาณขาเข้าที่ถูกแปลงมาปลายแล้ว ภายใต้เงื่อนไขเริ่มต้น (Initial Condition) เป็นศูนย์ เมื่อพิจารณาสมการเชิงอนุพันธ์ของระบบไม่แปรเปลี่ยนตามเวลาของสัญญาณขาเข้า และสัญญาณขาออก  $y$  ดังนี้

$$y^{(n)} + a_1 y^{(n-1)} + \dots + a_{n-1} y + a_n y = b_0 u^{(n)} + b_1 u^{(n-1)} + \dots + b_{n-1} u + b_n u$$

ฟังก์ชันถ่ายโอนของระบบสามารถหาได้โดยการแปลงลากลางทั้งสองข้างของสมการข้างต้น ภายใต้เงื่อนไขเริ่มต้น (Initial Condition) เป็นศูนย์ จะได้

$$\frac{Y(s)}{U(s)} = \frac{b_0 s^n + b_1 s^{n-1} + \dots + b_{n-1} s + b_n}{s^n + a_1 s^{n-1} + \dots + a_{n-1} s + a_n}$$

โดยปกติกำลังของเศษ < กำลังของส่วน

### 2.2.2 แบบจำลองทางคณิตศาสตร์ (Mathematical model)

ในการออกแบบระบบควบคุมจำเป็นต้องใช้แบบจำลองทางคณิตศาสตร์ (Mathematical model) โดยทั่วไปเรานิยมแทนค่าตัวแปรที่สนใจด้วยตัวแปรสถานะ  $x$  แทนสัญญาณควบคุมขาเข้าด้วย  $u$  แทนสัญญาณขาออกด้วย  $y$

ถ้าเรามีสัญญาณควบคุมขาเข้า  $r$  ตัว ( $r \in \mathbb{R}^n$ ) สัญญาณขาออก  $m$  ตัว ( $y \in \mathbb{R}^m$ ) และตัวแปรสถานะ  $n$  ตัว ( $x \in \mathbb{R}^n$ ) เราสามารถเขียนสมการสถานะและสมการขาออก ในรูปทั่วไปดังนี้

$$\begin{aligned} \dot{x}_1(t) &= f_1(x_1, x_2, \dots, x_n; u_1, u_2, \dots, u_r; t) \\ \dot{x}_2(t) &= f_2(x_1, x_2, \dots, x_n; u_1, u_2, \dots, u_r; t) \\ &\vdots \\ \dot{x}_n(t) &= f_n(x_1, x_2, \dots, x_n; u_1, u_2, \dots, u_r; t) \end{aligned} \tag{2.2.1}$$

$$\begin{aligned} y_1(t) &= g_1(x_1, x_2, \dots, x_n; u_1, u_2, \dots, u_r; t) \\ y_2(t) &= g_2(x_1, x_2, \dots, x_n; u_1, u_2, \dots, u_r; t) \\ &\vdots \\ y_m(t) &= g_m(x_1, x_2, \dots, x_n; u_1, u_2, \dots, u_r; t) \end{aligned} \tag{2.2.2}$$

ถ้ากำหนดให้  $x = \begin{bmatrix} x_1 \\ \vdots \\ x_n \end{bmatrix}$ ,  $u = \begin{bmatrix} u_1 \\ \vdots \\ u_r \end{bmatrix}$  และ  $y = \begin{bmatrix} y_1 \\ \vdots \\ y_m \end{bmatrix}$  สมการ 2.2.1 และ 2.2.2 สามารถเขียนลดรูปเป็น

$$\begin{aligned}\dot{x}(t) &= f(x; u; t) \\ y(t) &= g(x; u; t)\end{aligned}\tag{2.2.3}$$

กรณีที่เป็นระบบเชิงเส้นแปรตามเวลา (Linear time-varying system) สมการที่ 2.2.3 จะเป็น

$$\begin{aligned}\dot{x}(t) &= A(t)x(t) + B(t)u(t) \\ y(t) &= C(t)x(t) + D(t)u(t)\end{aligned}$$

ถ้าเป็นระบบเชิงเส้น ไม่แปรตามเวลา (Linear time-invariant system) สมการที่ 2.2.3 จะเป็น

$$\begin{aligned}\dot{x}(t) &= Ax(t) + Bu(t) \\ y(t) &= Cx(t) + Du(t)\end{aligned}$$

### 2.2.3 การเขียนแทนฟังก์ชันถ่ายโอนของระบบในรูปปริภูมิสถานะ

การแปลงฟังก์ชันถ่ายโอนมาอยู่ในรูปแบบปริภูมิสถานะ สามารถทำได้หลายวิธีขึ้นอยู่กับรูปแบบบัญญาติที่เลือก โดยจะแสดงรูปแบบที่นิยม 3 รูปแบบ ซึ่งการนำไปใช้มีความแตกต่างกันโดยจะมีรูปแบบต่างๆ ดังนี้

จากฟังก์ชันถ่ายโอน

$$\frac{Y(s)}{U(s)} = \frac{b_0 s^n + b_1 s^{n-1} + \dots + b_{n-1} s + b_n}{s^n + a_1 s^{n-1} + \dots + a_{n-1} s + a_n}$$

รูปแบบบัญญาติที่ควบคุมได้ (Controllable Canonical form)

รูปแบบบัญญาติที่ควบคุมได้ จะเป็นรูปแบบที่เขียนแทนระบบให้มีคุณสมบัติความสามารถควบคุมได้ ซึ่งมีรูปแบบดังต่อไปนี้

$$\begin{bmatrix} \dot{x}_1 \\ \dot{x}_2 \\ \vdots \\ \dot{x}_{n-1} \\ \dot{x}_n \end{bmatrix} = \begin{bmatrix} 0 & 1 & 0 & \dots & 0 \\ 0 & 0 & 1 & \dots & 0 \\ \vdots & \vdots & \vdots & & \vdots \\ 0 & 0 & 0 & \dots & 1 \\ -a_n & -a_{n-1} & -a_{n-2} & \dots & -a_1 \end{bmatrix} \begin{bmatrix} x_1 \\ x_2 \\ \vdots \\ x_{n-1} \\ x_n \end{bmatrix} + \begin{bmatrix} 0 \\ 0 \\ \vdots \\ 0 \\ 1 \end{bmatrix} u$$

$$y = [b_n - a_n b_0 \quad b_{n-1} - a_{n-1} b_0 \quad \dots \quad b_1 - a_1 b_0] \begin{bmatrix} x_1 \\ x_2 \\ \vdots \\ x_n \end{bmatrix} + b_0 u$$

รูปแบบบัญญัติที่สังเกตได้(Observable Canonical form)

รูปแบบบัญญัติที่สังเกตได้ จะเป็นรูปแบบที่เขียนแทนระบบให้มีคุณสมบัติความสามารถสังเกตได้ ซึ่งมีรูปแบบดังต่อไปนี้

$$\begin{bmatrix} \dot{x}_1 \\ \dot{x}_2 \\ \vdots \\ \dot{x}_n \end{bmatrix} = \begin{bmatrix} 0 & 0 & \dots & 0 & -a_n \\ 1 & 0 & \dots & 0 & -a_{n-1} \\ \vdots & \vdots & & \vdots & \vdots \\ \vdots & \vdots & & \vdots & \vdots \\ 0 & 0 & \dots & 1 & -a_1 \end{bmatrix} \begin{bmatrix} x_1 \\ x_2 \\ \vdots \\ x_n \end{bmatrix} + \begin{bmatrix} b_n - a_n b_0 \\ b_{n-1} - a_{n-1} b_0 \\ \vdots \\ b_1 - a_1 b_0 \end{bmatrix} u$$

$$y = [0 \quad 0 \quad \dots \quad 0 \quad 1] \begin{bmatrix} x_1 \\ x_2 \\ \vdots \\ x_{n-1} \\ x_n \end{bmatrix} + b_0 u$$

รูปแบบบัญญัติแบบเส้นทแยงมุม(Diagonal Canonical form)

ในรูปแบบบัญญัติแบบนี้ จะใช้ในกรณีที่พงก์ชันถ่ายโอนของระบบสามารถเขียนอยู่ในรูป

$$\begin{aligned} \frac{Y(s)}{U(s)} &= \frac{b_0 s^n + b_1 s^{n-1} + \dots + b_{n-1} s + b_n}{(s+p_1)^2 (s+p_3) (s+p_4) \dots (s+p_n)} \\ &= b_0 + \frac{c_1}{(s+p_1)^2} + \frac{c_2}{s+p_1} + \frac{c_3}{s+p_3} + \frac{c_4}{s+p_4} + \dots + \frac{c_n}{s+p_n} \end{aligned}$$

หรือจะเขียนได้ว่า

$$Y(s) = b_0 U(s) + \frac{c_1}{(s+p_1)^2} U(s) + \frac{c_2}{s+p_1} U(s) + \frac{c_3}{s+p_3} U(s) + \frac{c_4}{s+p_4} U(s) + \dots + \frac{c_n}{s+p_n} U(s)$$

กำหนดให้  $X_1(s) = \frac{1}{(s+p_1)^2} U(s)$

$$X_2(s) = \frac{1}{s+p_1} U(s)$$

$$X_3(s) = \frac{1}{s+p_3} U(s)$$

$\vdots$

$$X_n(s) = \frac{1}{s+p_n} U(s)$$

จะสามารถเขียนได้ว่า

$$Y(s) = b_0 U(s) + c_1 X_1(s) + c_2 X_2(s) + c_3 X_3(s) + c_4 X_4(s) + \dots + c_n X_n(s)$$

แปลงมาเป็นรูปแบบ จะเขียนได้เป็น

$$y = b_0 u + c_1 x_1(s) + c_2 x_2(s) + c_3 x_3(s) + c_4 x_4(s) + \dots + c_n x_n(s)$$

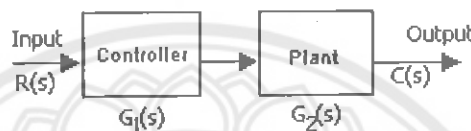
ซึ่งสามารถเขียนแทนระบบในรูปแบบบัญญาติแบบสัมบท秧งมุนจะเขียนได้ดังต่อไปนี้

$$\begin{bmatrix} \dot{x}_1 \\ \dot{x}_2 \\ \dot{x}_3 \\ \vdots \\ \dot{x}_n \end{bmatrix} = \begin{bmatrix} -p_1 & 1 & 0 & \vdots & 0 & \cdots & 0 \\ 0 & -p_1 & 1 & \vdots & \vdots & & \vdots \\ 0 & 0 & -p_1 & \vdots & 0 & \cdots & 0 \\ \vdots & \vdots & \vdots & \vdots & \vdots & \ddots & \vdots \\ 0 & \cdots & 0 & \vdots & -p_n & 1 & 0 \\ \vdots & & & & 0 & \ddots & 1 \\ 0 & \cdots & 0 & \vdots & 0 & 0 & -p_n \end{bmatrix} \begin{bmatrix} x_1 \\ x_2 \\ x_3 \\ \vdots \\ x_n \end{bmatrix} + \begin{bmatrix} 0 \\ 0 \\ 1 \\ \vdots \\ 1 \end{bmatrix} u$$

$$y = [c_1 \ c_2 \ \cdots \ c_n] \begin{bmatrix} x_1 \\ x_2 \\ \vdots \\ x_n \end{bmatrix} + b_0 u$$

#### 2.2.4 ระบบควบคุมแบบวงปิด (Open-loop Control System)

ระบบควบคุมแบบเปิดหรือเรียกอีกอย่างหนึ่งว่า ระบบควบคุมแบบไม่มีการป้อนกลับ ซึ่งระบบนี้จะเป็นระบบที่ง่ายที่สุด ไม่มีความซับซ้อน โดยระบบนี้ค่าสัญญาณขาออกที่ได้จะไม่มีผลต่อการควบคุมขั้นวนการ ซึ่งก็คือไม่มีการนำค่าสัญญาณขาออกที่ได้มาเปรียบเทียบกับค่าสัญญาณขาเข้า(อ้างอิง)ที่ป้อนให้กับระบบเลย โดยในระบบควบคุมแบบนี้ จะใช้ในกรณีที่ต้องไม่มีสัญญาณรบกวนและรู้ความต้องการที่แน่นอน แต่เมื่อสัญญาณรบกวนเข้ามายังระบบ ก็จะทำให้ระบบแบบนี้มีค่าผิดพลาด (Error) และความแม่นยำจะลดลง แผนผังกล่องของระบบควบคุมแบบวงปิด สามารถแสดงได้ดังนี้



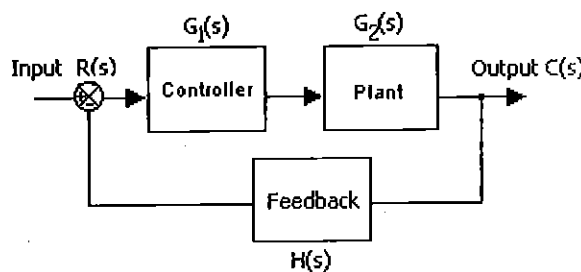
รูปที่ 2.1 ระบบควบคุมแบบวงปิด(Open-loop Control System)

สมมุติให้พังก์ชันถ่ายโอนของตัวควบคุมและระบบที่ต้องการควบคุมเป็นเท่ากัน  $G_1(s)$  และ  $G_2(s)$  ตามลำดับ ดังนั้นพังก์ชันถ่ายโอนของระบบควบคุมแบบวงปิดของระบบจะมีค่าเท่ากับ

$$\frac{C(s)}{R(s)} = G_2(s) \cdot G_1(s)$$

#### 2.2.5 ระบบควบคุมแบบวงปิด (Closed-loop Control System)

เนื่องจาก控制系统เปิด ไม่มีความแม่นยำในการควบคุม ดังนั้นจึงมีการพิจารณานำสัญญาณขาออกมาเปรียบเทียบกับสัญญาณขาเข้า(อ้างอิง) ซึ่งค่าความแตกต่างนี้จะเป็นค่าความผิดพลาดของระบบ การควบคุมแบบวงปิดจะนำค่าความผิดพลาดที่ได้นั้นมาเป็นสัญญาณเข้าตัวควบคุม (Controller) เพื่อให้ตัวควบคุมไปสร้างสัญญาณควบคุมใหม่เพื่อลดค่าความผิดพลาดนั้น แผนผังกล่องของระบบควบคุมแบบวงปิด สามารถแสดงได้ดังนี้



รูปที่ 2.2 ระบบควบคุมแบบวงปิด (Closed-loop Control System)

สมมุติให้ฟังก์ชันถ่ายโอนของตัวควบคุมและระบบที่ต้องการควบคุมเป็นเท่ากับ  $G_1(s)$  และ  $G_2(s)$  ตามลำดับ และฟังก์ชันถ่ายโอนตัวป้อนกลับ (Feedback) เท่ากับ  $H(s)$  ดังนั้นฟังก์ชันถ่ายโอนของระบบควบคุมแบบวงปีดจะมีค่าเท่ากับ

$$\frac{C(s)}{R(s)} = \frac{G_2(s).G_1(s)}{1 + G_2(s).G_1(s).H(s)}$$

### 2.2.6 ความสามารถควบคุมได้ (Controllability)

นิยาม ระบบเชิงเส้นไม่แปรตามเวลาที่แสดงได้ตามสมการ

$$\begin{aligned} \dot{x} &= Ax + Bu & ; x(0) &= x_0 \\ y &= Cx + Du \end{aligned} \quad (2.2.4)$$

เรียกว่ามีความสามารถควบคุมได้(Controllability) บนช่วงปีด  $[t_0, t_f]$  ถ้าสามารถหาสัญญาณควบคุมที่ต่อเนื่องที่ผลลัพธ์ของสมการ 2.2.4,  $x(t)$  สองคล้องกันเงื่อนไข  $x(t_f) = 0$  เมื่อกำหนดสภาพเริ่มต้น  $x(t_0) = x_0$  ได้ตามาให้

ทฤษฎีบท ระบบเชิงเส้นที่ไม่แปรตามเวลาดังสมการ 2.2.4 โดยที่  $x(t)$  คือตัวแปรสถานะมิติ  $n$  และ  $u(t)$  คือเวกเตอร์สัญญาณควบคุมมิติ  $m$  เงื่อนไขที่จำเป็นและเพียงพอที่จะทำให้ระบบควบคุมได้อย่างสมบูรณ์ คือเมตริกซ์ความสามารถควบคุมได้ (Controllability matrix)  $U$

$$U \triangleq [B \ AB \ A^2B \ \dots \ A^{n-1}B]$$

$U$  ต้องมีค่าลำดับขั้นเต็ม(full rank) เป็น  $n$

### 2.2.7 ความสามารถสังเกตได้ (observability)

นิยาม ระบบเชิงเส้นไม่แปรตามเวลาที่แสดงได้ตามสมการ 2.2.4 เรียกว่ามีความสามารถสังเกตได้(observability) บนช่วงปีด  $[t_0, t_f]$  ถ้าทุกๆ สถานะเริ่มต้นใดๆ  $x(t_0) = x_0$  มีเพียงค่าเดียว ซึ่งจะสองคล้องกับเวกเตอร์สัญญาณขาออก  $y(t)$  บนช่วงปีด  $[t_0, t_f]$

ทฤษฎีบท ระบบเชิงเส้นที่ไม่แปรตามเวลาดังสมการ 2.2.4 โดยที่  $x(t)$  คือตัวแปรสถานะมิติ  $n$  และ  $y(t)$  คือเวกเตอร์สัญญาณขาออกมิติ  $p$  เงื่อนไขที่จำเป็นและเพียงพอที่จะทำให้ระบบสังเกตได้อย่างสมบูรณ์ คือ เมทริกซ์ความสามารถสังเกตได้(Observability matrix)  $V$

$$V \triangleq [C^T \ A^T C^T \ (A^2)^T C^T \ \dots \ (A^{n-1})^T C^T]$$

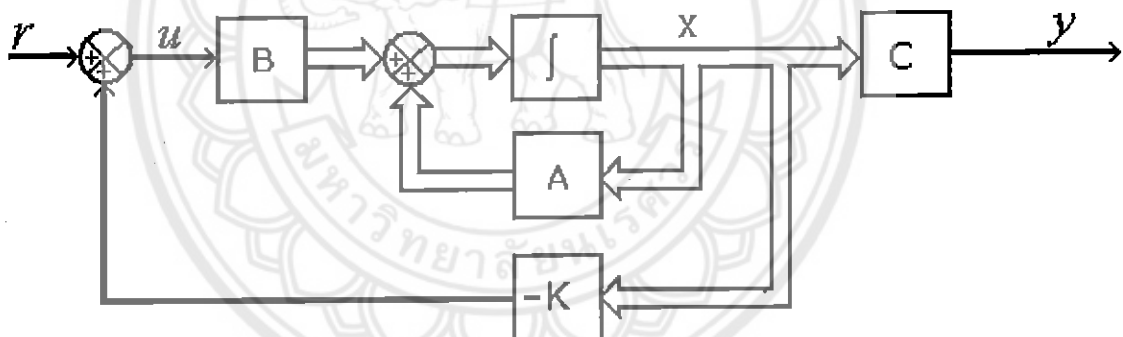
$V$  ต้องมีค่าลำดับขั้นเต็ม(full rank) เป็น  $n$

## 2.3 การออกแบบระบบควบคุมโดยใช้วิธีการวางจุด(Pole Placement)

### 2.3.1 บทนำ

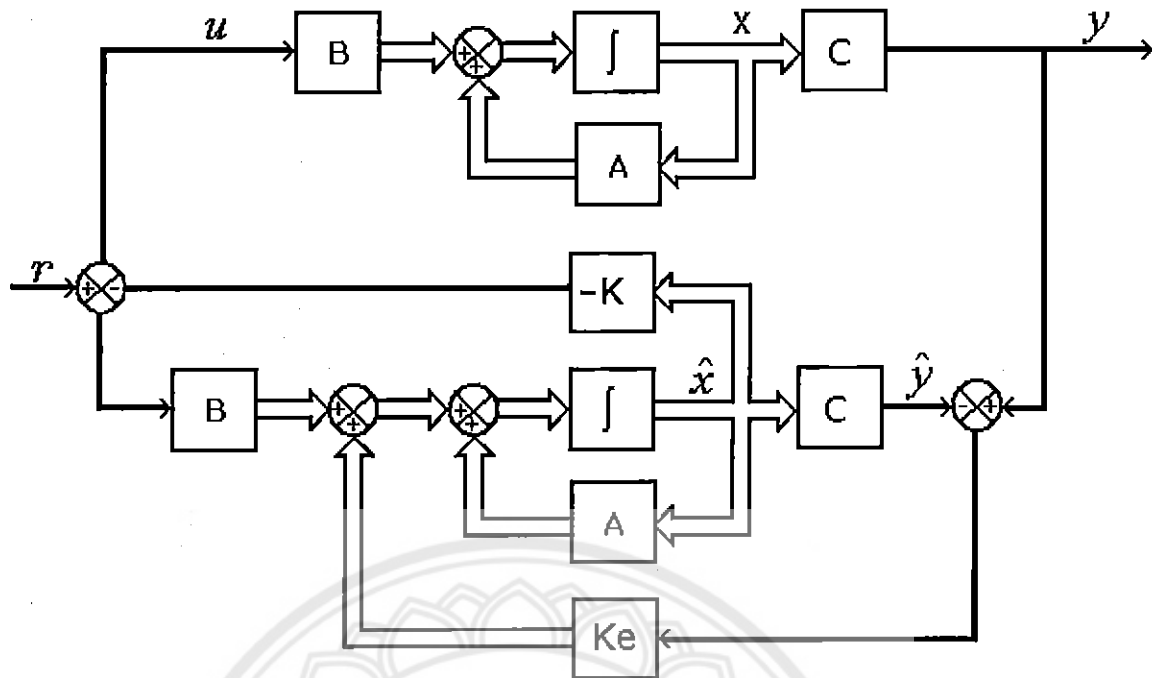
ในอดีตการออกแบบระบบควบคุมอย่างง่ายที่ไม่มีการป้อนกลับ(Feedback) นิยมใช้กันอย่างแพร่หลายทั้งนี้ เพราะเป็นระบบควบคุมที่ไม่มีความซับซ้อนและง่ายต่อการออกแบบ แต่ข้อเสียของระบบควบคุมที่ไม่มีการป้อนกลับก็คือ ระบบอาจขาดเสถียรภาพได้ เนื่องจากหัวปั๊กภายในของระบบเองหรือปั๊กภายนอก อาทิ เช่น มีสัญญาณรบกวนเข้ามา นอกจานนี้ สมรรถนะ(Performance)โดยรวมของระบบอาจจะไม่ดีเท่าที่ผู้ออกแบบต้องการ เพื่อกำจัดปัญหาเหล่านี้ การออกแบบระบบควบคุมมักจะออกแบบระบบที่มีการป้อนกลับมาทดแทน

ในระบบควบคุมที่มีการนำเอาตัวแปรสถานะ(State Variable) มาป้อนกลับ ซึ่งตัวแปรสถานะอาจจะอยู่ในรูปของ กระแสไฟฟ้า, แรงดันไฟฟ้า, ระยะทาง, ความเร็วหรือความเร่ง เป็นต้น เราจะเรียกระบบควบคุมแบบนี้ว่าระบบควบคุมแบบป้อนกลับสถานะ(State Feedback) โดยในการออกแบบระบบควบคุมแบบป้อนกลับสถานะ ระบบที่ต้องการควบคุม(Plant)ต้องมีคุณสมบัติความสามารถควบคุมได้(Controllability) และจำเป็นต้องทราบตัวแปรสถานะของระบบที่ต้องการควบคุมทุกๆตัวแปร โดยแผนผังกล่องของระบบควบคุมแบบป้อนกลับสถานะจะเป็นตามรูปที่ 2.3



รูปที่ 2.3 แผนผังกล่องระบบควบคุมแบบป้อนกลับสถานะ(State Feedback)

โดยปกติระบบที่ต้องการควบคุมจะมีแปรสถานะบางตัวหรือทุกๆตัวที่ไม่ทราบค่าหรือไม่สามารถวัดได้โดยตรง ผู้ออกแบบจึงไม่สามารถนำตัวแปรสถานะมาป้อนกลับได้ ในกรณีนี้เราจำเป็นต้องออกแบบตัวสังเกต(Observer) ซึ่งอาจจะเป็นอุปกรณ์หรือโปรแกรมคอมพิวเตอร์มาประมาณค่าหรือสังเกตตัวแปรสถานะเพื่อนำมาป้อนกลับ ซึ่งจะเรียกระบบควบคุมแบบนี้ว่าระบบควบคุมแบบป้อนกลับสัญญาณขาออกหรือระบบควบคุมแบบป้อนกลับสถานะแบบมีตัวสังเกต โดยในการออกแบบตัวสังเกตสถานะนี้ ระบบที่ต้องการควบคุมจะต้องมีคุณสมบัติความสามารถควบคุมได้(Controllability) และความสามารถสังเกตได้(Observability) โดยแผนผังกล่องของระบบควบคุมแบบป้อนกลับสัญญาณขาออกจะเป็นดังรูปที่ 2.4



รูปที่ 2.4 แผนผังกล่องระบบควบคุมแบบป้อนกลับสัญญาณขาออก

ในการออกแบบตัวสังเกตสถานะ(State Observer) ด้านในระบบที่ต้องการควบคุมมีตัวแปรสถานะทั้งหมด  $m$  ตัวแปรและทุกๆ ตัวแปรไม่ทราบค่าหรือไม่สามารถวัดได้ ผู้ออกแบบจึงต้องมีการออกแบบตัวสังเกตมาสังเกตสถานะทั้ง  $n$  สถานะ ตัวสังเกตประเภทนี้จะเรียกว่าตัวสังเกตสถานะแบบเต็มลำดับ(Full-order State Observer) ในกรณีที่ตัวแปรสถานะสามารถวัดค่าได้ทั้งหมด  $m$  ตัวแปร โดยที่  $m < n$  ผู้ออกแบบจำเป็นที่จะต้องออกแบบตัวสังเกตมาสังเกตสถานะเพียง  $n - m$  สถานะ ตัวสังเกตประเภทนี้จะเรียกว่าตัวสังเกตสถานะแบบลดล้อน้อย(Minimum-order state observer) โดยในของโครงงานนี้จะศึกษาเพียงในขั้นของการออกแบบตัวสังเกตสถานะเต็มลำดับ(Full-order State Observer)

### 2.3.2 การออกแบบตัวสังเกตสถานะโดยใช้วิธีการวางแผนขั้ว

จากที่กล่าวมาแล้วว่าในการออกแบบตัวสังเกตสถานะนั้น ระบบที่ต้องการควบคุมจำเป็นต้องมีคุณสมบัติความสามารถควบคุมได้ (Controllability), และความสามารถสังเกตได้ (Observability) โดยทั่วไปแบบจำลองของระบบที่ต้องการควบคุมในรูปแบบของปริภูมิสถานะ(State Space) สามารถอธิบายได้ด้วยสมการต่อไปนี้

$$\dot{x} = Ax + Bu \quad x(0) = x_0 \quad (2.3.1)$$

$$y = Cx + Du \quad (2.3.2)$$

- โดยที่  $x$  = เวกเตอร์สถานะ มีมิติ  $n \times 1$   
 $u$  = เวกเตอร์สัญญาณขาเข้า มีมิติ  $r \times 1$   
 $y$  = เวกเตอร์สัญญาณขาออก มีมิติ  $q \times 1$   
 $A$  = เมทริกซ์สถานะ(State Matrix)ที่มีมิติ  $n \times n$   
 $B$  = เมทริกซ์ขาเข้า(Input Matrix)ที่มีมิติ  $n \times r$   
 $C$  = เมทริกซ์ขาออก(Output Matrix)ที่มีมิติ  $q \times n$   
 $D$  = เมทริกซ์ป้อนเดินหน้า(Feed Forward Matrix)ที่มีมิติ  $q \times r$

พิจารณาคุณสมบัติความสามารถควบคุมได้ (Controllability) จาก

$$U \triangleq \begin{bmatrix} B & AB & A^2B & \dots & A^{n-1}B \end{bmatrix} \quad (2.3.3)$$

$U$  ต้องมีค่าลำดับขั้นเต็ม(Full rank)

พิจารณาคุณสมบัติความสามารถสังเกตได้ (Controllability) จาก

$$V \triangleq \begin{bmatrix} C^T & A^T C^T & (A^2)^T C^T & \dots & (A^{n-1})^T C^T \end{bmatrix} \quad (2.3.4)$$

$V$  ต้องมีค่าลำดับขั้นเต็ม(Full rank)

สมมุติสถานะ  $\hat{x}$  เป็นสถานะที่ได้จากการสังเกตสถานะ  $x$  จะเขียนให้อยู่ในรูปปริภูมิสถานะได้เป็น

$$\dot{\hat{x}} = A\hat{x} + Bu + K_e(y - \hat{y}) \quad \hat{x}(0) = \hat{x}_0 \quad (2.3.5)$$

พิจารณาที่ 2.4 จะเห็นได้ว่าสัญญาณควบคุม  $u(t) = -K\hat{x} + r$  ดังนั้นจะเขียนสมการสถานะ  $x$  และ  $\hat{x}$  ใหม่ได้เป็น

$$\dot{x} = Ax - BK\hat{x} + Br \quad (2.3.6)$$

$$\dot{\hat{x}} = K_eCx + (A - BK - K_eC)\hat{x} + Br \quad (2.3.7)$$

นิยามความผิดพลาด(error)ระหว่างสถานะ  $x$  กับสถานะ  $\hat{x}$  ได้เป็น

$$e = x - \hat{x} \quad (2.3.8)$$

หากค่าอนุพันธ์ของความผิดพลาดต่อเวลา ( $\dot{e}$ ) เลี้็งแทนค่า  $\dot{x}$  และ  $\dot{\hat{x}}$  จากสมการ 2.3.6กับ2.3.7 จะได้ว่า

$$\begin{aligned} \dot{e} &= \dot{x} - \dot{\hat{x}} \\ &= (Ax - BK\hat{x} + Br) - (K_e Cx + (A - BK - K_e C)\hat{x} + Br) \\ &= (A - K_e C)(x - \hat{x}) \\ &= (A - K_e C)e \end{aligned} \quad (2.3.9)$$

จากสมการที่ 2.3.8จะสามารถเขียนสมการสถานะใหม่ได้เป็น

$$\begin{aligned} \dot{x} &= Ax - BK\hat{x} + Br \\ &= Ax - BKx + BKe + Br \\ &= (A - BK)x + BKe + Br \end{aligned} \quad (2.3.10)$$

จะเห็นได้ว่าเป้าหมายของการออกแบบตัวสังเกตสถานะนั้น คือการได้มาซึ่งค่าอัตราขยาย (Gain)  $K$  และ  $K_e$  ซึ่งวิธีการหาค่าอัตราขยายทั้งสองค่านั้น เราต้องพิจารณาสมการที่ 2.3.9และ2.3.10 ซึ่งเปียบ ได้เป็น

$$\begin{bmatrix} \dot{x} \\ \dot{e} \end{bmatrix} = \begin{bmatrix} A - BK & BK \\ 0 & A - K_e C \end{bmatrix} \begin{bmatrix} x \\ e \end{bmatrix} + \begin{bmatrix} B \\ 0 \end{bmatrix} r \quad (2.3.11)$$

$$y = [C \quad 0] \begin{bmatrix} x \\ e \end{bmatrix} \quad (2.3.12)$$

สมการคุณลักษณะ(Characteristic Equation) จะเป็น

$$\begin{vmatrix} sI - A + BK & -BK \\ 0 & sI - A + K_e C \end{vmatrix} = 0$$

$$|sI - A + BK| |sI - A + K_e C| = 0 \quad (2.3.12)$$

จากสมการที่ 2.3.12 วิธีการหาค่าอัตราขยาย  $K$  และ  $K_e$  สามารถออกแบบโดยแยกกันได้ โดยผู้ออกแบบต้องการให้ค่าความผิดพลาดตามสมการที่ 2.3.9 นี้มีค่าเข้าใกล้ศูนย์ให้เร็วที่สุด กล่าวคือ ต้องการออกแบบให้ค่าเจาะจงของ  $A - K_e C$  มีส่วนจริงเป็นลบมากๆ โดยทั่วไปแล้ว นิยมออกแบบให้ส่วนจริงของค่าเจาะจงของ  $A - K_e C$  มีขนาดประมาณ 2-5 เท่าของขนาดของส่วนจริงของข้อวางปิด  $A - BK$  ที่ผู้ออกแบบต้องการ

สมมุติว่าผู้ออกแบบต้องการวางข้อที่ตัวแหน่ง  $p_1, p_2, \dots, p_n$  ดังนั้นจะได้ว่า  $|sI - A + BK| = \prod_{k=1}^n (s - p_k)$  ซึ่งสมการนี้ เราสามารถแก้สมการเพื่อหาค่า  $K$  โดยเทียบสัมประสิทธิ์ เช่นเดียวกันในการออกแบบตัวสังเกตตัวแปรสถานะ ผู้ออกแบบควรออกแบบตัวแหน่งข้อไว้ที่  $\hat{p}_1, \hat{p}_2, \dots, \hat{p}_n$  โดยที่ส่วนจริงของ  $\hat{p}_l, l = 1, 2, \dots, n$  ควรจะมีขนาดมากกว่าขนาดสูงสุดของส่วนจริง  $p_l$  ประมาณ 2-5 เท่า ดังนั้นจะได้ว่า  $|sI - A + K_e C| = \prod_{l=1}^n (s - \hat{p}_l)$  แล้วทำการหาค่า  $K_e$  โดยการเทียบสัมประสิทธิ์

### 2.3.3 ผลกระทบที่เกิดจากการใช้ตัวสังเกตสถานะในระบบ

ในการออกแบบตัวสังเกตสถานะเข้าไปในระบบ เป้าหมายเพื่อสังเกตตัวแปรสถานะแล้วนำไปป้อนกลับ โดยการออกแบบที่ถูกต้องนั้นผลตอบสนองที่ได้จากการออกแบบทั้งตอนที่ใช้และไม่ใช้ตัวสังเกตสถานะต้องมีค่าเหมือนกัน ทั้งนี้ก็เนื่องมาจากการออกแบบตัวสังเกตสถานะเพื่อสังเกตตัวแปรสถานะเพียงอย่างเดียว ซึ่งจะเห็นได้ว่าผู้ออกแบบจะออกแบบให้ตัวแหน่งข้อของตัวสังเกตมีผลตอบสนองให้เร็วกว่าตัวแหน่งข้อของตัวแปรสถานะจริง ประมาณ 5 เท่า

แบบจำลองของระบบควบคุมแบบป้อนกลับสัญญาณขาออกในรูปปฏิภูมิสถานะ คือ

$$\begin{bmatrix} \dot{x} \\ \dot{e} \end{bmatrix} = \begin{bmatrix} A - BK & BK \\ 0 & A - K_e C \end{bmatrix} \begin{bmatrix} x \\ e \end{bmatrix} + \begin{bmatrix} B \\ 0 \end{bmatrix} r \quad (2.3.13)$$

$$y = [C \ 0] \begin{bmatrix} x \\ e \end{bmatrix} \quad (2.3.14)$$

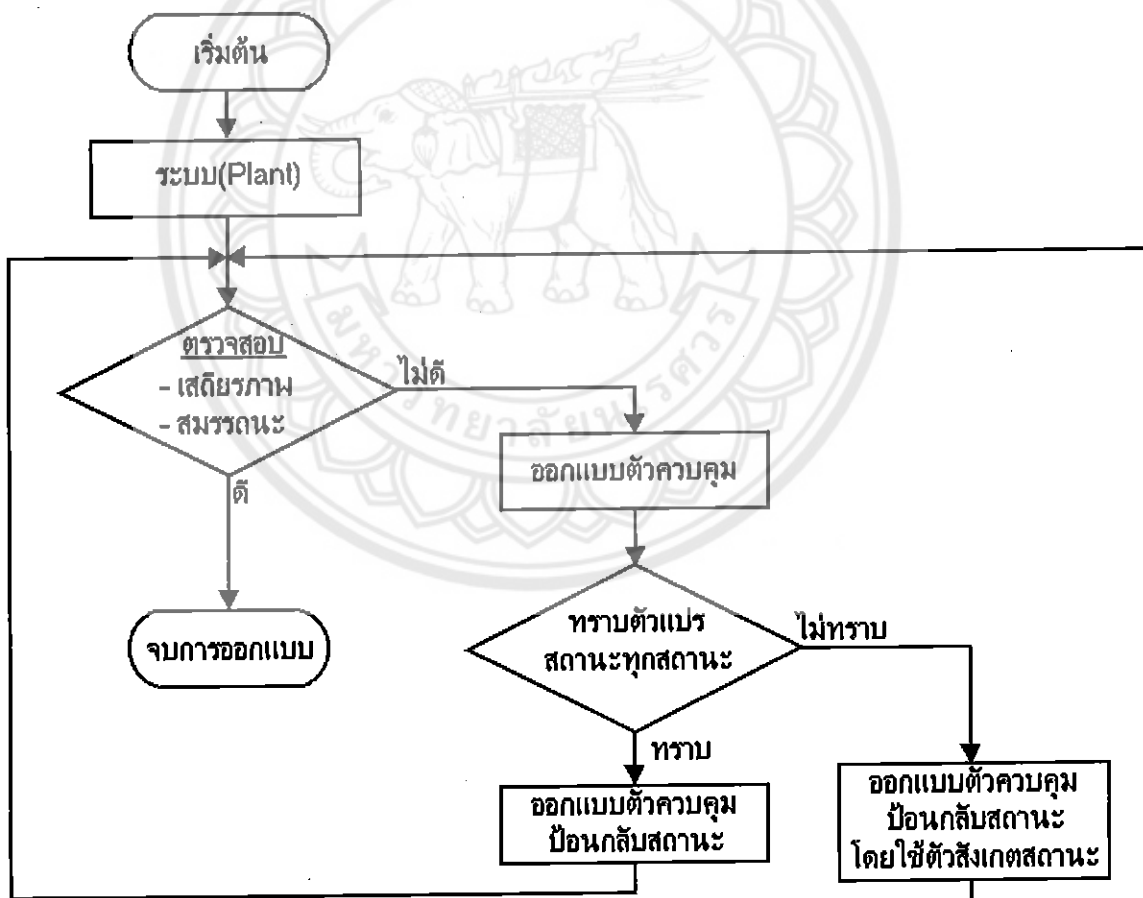
จากสมการที่ 2.3.13 และ 2.3.14 ฟังก์ชันถ่ายโอนของระบบควบคุมแบบป้อนกลับสถานะกรณีใช้ตัวสังเกตสถานะจะเป็น

$$\frac{Y}{R} = [C \quad 0] \begin{bmatrix} sI - A + BK & -BK \\ 0 & sI - A + K_e C \end{bmatrix}^{-1} \begin{bmatrix} B \\ 0 \end{bmatrix} \quad (2.3.15)$$

$$\frac{Y}{R} = C(sI - A + BK)^{-1} B \quad (2.3.16)$$

จากสมการที่ 2.3.16 จะเห็นได้ว่าสุดท้ายฟังชันถ่ายโอนของระบบควบคุมแบบป้อนกลับสัญญาณข้าอกจะเหลืออยู่เพียงเทอมของการป้อนกลับสถานะเท่านั้น ซึ่งสิ่งนี้จะสอดคล้องกับที่กล่าวมาในเบื้องต้นว่า ผลตอบสนองทั้งก่อนและหลังการใส่ตัวสังเกตสถานะต้องมีค่าเหมือนกัน

ในโครงการนี้ จะมีขั้นตอนในการออกแบบระบบควบคุมในระบบตัวอ่าย่าง ดังแสดงในรูปที่ 2.5 สำหรับหลักการและวิธีการออกแบบโดยละเอียดจะได้แสดงในการออกแบบระบบควบคุมในตัวอ่าย่างระบบที่ศึกษาต่อไป



รูปที่ 2.5 ขั้นตอนการออกแบบระบบควบคุม

## 2.4 การออกแบบระบบควบคุมโดยใช้วิธีการหาค่าเหมาะสมที่สุด(Optimization: LQ)

### 2.4.1 บทนำ

วิธีการหาค่าเหมาะสมที่สุด ที่เรียกว่า วิธีกำลังสองเชิงเส้น(Linear Quadratic:LQ) จะเป็นวิธีที่ใช้วิเคราะห์ระบบที่เป็นเชิงเส้น โดยจะต้องคำนึงถึงค่า ตัวบ่งชี้สมรรถนะ (Performance index:  $V$ ) ให้เหมาะสม เพื่อที่จะสนองเป้าหมายของการควบคุมที่ประกอบด้วยสิ่งต่างๆ ดังนี้

1. มีเสถียรภาพ(Stability)
2. มีความคงทน(Robust)ต่อความไม่แน่นอน(Uncertainty)ระดับหนึ่ง
3. มีสมรรถภาพ(Performance)ในเรื่องความเร็วผลตอบสนองที่เร็ว, ความแม่นยำ และมีปริมาณการใช้พลังงานที่น้อย

โดยก่อนที่จะแสดงเนื้อหาในส่วนของวิธีการและตัวอย่างการออกแบบระบบควบคุมโดยใช้วิธีการหาค่าเหมาะสมที่สุดนี้ เราจำเป็นต้องทราบพื้นฐานต่างๆ ก่อน เพื่อที่จะทำให้เข้าใจหลักการของวิธีการนี้มากขึ้น

### 2.4.2 เสถียรภาพในแนวคิดของลีอาปูโนฟ

การวิเคราะห์เสถียรภาพจากแนวคิดของลีอาปูโนฟ(Lyapunov)จะใช้วิเคราะห์เสถียรภาพของระบบพลวัตร โดยไม่จำเป็นต้องแก้สมการสถานะ(State Equation) นิยาม ระบบพลวัตรใดๆ คือระบบที่สามารถเขียนบรรยายอยู่ในรูปปริภูมิสถานะ

$$\dot{x} = f(x, t) \quad (2.4.1)$$

เมื่อ  $x$  เป็นเวกเตอร์สถานะ และ  $f(x, t)$  เป็นฟังก์ชันของตัวแปรสถานะ  $x$  และตัวแปรเวลา  $t$

ถ้าสมมุติให้สมการที่ 2.4.1 มีเพียงผลเฉลยเดียว เมื่อกำหนดให้ค่าสถานะเริ่มต้น(Initial Condition)มาค่าหนึ่งแล้ว โดยทั่วไปผลเฉลยของสมการ 2.4.1 เขียนอยู่ในรูปของ  $\phi(t; x_0, t_0)$  ที่ซึ่ง

$$\phi(t_0; x_0, t_0) = x_0 \quad (2.4.2)$$

ตัวแปรสถานะ  $x = x_0$  เรียกว่าสถานะสมดุล(Equilibrium State:  $x_e$ ) ของสมการ 2.4.1 เมื่อ

$$f(x_e, t) = 0 \quad \text{ทุกเวลา } t \quad (2.4.3)$$

สำหรับหลักการวิเคราะห์เสถียรภาพของลีอาปูนอฟ โดยที่ลีอาปูนอฟจะพิจารณาเสถียรภาพโดยใช้รูปภาพซึ่งลีอาปูนอฟจะกำหนดวงกลมมีรัศมี  $k$  รอบจุดสถานะสมดุล  $x_e$  เป็น

$$\|x - x_e\| \leq k \quad (2.4.4)$$

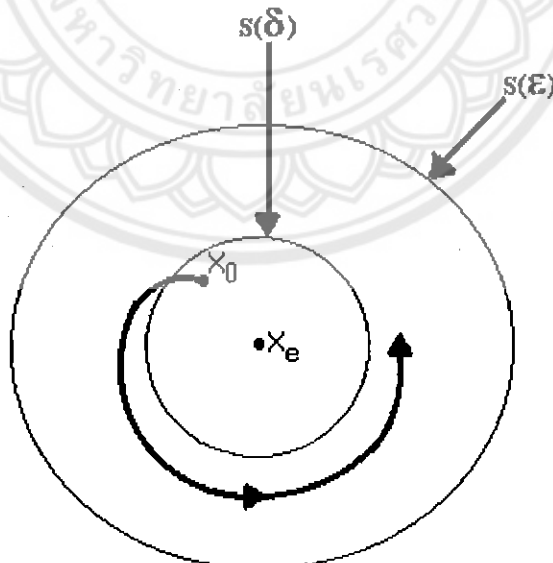
สมมุติ  $S(\delta)$  ประกอบด้วยทุกๆ จุด(สถานะ) ที่มีเงื่อนไขเป็น

$$\|x_0 - x_e\| \leq \delta \quad (2.4.5)$$

สมมุติ  $S(\varepsilon)$  ประกอบด้วยทุกๆ จุด(สถานะ) ที่ถูกกำหนดเป็น

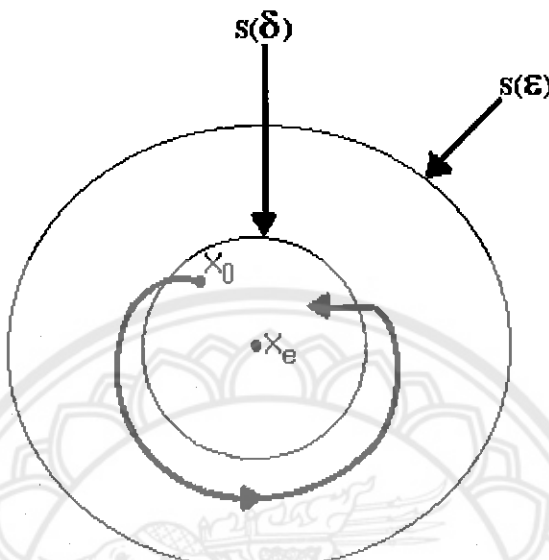
$$\|\phi(t; x_0, t_0) - x_e\| \leq \varepsilon \quad (2.4.6)$$

เสถียรภาพในแนวคิดของลีอาปูนอฟ (Stability in Sense of Lyapunov) กล่าวว่า “ระบบจะมีเสถียรภาพที่สถานะสมดุล ( $x_e$ ) ก็ต่อเมื่อทุกๆ สถานะเริ่มต้น ( $x_0$ ) ใน  $S(\delta)$  จะเคลื่อนที่อยู่ภายใน  $S(\varepsilon)$  เมื่อเวลา/เพิ่มขึ้นจนถึงอนันต์ (Infinity)” โดยลักษณะของการจำลองเส้นทางการเคลื่อนที่ของสถานะจะแสดงได้ตามรูปที่ 2.6



รูปที่ 2.6 รูปจำลองเส้นทางการเคลื่อนที่ของสถานะที่มีเสถียรภาพในแนวคิดของลีอาปูนอฟ

นิยาม “สถานะสมดุล  $x_e$  ของระบบจะเรียกว่ามีเสถียรภาพแบบเส้นกำกับ(Asymptotic Stability)ก็ต่อเมื่อ ระบบมีเสถียรภาพตามแนวคิดของลีอาปูนอฟและสถานะเริ่มต้นมีวงโคจร(เส้นทางการเคลื่อนที่ของสถานะ)นาสึ้นสุดภายใน  $S(\delta)$  โดยมีวงโคจรไม่ออกจาก  $S(\epsilon)$  เมื่อเวลา  $t$  เพิ่มขึ้นจนถึงอนันต์ (Infinity)” โดยลักษณะของการจำลองเส้นทางการเคลื่อนที่ของสถานะจะแสดงได้ตามรูปที่ 2.7



รูปที่ 2.7 รูปจำลองเส้นทางการเคลื่อนที่ของสถานะที่มีเสถียรภาพแบบเส้นกำกับ(Asymptotic Stability)

#### 2.4.3 วิธีที่ 2 ของลีอาปูนอฟ

ในทฤษฎีระบบควบคุมแบบเก่า(Classical control) ได้อธิบายระบบพลวัตรไว้ว่า “ในระบบที่มีการสั่นสะเทือนแบบ ถ้าพลังงานรวม(Total Energy)ซึ่งเป็นบวกเสมอ มีค่าลดลงอย่างต่อเนื่อง (ซึ่งก็คือ เมื่อเราหานุพันธ์ของพลังงานรวมจะมีค่าเป็นลบเสมอ) จนกระทั่งไปถึง สถานะสมดุล”

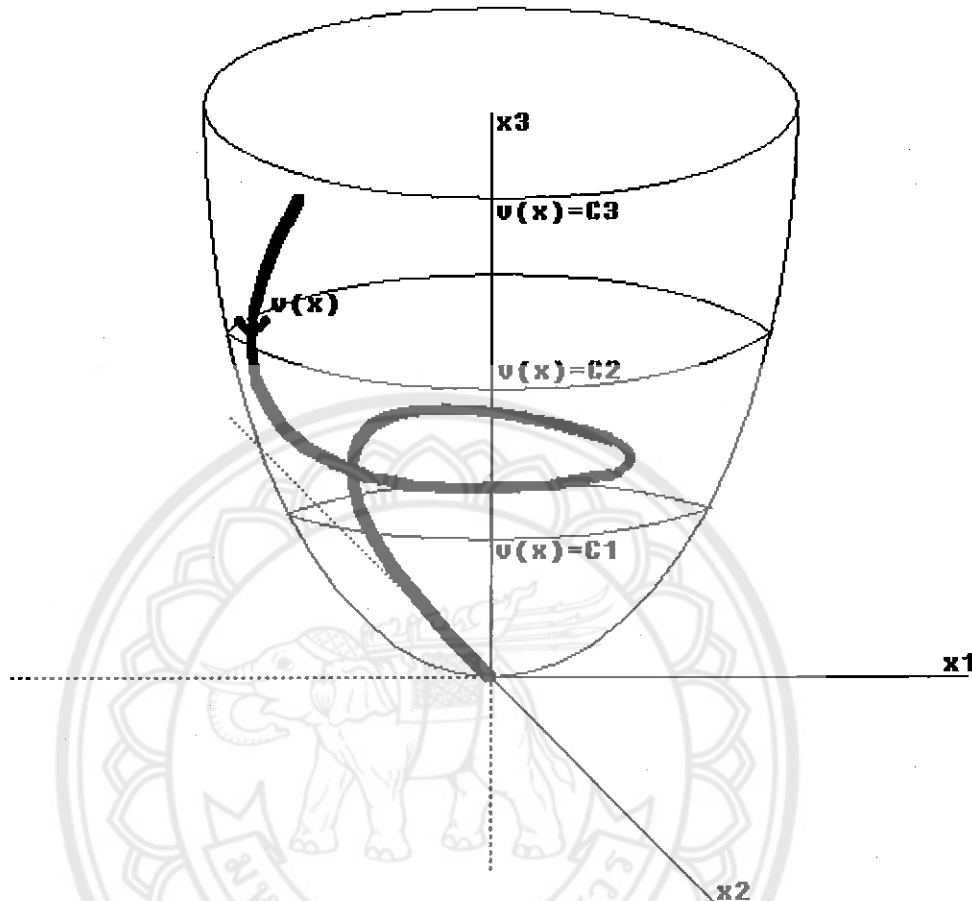
ในวิธีที่ 2 ของลีอาปูนอฟจะมีหลักความเป็นจริงโดยทั่วไปว่า “ถ้าระบบมีเสถียรภาพแบบเส้นกำกับที่สถานะสมดุลแล้ว พลังงานที่ให้กับระบบจะมีค่าลดลงเมื่อเวลาผ่านไปจนถึงจุดสุดท้าย ซึ่งเราจะสามารถนัดให้จุดสุดท้ายของเวลานี้ พลังงานที่ให้กับระบบจะมีค่าน้อยที่สุด”

อย่างไรก็ตาม ในการหาฟังก์ชันของพลังงาน(Energy function)ค่อนข้างจะยาก ทำให้ลีอาปูนอฟ ได้นิยามฟังก์ชันที่ใช้แทนฟังก์ชันของพลังงานเรียกว่า ฟังก์ชันลีอาปูนอฟ(Lyapunov function) โดยที่ ฟังก์ชันลีอาปูนอฟจะเป็นฟังก์ชันที่ขึ้นอยู่กับตัวแปรสถานะ  $x_1, x_2, \dots, x_n$  ต่างๆ ของระบบและเวลา / โดย จะเขียนได้เป็น  $V(x, t)$  หรือถ้าไม่พิจารณาเวลาจะเขียนสั้นๆ ได้เป็น  $V(x)$

ฟังก์ชันลีอาปูนอฟ  $V(x)$  จะเป็น ฟังก์ชันเชิงสเกลาร์ และมีค่าความเป็นบวกเสมอ ซึ่งจะแสดงเป็น

$$V(x) = C \quad \exists x \quad (2.4.7)$$

โดยที่  $C$  เป็นค่าจำนวนจริงบวกใดๆ



รูปที่ 2.8 เส้นทางเดิน(Contour)ของสถานะที่  $V(x)$  คงที่และวงโคจร  $V(x)$  เมื่อเวลาเพิ่มขึ้น

กล่าวโดยสรุป วิธีที่ 2 ของลืออาปูนอฟกีดีอ ถ้าระบบได้สามารถนิยามได้เป็น

$$\begin{aligned} \dot{x} &= f(x, t) \\ \text{เมื่อ } f(0, t) &= 0 \quad \text{ทุกเวลา } t \end{aligned} \tag{2.4.8}$$

ซึ่งก็คือระบบได้ที่มีเสถียรภาพแบบขอนเบต โดยระบบดังกล่าวต้องมี  $V(x, t)$  ที่มีความต่อเนื่องและต้องเป็นไปตามเงื่อนไขดังต่อไปนี้

1.  $V(x, t) > 0$

เมื่อ  $V(x, t)$  เป็นฟังก์ชันลืออาปูนอฟมีคุณสมบัติเป็นบวกเสมอหรือถ้าจะเขียนให้อยู่ในรูป เชอนิทเทียน(Hermitian form) ได้เป็น

$$V(x, t) = x^* Px \text{ อยู่ในรูปเชอนิทเทียน(Hermitian form)}$$

โดยที่  $P$  เป็นบวกเสมอ(Positive definite)

$$2. \dot{V}(x, t) \leq 0$$

เมื่อ  $\dot{V}(x, t)$  เป็นอนุพันธ์ของฟังก์ชันลีอาปูนอฟที่มีคุณสมบัติเป็นลบเสมอ หรือถ้าจะเขียนให้อยู่ในรูปเชอมิทเทียน(Hermitian form) ได้เป็น

$$\dot{V}(x, t) = -x^* Q x \text{ อยู่ในรูปเชอมิทเทียน (Hermitian form)}$$

โดยที่  $Q$  เป็นกึ่งบวก (Positive-semi definite)

#### 2.4.4 การวิเคราะห์ระบบโดยใช้วิธีการหาค่าหมายสมที่สุด

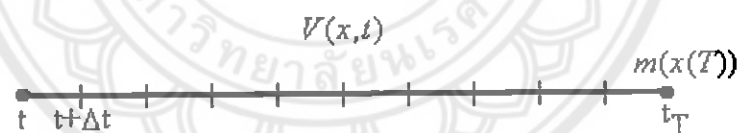
ในการวิเคราะห์ระบบ โดยใช้วิธีการหาค่าหมายสมที่สุด โดยจะพิจารณาค่าตัวบ่งชี้สมรรถนะ ซึ่งวิธีในการลดค่าตัวบ่งชี้สมรรถนะ จะแสดงได้ดังนี้

ระบบพลวัตร โดยทั่วไปเขียนได้เป็น

$$\dot{x} = f(x, u; t) \quad (2.4.9)$$

เมื่อกำหนดให้ตัวบ่งชี้สมรรถนะจะเขียนอยู่ในรูป

$$V(x_0, t_0, u) = \int_{t_0}^T l(x, u, t) dt + m(x(T)) \quad (2.4.10)$$



รูปที่ 2.9 เส้นทาง去找ของตัวบ่งชี้สมรรถนะ  $V(x)$  ทั้งแต่วремา  $t \rightarrow T$

ดังนั้นตัวบ่งชี้สมรรถนะที่มีค่าหมายสมที่สุด สามารถเขียนได้เป็น

$$V_{opt}(x, t) = \min_{u[t, T]} \left\{ \int_t^T l(x, u, \tau) d\tau + m(x(T)) \right\}$$

$$V_{opt}(x, t) = \min_{u[t, t+\Delta t]} \left\{ \int_t^{t+\Delta t} l(x, u, \tau) d\tau + V_{opt}(x(t+\Delta t), t+\Delta t) \right\} \quad (2.4.11)$$

สมมุติให้  $\Delta t \rightarrow 0$  และการกระจายอนุกรม泰勒ร์รอบจุด  $\Delta t$  จะเป็นได้ว่า

4800024

$$\int_t^{t+\Delta t} l(x, u, \tau) d\tau = l(x, u, t) \Delta t + h.o.t \quad \text{ANS.} \quad 2947 \quad (2.4.12)$$

$$\begin{aligned} V_{opt}(x(t + \Delta t), t + \Delta t) &= V_{opt}(x(t), t) + \left[ \frac{\partial V_{opt}}{\partial x} \right] \dot{x} \Delta t + \frac{\partial V_{opt}}{\partial t} \Delta t + h.o.t. \\ V_{opt}(x(t + \Delta t), t + \Delta t) &= V_{opt}(x(t), t) + \left[ \frac{\partial V_{opt}}{\partial x} \right] f(x, u, t) \Delta t + \frac{\partial V_{opt}}{\partial t} \Delta t + h.o.t. \end{aligned} \quad (2.4.13)$$

แทนสมการ 2.4.12และ2.4.13 ลงในสมการที่ 2.4.11 จะเป็นได้เป็น

$$V_{opt}(x, t) = \min_{u[t, t+\Delta t]} \left[ l(x, u, t) \Delta t + V_{opt}(x(t), t) + \left[ \frac{\partial V_{opt}}{\partial x} \right] f(x, u, t) \Delta t + \frac{\partial V_{opt}}{\partial t} \Delta t + h.o.t \right] \quad (2.4.14)$$

หารด้วย  $\Delta t$  และหาลิมิตที่  $\Delta t \rightarrow 0$  จะได้ว่า

$$\begin{aligned} 0 &= \min_{u(t)} \left[ l(x, u, t) + \left[ \frac{\partial V_{opt}}{\partial x} \right] f(x, u, t) + \frac{\partial V_{opt}}{\partial t} \right] \\ -\frac{\partial V_{opt}}{\partial t} &= \min_{u(t)} \left[ l(x, u, t) + \left[ \frac{\partial V_{opt}}{\partial x} \right] f(x, u, t) \right] \end{aligned} \quad (2.4.15)$$

โดยที่ขอบเขตของสภาวะ  $V_{opt}(x, T) = m(x(T))$  และสมการที่ 2.4.15จะอยู่ในรูปสมการยามิล-ชาโคลบี-เบลล์เมน(Hamilton-Jacobi-Bellman equation:HJB) ซึ่งหลักการวิเคราะห์ระบบแบบนี้จะนำไปใช้อธิบายและแก้ปัญหาLQRในหัวข้อถัดไป

#### 2.4.5 การออกแบบระบบควบคุมแบบป้อนกลับสถานะ (State feedback) โดยใช้วิธี Linear Quadratic Regulator (LQR)

หลักการของวิธี LQR จะใช้วิเคราะห์ระบบที่เป็นเชิงเส้นและจะต้องคำนึงถึงค่าตัวบ่งชี้สมรรถนะ (Performance index:  $V$ ) ให้เหมาะสม ซึ่งตัวบ่งชี้สมรรถนะจะอยู่ในรูปสถานะ(State) และสัญญาณควบคุม(Control Signal) โดยจะเขียนได้ดังนี้

$$V(x, t) = \int_0^T (x^* Q x + u^* R u) dt + x^*(T) M x(T) \quad (2.4.16)$$

เมื่อ  $Q$  เป็นฟังก์ชันน้ำหนัก(Weighting Function)ของตัวแปรสถานะและเป็นแมทริกซ์กึ่งบวก

$R$  เป็นฟังก์ชันน้ำหนัก(Weighting Function)ของสัญญาณควบคุมที่ใช้และเป็นแมทริกซ์บวกเสมอ

$M$  เป็นฟังก์ชันน้ำหนัก(Weighting Function)ของตัวแปรสถานะ ณ เวลาสุดท้าย

$x$  เป็นตัวแปรสถานะ

$u$  เป็นสัญญาณควบคุม

เป้าหมายของวิธี LQR ก็คือการลดค่าตัวบ่งชี้สมรรถนะ ในสมการ 2.4.16 ให้ค่าน้อยที่สุด และเมื่อพิจารณาสมการตัวบ่งชี้สมรรถนะ จะเห็นได้ว่าตัวบ่งชี้สมรรถนะจะอยู่ในรูปของตัวแปรสถานะยกกำลังสองและสัญญาณควบคุมยกกำลังสอง ซึ่งทำให้สิ่งที่ได้จากการลดตัวบ่งชี้สมรรถนะ ก็คือ จะทำให้เส้นทางการเคลื่อนที่ของตัวแปรสถานะมีค่าเข้าสู่ 0 ได้เร็วที่สุดและจะส่งผลให้มีการใช้ปริมาณของสัญญาณควบคุมน้อยที่สุด เช่นกัน ด้วยเหตุนี้เราสามารถเรียกได้ว่าเมื่อออกแบบระบบควบคุมโดยใช้วิธี LQRแล้ว จะทำให้ระบบมีเสถียรภาพและสมรรถนะที่ดียิ่งขึ้น

โดยต่อไปจะแสดงหลักการใช้วิธี LQR ออกแบบระบบควบคุมแบบป้อนกลับสถานะ โดยเริ่มจากการเขียนแทนระบบที่เป็นเชิงเส้นและค่าพารามิเตอร์ไม่เปลี่ยนแปลงตามเวลาใดๆ เขียนอยู่ในรูปปริภูมิสถานะ ได้เป็น

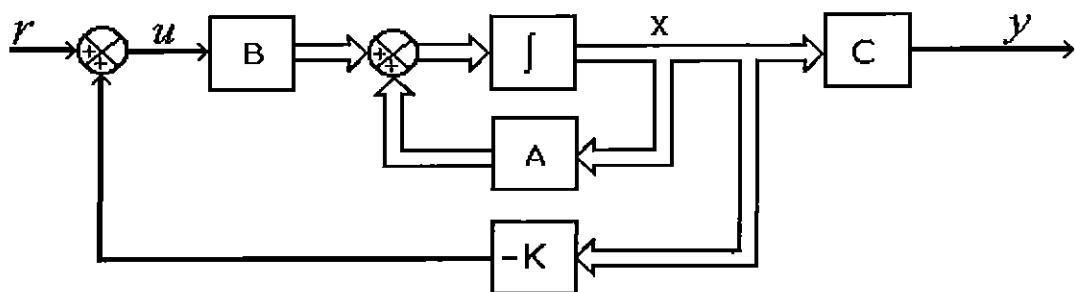
$$\dot{x} = Ax + Bu \quad (2.4.17)$$

โดยที่  $x$  = เวกเตอร์สถานะ มีมิติ  $n \times 1$

$u$  = เวกเตอร์สัญญาณขาเข้า มีมิติ  $r \times 1$

$A$  = เมทริกซ์สถานะ(State Matrix)ที่มีมิติ  $n \times n$

$B$  = เมทริกซ์ขาเข้า(Input Matrix)ที่มีมิติ  $n \times r$



รูปที่ 2.10 แผนผังกลไกของระบบควบคุมแบบป้อนกลับสถานะ(State Feedback)

ในการลดค่าตัวบ่งชี้สมรรถนะหมายได้โดยแทนค่าสมการ 2.4.16และ2.4.17ลงในสมการHJB จะเป็นได้เป็น

$$\begin{aligned}-\frac{\partial V_{opt}}{\partial t} &= \min_{u(t)} \left[ l(x, u, t) + \left[ \frac{\partial V_{opt}}{\partial x} \right]^* f(x, u, t) \right] \\ -\frac{\partial V_{opt}}{\partial t} &= \min_{u(t)} \left[ x^* Qx + u^* Ru + \left[ \frac{\partial V_{opt}}{\partial x} \right]^* (Ax + Bu) \right]\end{aligned}\quad (2.4.18)$$

จากสมการ 2.4.18 เราต้องการหาค่าต่ำสุด ดังนั้นจะได้ว่า  $\min_{u(t)}$  หมาย  $u(t)$  ที่เป็นไปได้ที่ซึ่งตัวบ่งชี้สมรรถนะมีค่าต่ำที่สุด นั้นคือ

$$\begin{aligned}0 &= \frac{\partial}{\partial u} \left[ x^* Qx + u^* Ru + \left[ \frac{\partial V_{opt}}{\partial x} \right]^* (Ax + Bu) \right] \\ 0 &= 2Ru + B^* \left[ \frac{\partial V_{opt}}{\partial x} \right]\end{aligned}$$

และจะได้ค่า  $u(t)$  ที่เหมาะสมที่สุดเป็น

$$u_{opt}(t) = -\frac{1}{2} R^{-1} B^T \left[ \frac{\partial V_{opt}}{\partial x} \right] \quad (2.4.19)$$

แทนสมการ 2.4.19ลงสมการ 2.4.18จะเป็นได้เป็น

$$\begin{aligned}-\frac{\partial V_{opt}}{\partial t} &= x^* Qx + \left( -\frac{1}{2} R^{-1} B^T \left[ \frac{\partial V_{opt}}{\partial x} \right] \right)^* R \left( -\frac{1}{2} R^{-1} B^T \left[ \frac{\partial V_{opt}}{\partial x} \right] \right) + \left[ \frac{\partial V_{opt}}{\partial x} \right]^* (Ax + B \left( -\frac{1}{2} R^{-1} B^T \left[ \frac{\partial V_{opt}}{\partial x} \right] \right)) \\ -\frac{\partial V_{opt}}{\partial t} &= x^* Qx + \frac{1}{4} \left[ \frac{\partial V_{opt}}{\partial x} \right]^* BR^{-1} B^* \left[ \frac{\partial V_{opt}}{\partial x} \right] + \left[ \frac{\partial V_{opt}}{\partial x} \right] \left( Ax + \frac{1}{2} BR^{-1} B^T \left[ \frac{\partial V_{opt}}{\partial x} \right] \right) \\ -\frac{\partial V_{opt}}{\partial t} &= x^* Qx - \frac{1}{4} \left[ \frac{\partial V_{opt}}{\partial x} \right]^* BR^{-1} B^* \left[ \frac{\partial V_{opt}}{\partial x} \right] + \left[ \frac{\partial V_{opt}}{\partial x} \right]^* Ax\end{aligned}\quad (2.4.20)$$

แม้ว่าเราจะทำการลดค่าตัวบ่งชี้สมรรถนะแล้ว แต่สมการที่ได้ยังมีความซับซ้อนอยู่ ทำให้จำเป็นต้องใช้เทคนิคในการแก้สมการหลายอย่าง โดยสมมุติให้ตัวบ่งชี้สมรรถนะเป็นได้เป็น

$$V_{opt}(x, t) = x^* P(t)x \quad (2.4.21)$$

เมื่อ  $P(t)$  เป็นเมตริกซ์สมมาตรที่เป็นบวกเสมอ ซึ่งเมื่อหาอนุพันธ์ของสมการ 2.4.21 เทียบกับ  $t$  และ  $x$  จะเขียนได้เป็น

$$\frac{\partial V_{opt}}{\partial t} = x * \dot{P}(t)x \quad (2.4.22)$$

$$\frac{\partial V_{opt}}{\partial x} = 2P(t)x \quad (2.4.23)$$

แทนสมการ 2.4.22 และ 2.4.23 ลงในสมการ 2.4.20 จะเขียนได้เป็น

$$\begin{aligned} -x * \dot{P}(t)x &= x * Qx - \frac{1}{4} (2P(t)x) * BR^{-1}B * (2P(t)x) + (2P(t)x) * Ax \\ -x * \dot{P}(t)x &= x * Qx - x * P(t)BR^{-1}B * P(t)x + 2x * P(t)Ax \end{aligned} \quad (2.4.24)$$

จะเห็นได้ว่าพจน์  $2x * P(t)Ax = x * P(t)Ax + x * A * P(t)x$  และแทนในสมการ 2.4.24 จะได้ว่า

$$\begin{aligned} -x * \dot{P}(t)x &= x * Qx - x * P(t)BR^{-1}B * P(t)x + x * P(t)Ax + x * A * P(t)x \\ -x * \dot{P}(t)x &= x * [Q - P(t)BR^{-1}B * P(t) + P(t)A + A * P(t)]x \end{aligned} \quad (2.4.25)$$

และเนื่องจากสมการจะอยู่ในรูปของเมตริกซ์ทำให้จะต้องแก้สมการตามหลักการต่อไปนี้  
ถ้าสมการเขียนได้เป็น

$$\begin{aligned} x * Ax &= x * Bx \\ \therefore x * (A - B)x &= 0 \end{aligned} \quad (2.4.26)$$

เนื่องจาก  $x$  เป็นค่าใดๆ ก็ได้ (arbitrary) ทำให้สมการ 2.4.26 จะเป็นจริงก็ต่อเมื่อ  $A - B = 0$  หรือ  $A = B$   
จากหลักการที่กล่าวมาจะทำให้สามารถเขียนสมการ 2.4.25 ได้เป็น

$$\dot{P}(t) = P(t)A + A * P(t) + Q - P(t)BR^{-1}B * P(t) \quad (2.4.27)$$

ที่ซึ่ง  $P(T) = M$

เมื่อให้  $\bar{P}$  เป็นค่าตอบที่สภาวะคงที่ กล่าวคือ  $\dot{P}(t) = 0$  ดังนั้นสมการ 2.4.27 เวียนได้เป็น

$$0 = P(t)A + A^*P(t) + Q - P(t)BR^{-1}B^*P(t) \quad (2.4.28)$$

จะเห็นได้ว่าสมการ 2.4.28 จะอยู่รูปสมการริคคาติเชิงพีชคณิต(Algebraic Riccati Equation:ARE)และเมื่อแทนสมการ 2.4.23 ลงในสมการ 2.4.19 จะเวียนได้เป็น

$$u_{opt}(t) = -R^{-1}B^*\bar{P}x \quad (2.4.29)$$

ทำให้จะได้ค่า  $K$  ที่ได้จากการลดค่าตัวบ่งชี้สมรรถนะเป็น

$$K = R^{-1}B^*\bar{P} \quad (2.4.30)$$

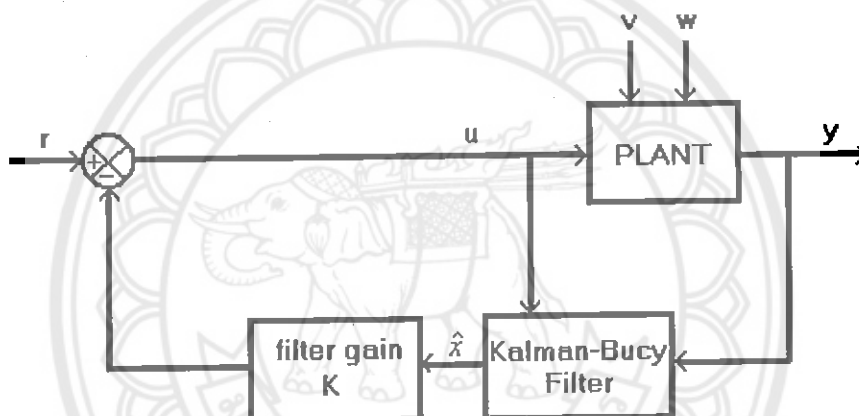
โดยสรุปแล้ว ค่า  $K$  สามารถคำนวณหาได้ดังนี้

1. หากค่าแมทริกซ์  $\bar{P}$  ให้ได้จากการ (2.4.28) โดยค่าแมทริกซ์  $\bar{P}$  ที่ได้จะต้องมีคุณสมบัติเป็นบวกเสนior(Positive-definite)
2. แทนค่าแมทริกซ์  $\bar{P}$  ลงในสมการ (2.4.30) ก็จะได้ค่า  $K$  ที่ได้จากการ  $\min V$

#### 2.4.6 การออกแบบระบบควบคุมแบบป้อนกลับสัญญาณขาออก (Output feedback) โดยใช้วิธี Linear Quadratic Gaussian (LQG)

ในการออกแบบระบบควบคุมแบบป้อนกลับสัญญาณขาออกกรณีที่มีสัญญาณรบกวนที่มีการกระจายตัวแบบเกาส์เชิง(Gaussian distribution)มากี่ขั้นขึ้น จำเป็นต้องสร้างตัวกรอง(Filter)ขึ้นมา กำจัดสัญญาณรบกวนดังกล่าวออกไป แล้วจึงทำการสังเคราะห์ตัวแปรสถานะ  $\hat{x}$  ที่มีคุณลักษณะใกล้เคียง กับตัวแปรสถานะจริง  $x$  ของระบบ เพื่อที่จะนำตัวแปรสถานะที่สังเคราะห์ขึ้นมาป้อนกลับ

นอกเหนือไปจากนี้ หากเรากำหนดค่า  $V_s$  ขึ้นมา ซึ่งเป็นฟังก์ชันของสัญญาณขาเข้าและความผิดพลาด  $e = x - \hat{x}$  แล้วต้องการหาสัญญาณควบคุมที่ทำให้  $V_s$  ต่ำสุด กล่าวคือ  $\min V_s$  ซึ่งปัญหาดังกล่าวข้างต้นจะเรียกว่า ปัญหาคำลั่งสองเชิงเส้นแบบเกาส์เชิง(Linear Quadratic Gaussian) ซึ่งผู้ที่นำเสนอคือ R.E.Kalman and R.S.Bucy โดยที่แผนผังกล่องจะเป็นไปดังรูปที่ 2.11



รูปที่ 2.11 แผนผังกล่องระบบควบคุมแบบป้อนกลับสถานะโดยใช้ Kalman-Bucy filter สังเกตสถานะระบบที่ต้องการควบคุม(Plant) ในรูปปรimitumสถานะได้เป็น

$$\dot{x} = Ax + Bu + Gw \quad (2.4.31)$$

$$y = Cx + Hv \quad (2.4.32)$$

- โดยที่
- $x$  = เวกเตอร์สถานะ มีมิติ  $n \times 1$
  - $u$  = เวกเตอร์สัญญาณขาเข้า มีมิติ  $r \times 1$
  - $y$  = เวกเตอร์สัญญาณขาออก มีมิติ  $q \times 1$
  - $w$  = เวกเตอร์สัญญาณรบกวนกระบวนการ (Process Noise) ที่มีมิติ  $n \times 1$
  - $v$  = เวกเตอร์สัญญาณรบกวนการวัด(Measurement Noise) ที่มีมิติ  $1 \times 1$
  - $A$  = เมทริกซ์สถานะ(State Matrix)ที่มีมิติ  $n \times n$
  - $B$  = เมทริกซ์ขาเข้า(Input Matrix)ที่มีมิติ  $n \times r$

$$\begin{aligned} C &= \text{เมตริกซ์ข้อออก}(Output Matrix) \text{ ที่มีมิติ } q \times n \\ G &= \text{เมตริกซ์ของสัญญาณรบกวนกระบวนการ} \text{ ที่มีมิติ } n \times n \\ H &= \text{เมตริกซ์ของสัญญาณรบกวนการวัด} \text{ ที่มีมิติ } q \times 1 \end{aligned}$$

กำหนดให้  $w$  และ  $v$  โดยจะเป็นสัญญาณรบกวนแบบขาว(White-noise) กล่าวคือ  $w$  และ  $v$  อิสระต่อ กัน ทั้งคู่มีการกระจายตัวแบบเกาส์เชิง(Gaussian distribution)และมีค่าเฉลี่ย(mean)เป็นศูนย์ นั่นคือ

$$\begin{aligned} E[w(t)] &= 0 = E[v(t)] \\ E[w(t)v(\tau)] &= E[w(t)]E[v(\tau)] = 0 \end{aligned} \quad (2.4.33)$$

$$\begin{aligned} E[w(t)w(\tau)^*] &= \begin{cases} W & t = \tau \\ 0 & o.w. \end{cases} \\ E[v(t)v(\tau)^*] &= \begin{cases} V & t = \tau \\ 0 & o.w. \end{cases} \end{aligned} \quad (2.4.34)$$

ตัวแปรสถานะที่ได้จากการสังเกตจะเป็น

$$\dot{\hat{x}} = A\hat{x} + Bu + K_e(y - C\hat{x}) \quad (2.4.35)$$

แทนสมการ 2.4.32 ลงในสมการ 2.4.35 จะเป็นได้ว่า

$$\dot{\hat{x}} = A\hat{x} + Bu + K_e(y - C\hat{x}) \quad (2.4.36)$$

$$\begin{aligned} \dot{\hat{x}} &= A\hat{x} + Bu + K_e(Cx + Hv - C\hat{x}) \\ &= (A - K_eC)\hat{x} + Bu + K_eCx + K_eHv \end{aligned} \quad (2.4.37)$$

ความผิดพลาด(error)จากการประมาณสถานะ คือ  $e = x - \hat{x}$  ดังนั้นจะได้ว่า

$$\begin{aligned} \dot{e} &= \dot{x} - \dot{\hat{x}} \\ &= (Ax + Bu + Gw) - (A\hat{x} + Bu + K_e(Cx + Hv - C\hat{x})) \\ &= (A - K_eC)e + (Gw - K_eHv) \\ &= (A - K_eC)e + \psi \end{aligned} \quad (2.4.38)$$

เมื่อ  $\psi = Gw - K_e Hv$  โดยจะเรียกได้ว่าเป็นสัญญาณรบกวนแบบขาวตัวขึ้นเนื่องจาก

$$\begin{aligned} E[\psi] &= E[Gw(t) - K_e Hv(t)] \\ &= GE[w(t)] - K_e HE[v(t)] \\ &= 0 \end{aligned}$$

และ

$$\begin{aligned} E[\psi(t)\psi(\tau)^*] &= E[(Gw(t) - K_e Hv(t))(w(\tau)^* G^* - v(\tau)^* H^* K_e^*)] \\ &= E[Gw(t)w(\tau)^* G^* - Gw(t)v(\tau)^* H^* K_e^* - K_e Hv(t)w(\tau)^* G^* + K_e Hv(t)v(\tau)^* H^*] \\ &= GE[w(t)w(\tau)^*]G^* - GE[w(t)v(\tau)^*]H^* K_e^* - K_e HE[v(t)w(\tau)^*]G^* \\ &\quad + K_e HE[v(t)v(\tau)^*]H^* K_e^* \\ &= \begin{cases} GWG^* + K_e HVH^* K_e^* & t = \tau \\ 0 & o.w. \end{cases} \end{aligned} \quad (2.4.39)$$

เช่นเดียวกับกรณฑ์ ( $y - C\hat{x}$ ) จะเรียกได้ว่าเป็นกระบวนการเปลี่ยนแปลงใหม่ ซึ่งมีค่าเฉลี่ยเป็นศูนย์ ซึ่งเขียนได้เป็น

$$\begin{aligned} E[(K_e(y - C\hat{x}))(K_e(y - C\hat{x}))^*] &= E[(K_e(Cx + Hv - C\hat{x}))(K_e(Cx + Hv - C\hat{x}))^*] \\ &= K_e HE[vv^*]H^* K_e^* \\ &= K_e HVH^* K_e^* \end{aligned} \quad (2.4.40)$$

ในปัญหา LQG จะต้องคำนึงถึงตัวบ่งชี้สมรรถนะ (Performance Index) จะเขียนอยู่ในรูปทั่วไปได้ดังนี้

$$V_s = E \left[ \int_0^{\infty} (x^* Q x + u^* R u) dt \right] \quad (2.4.41)$$

เมื่อ  $Q$  เป็นฟังก์ชันน้ำหนัก (Weighting Function) ของตัวแปรสถานะ และเป็นเมตริกซ์บวก  
 $R$  เป็นฟังก์ชันน้ำหนัก (Weighting Function) ของสัญญาณควบคุม ที่ใช้และเป็นเมตริกซ์บวกเสมอ  
 $x$  เป็นตัวแปรสถานะ  
 $u$  เป็นสัญญาณควบคุม

จะเห็นได้ว่าตัวบ่งชี้สมรรถนะจะมีค่าขยายออกในทุกๆ ระบบควบคุม ด้วยเหตุนี้ทำให้พิจารณาตัวบ่งชี้สมรรถนะใหม่ ซึ่งเป็นไปได้เป็น

$$V_s = \lim_{t \rightarrow \infty} E \left[ \frac{1}{T} \int_0^T (x^* Q x + u^* R u) dt \right] \quad (2.4.42)$$

ถ้านำมาเป็นการป้อนกลับที่มีเสถียรภาพแล้ว ดังนั้นการหาปริพันธ์จะอยู่ในขอบเขตคงที่ ซึ่งตัวบ่งชี้สมรรถนะจะเป็นไปได้เป็น

$$V_s = E [x^* Q x + u^* R u] \quad (2.4.43)$$

ในการลดค่าตัวบ่งชี้สมรรถนะด้วยการหา  $\dot{n}(t)$  ที่เป็นไปได้ที่ซึ่งตัวบ่งชี้สมรรถนะมีค่าต่ำที่สุด โดยจากความผิดพลาด(error) คือ  $e = x - \hat{x}$  แทนลงในสมการ 2.4.43 จะเป็นไปได้เป็น

$$\begin{aligned} V_s &= E [(e - \hat{x})^* Q (e - \hat{x}) + u^* R u] \\ V_s &= E [(e^* Q e + e^* Q \hat{x} + \hat{x}^* Q e + \hat{x}^* Q \hat{x} + u^* R u)] \end{aligned} \quad (2.4.44)$$

ตัวแปรสถานะ  $\hat{x}$  และ  $e$  เป็นอิสระต่อกันทำให้สามารถเขียนได้เป็น

$$V_s = E [(e^* Q e + \hat{x}^* Q \hat{x} + u^* R u)] \quad (2.4.45)$$

จากสมการ 2.4.45 จะเห็นได้ว่าเทอม  $e^* Q e$  จะไม่ขึ้นอยู่กับตัวสังเกต  $\hat{x}$  และสัญญาณควบคุม  $u$  ด้วยเหตุนี้ในการลดค่าตัวบ่งชี้สมรรถนะจะสามารถหาแยกกันได้โดยจะเป็นไปได้เป็น

$$V_s = V_c + V_f \quad (2.4.46)$$

$$\text{เมื่อ } V_c = E [\hat{x}^* Q \hat{x} + u^* R u] \quad (2.4.47)$$

$$V_f = E [e^* Q e] \quad (2.4.48)$$

โดยในขั้นแรกจะแสดงการลดค่าตัวบ่งชี้สมรรถนะ  $V_c$  ก่อน โดยแทน  $u = -K\hat{x}$  จะเป็นไปได้เป็น

$$V_c = E [\hat{x}^* Q \hat{x} + \hat{x}^* K^* R K \hat{x}]$$

$$V_c = E [\hat{x}^* (Q + K^* R K) \hat{x}]$$

การหา  $V_c$  ต่ำสุดเป็นได้เป็น

$$\begin{aligned} V_{c\_opt} &= E[Tr\{\hat{x}^*(Q + K^*RK)\hat{x}\}] \\ &= E[Tr\{(Q + K^*RK)\hat{x}\hat{x}^*\}] \\ &= Tr\{(Q + K^*RK)E[\hat{x}\hat{x}^*]\} \end{aligned} \quad (2.4.49)$$

นิยามความแปรปรวนร่วมเกี่ยวกับองค์วัสดุคงที่ของสถานะเป็น

$$P_c = E\{\hat{x}\hat{x}^*\} \quad (2.4.50)$$

ดังนั้นจะสามารถเปลี่ยนสมการ 2.4.49 ได้เป็น

$$V_{c\_opt} = Tr\{(Q + K^*RK)P_c\} \quad (2.4.51)$$

จากสมการ 2.4.35

$$\dot{\hat{x}} = A\hat{x} + Bu + K_e(y - C\hat{x}) \quad \text{โดยที่ } \hat{x}(0) = 0$$

ดังนั้น ผลเฉลยโดยทั่วไปของ  $e$  คือ

$$\hat{x} = \int_0^t e^{(A-BK)(t-\tau)} \{K_e(y(\tau) - C\hat{x}(\tau))\} d\tau \quad (2.4.52)$$

นำสมการ 2.4.52 แทนลงในสมการที่ 2.4.50 จะเป็นได้เป็น

$$\begin{aligned} P_c &= E \left\{ \left[ \int_0^t e^{(A-BK)(t-\tau)} \{K_e(y(\tau) - C\hat{x}(\tau))\} d\tau \right] \left[ \int_0^t \{K_e(y(\tau) - C\hat{x}(\tau))\}^* e^{(A-BK)^*(t-\tau)} d\tau \right] \right\} \\ &= E \left[ \int_0^t \int_0^t e^{(A-BK)(t-\tau_1)} \{K_e(y(\tau_1) - C\hat{x}(\tau_1))\} \{K_e(y(\tau) - C\hat{x}(\tau))\}^* e^{(A-BK)^*(t-\tau)} d\tau_1 d\tau \right] \\ &= \int_0^t \int_0^t e^{(A-BK)(t-\tau_1)} E[\{K_e(y(\tau_1) - C\hat{x}(\tau_1))\} \{K_e(y(\tau) - C\hat{x}(\tau))\}^*] e^{(A-BK)^*(t-\tau)} d\tau_1 d\tau \\ &= \int_0^t e^{(A-BK)(t-\tau_1)} K_e H V H^* K_e^* e^{(A-BK)^*(t-\tau)} d\tau \end{aligned} \quad (2.4.53)$$

แทนสมการ 2.4.41ลงในสมการ 2.4.49

$$\begin{aligned} V_{c\_opt} &= Tr \left\{ (Q + K^* R K) \left( \int_0^t e^{(A-BK)^*(t-\tau)} K_e H V H^* K_e^* e^{(A-BK)^*(t-\tau)} d\tau \right) \right\} \\ &= Tr \left\{ \int_0^t e^{(A-BK)^*(t-\tau)} (Q + K^* R K) e^{(A-BK)^*(t-\tau)} d\tau . K_e H V H^* K_e^* \right\} \end{aligned} \quad (2.4.53)$$

ลักษณะเดียวกันกับค่า  $P_c$  และจากสมการที่ 2.4.53 จะกำหนดให้

$$\bar{P} = \int_0^t e^{(A-BK)^*(t-\tau)} (Q + K^* R K) e^{(A-BK)^*(t-\tau)} d\tau \quad (2.4.54)$$

หาอนุพันธ์สมการ 2.4.54 เทียบกับเวลา จะได้ว่า

$$\begin{aligned} \dot{\bar{P}} &= (A - BK)^* \left[ \int_0^t e^{(A-BK)^*(t-\tau)} (Q + K^* R K) e^{(A-BK)^*(t-\tau)} d\tau \right] + \\ &\quad \left[ \int_0^t e^{(A-BK)^*(t-\tau)} (Q + K^* R K) e^{(A-BK)^*(t-\tau)} d\tau \right] (A - BK) + Q + K^* R K \end{aligned} \quad (2.4.55)$$

แทน  $\bar{P}$  ในสมการ 2.4.55 จะได้ว่า

$$\begin{aligned} \dot{\bar{P}} &= (A - BK)^* \bar{P} + \bar{P}(A - BK) + Q + K^* R K \\ 0 &= A^* \bar{P} + \bar{P}A + Q - K^* B^* \bar{P} - \bar{P}BK + K^* R K \\ 0 &= A^* \bar{P} + \bar{P}A + Q - \bar{P}B R^{-1} B^* \bar{P} \end{aligned} \quad (2.4.56)$$

พิจารณาสมการ 2.4.56 จะอยู่รูปสมการริคคาติเชิงพีชคณิต(Algebraic Riccati Equation;ARE) เมื่อันกับวิธีLQR ดังนั้นทำให้ได้ค่า  $K$  ที่ได้จากการลดค่าตัวบ่งชี้สมรรถนะ  $V_c$  เป็น

$$K = R^{-1} B^* \bar{P} \quad (2.4.57)$$

และการหาค่าต่ำสุดของ  $V_c$  จะเขียนได้เป็น

$$V_{c\_opt} = Tr \left\{ \bar{P} K_e H V H^* K_e^* \right\} \quad (2.4.58)$$

โดยสรุปแล้ว ค่า  $K$  ที่ทำให้สามารถคำนวณหาได้ ดังนี้

1. หากค่าเมทริกซ์  $\bar{P}$  จากสมการริคคาติเชิงพีชคณิต(Algebraic Riccati Equation :ARE) โดยค่าเมทริกซ์  $\bar{P}$  ที่ได้จะต้องมีคุณสมบัติเป็นบวกเสมอ(Positive-definite)
2. แทนค่าเมทริกซ์  $\bar{P}$  ลงในสมการ(2.4.7)ก็จะได้ค่า  $K$  ที่ได้จากการ  $\min V_c$

และต่อไปจะแสดงหลักการการลดค่าตัวบ่งชี้สมรรถนะ  $V_f$  ดังนี้

$$\begin{aligned}
 V_{f\_opt} &= E[Tr[e^* Q e]] \\
 &= E[Tr[Qee^*]] \\
 &= Tr[QE[ee^*]] \\
 &= Tr[QP_f]
 \end{aligned} \tag{2.4.59}$$

นิยามเมทริกซ์  $P_f$  จะเขียนได้เป็น

$$P_f = E\{e(t)e(t)^*\} \tag{2.4.60}$$

จากสมการ 2.4.38

$$\dot{e} = (A - K_e C)e + \psi \quad \text{โดยที่ } e(0) = e_0$$

ดังนั้น ผลเฉลยโดยทั่วไปของ  $e$  คือ

$$e(t) = e^{(A-K_e C)t} e_0 + \int_0^t e^{(A-K_e C)(t-\tau)} \{Gw(\tau) - K_e Hv(\tau)\} d\tau \tag{2.4.61}$$

นำสมการ 2.4.61 แทนลงในสมการที่ 2.4.50 จะเขียนได้เป็น

$$\begin{aligned}
 P_f &= E \left\{ \left[ e^{(A-K_e C)t} e_0 + \int_0^t e^{(A-K_e C)(t-\tau)} \{Gw(\tau) - K_e Hv(\tau)\} d\tau \right] \right. \\
 &\quad \left. \left[ e_0 * e^{(A-K_e C)t} + \int_0^t \{Gw(\tau) - K_e Hv(\tau)\} * e^{(A-K_e C)t} d\tau \right] \right\} \\
 &= E[e^{(A-K_e C)t} e_0 * e^{(A-K_e C)t}] + E \left[ e^{(A-K_e C)t} e_0 \int_0^t \{Gw(\tau) - K_e Hv(\tau)\} * e^{(A-K_e C)t} d\tau \right]
 \end{aligned}$$

$$\begin{aligned}
& + E \left[ \int_0^t e^{(A-K_e C)(t-\tau)} \{Gw(\tau) - K_e Hv(\tau)\} d\tau \cdot e_0 * e^{(A-K_e C)^* t} \right] + \\
& E \left[ \int_0^t \int_0^t e^{(A-K_e C)(t-\tau_1)} \{Gw(\tau_1) - K_e Hv(\tau_1)\} \{Gw(\tau) - K_e Hv(\tau)\} * e^{(A-K_e C)^*(t-\tau)} d\tau_1 d\tau \right] \\
& = e^{(A-K_e C)t} E[e_0 * e^{(A-K_e C)^* t}] + \int_0^t \int_0^t e^{(A-K_e C)(t-\tau_1)} E[\{Gw(\tau_1) - K_e Hv(\tau_1)\} \{Gw(\tau) - K_e Hv(\tau)\}^*] \\
& e^{(A-K_e C)^*(t-\tau)} d\tau_1 d\tau \\
& = e^{(A-K_e C)t} P_0 e^{(A-K_e C)^* t} + \int_0^t \int_0^t e^{(A-K_e C)(t-\tau_1)} E[\{Gw(\tau_1) - K_e Hv(\tau_1)\} \{Gw(\tau) - K_e Hv(\tau)\}^*] \\
& e^{(A-K_e C)^*(t-\tau)} d\tau_1 d\tau \\
& = e^{(A-K_e C)t} P_0 e^{(A-K_e C)^* t} + \int_0^t e^{(A-K_e C)(t-\tau)} (GWG^* + K_e HVH^* K_e^*) e^{(A-K_e C)^*(t-\tau)} d\tau \quad (2.4.62)
\end{aligned}$$

หาอนพันธ์สมการ 2.4.62 เทียบกับเวลา จะเขียนได้ว่า

$$\begin{aligned}
\dot{P}_f &= (A - K_e C) \left( e^{(A-K_e C)t} P_0 e^{(A-K_e C)^* t} \right) + \left( e^{(A-K_e C)t} P_0 e^{(A-K_e C)^* t} \right) (A - K_e C)^* + \\
& (A - K_e C) \left( \int_0^t e^{(A-K_e C)(t-\tau)} GWG^* + K_e HVH^* K_e^* e^{(A-K_e C)^*(t-\tau)} d\tau \right) + \\
& \left( \int_0^t e^{(A-K_e C)(t-\tau)} GWG^* + K_e HVH^* K_e^* e^{(A-K_e C)^*(t-\tau)} d\tau \right) (A - K_e C)^* + \\
& GWG^* + K_e HVH^* K_e^* \\
& = (A - K_e C) \left( e^{(A-K_e C)t} P_0 e^{(A-K_e C)^* t} + \int_0^t e^{(A-K_e C)(t-\tau)} GWG^* + K_e HVH^* K_e^* e^{(A-K_e C)^*(t-\tau)} d\tau \right) + \\
& \left( e^{(A-K_e C)t} P_0 e^{(A-K_e C)^* t} + \int_0^t e^{(A-K_e C)(t-\tau)} GWG^* + K_e HVH^* K_e^* e^{(A-K_e C)^*(t-\tau)} d\tau \right) (A - K_e C)^* \\
& + GWG^* + K_e HVH^* K_e^* \quad (2.4.63)
\end{aligned}$$

โดยที่  $P(0) = P_0$

แทนค่า  $P_f$  ลงไว้ในสมการ 2.4.63

$$\dot{P}_f = (A - K_e C) P_f + P_f (A - K_e C)^* + GWG^* + K_e HVH^* K_e^* \quad (2.4.64)$$

ค่าอัตราขยาย  $K_e$  ที่ทำให้ตัวบ่งชี้สมรรถนะ  $V_f$  ต่ำสุดจะหาจากการหาอนุพันธ์สมการ 2.4.64เทียบ  $K_e$

$$\begin{aligned} \frac{d}{dK_e} ((A - K_e C)P_f + P_f(A - K_e C)^* + GWG^* + K_e HVH^* K_e^*) &= 0 \\ -CP_f + P_f C^* + 2HVH^* K_e &= 0 \\ 2HVH^* K_e &= 2P_f C^* \\ K_e &= P_f C^* H^{-1} V^{-1} (H^*)^{-1} \end{aligned} \quad (2.4.65)$$

จะเห็นได้ว่าค่า  $K_e$  จะอยู่ในเทอนของเมตริกซ์  $P_f$  ทำให้ต้องหาเมตริกซ์  $P_f$  มาก่อน โดยที่ค่า  $P_f$  จะมาโดยแทน  $K_e$  ลงในสมการ 2.4.64 จะได้ว่า

$$\begin{aligned} 0 &= (A - PC^* H^{-1} V^{-1} (H^*)^{-1} C)P_f + P_f (A - PC^* H^{-1} V^{-1} (H^*)^{-1} C)^* + \\ &\quad [GWG^* + PC^* H^{-1} V^{-1} (H^*)^{-1} HVH^* (H)^{-1} V^{-1} (H^*)^{-1} CP] \\ 0 &= [AP_f - P_f C^* H^{-1} V^{-1} (H^*)^{-1} CP_f + P_f A^* - P_f C^* H^{-1} V^{-1} (H^*)^{-1} CP_f + \\ &\quad GWG^* + P_f C^* H^{-1} V^{-1} (H^*)^{-1} CP_f] \\ 0 &= AP_f + P_f A^* + GWG^* - P_f C^* H^{-1} V^{-1} (H^*)^{-1} CP_f \end{aligned} \quad (2.4.66)$$

ซึ่งสมการ (2.4.66) จะอยู่ในรูปสมการตัวกรองของวิคต้าติเชิงพีชคณิต (Filter Algebraic Riccati Equation: FARE)

โดยสรุปแล้ว ค่า  $K_e$  สามารถคำนวณหาได้ดังนี้

- หาค่าเมตริกซ์  $P_f$  ได้จากสมการตัวกรองของวิคต้าติเชิงพีชคณิต (Filter Algebraic Riccati Equation: FARE) โดยค่าเมตริกซ์  $P_f$  ที่ได้จะต้องมีคุณสมบัติเป็นบวก semi-positive definite
- แทนค่าเมตริกซ์  $P_f$  ลงในสมการ (2.4.65) ก็จะได้ค่า  $K_e$  ที่ได้จากการ  $\min V_f$

โดยสรุปแล้วการออกแบบระบบควบคุมโดยใช้วิธี LQG จะเป็นการหาค่าอัตราขยาย  $K, K_e$  ที่ทำให้ตัวบ่งชี้สมรรถนะต่ำสุด โดยที่ตัวบ่งชี้สมรรถนะจะเขียนได้เป็น

$$V_{s\_opt} = Tr \{ \bar{P} K_e H V H^* K_e^* \} + Tr \{ P_f Q \} \quad (2.4.67)$$

#### 2.4.7 หลักการเลือก Q, R และการกำหนดค่า G, W, H, V

หลักการของการเลือก  $Q, R$  นั้นจะไม่ค่อยมีหลักการที่แน่นอน โดยส่วนใหญ่จะพิจารณาว่า ต้องการให้สัญญาณออกมีลักษณะใด ซึ่งขึ้นอยู่กับวิธีและประสิทธิภาพของผู้ออกแบบด้วย โดยส่วนใหญ่  $Q, R$  จะอยู่ในรูปแบบทริกซ์เส้นทแยงมุมซึ่งเหตุผลก็คือ

- 1) เพื่อง่ายต่อการตรวจสอบคุณสมบัติ “Definiteness”
- 2) เพื่อเป็นการแยกค่าอย่างชัดเจนว่า  $Q$  แต่ละตัวต้องการเลือกไปที่ตัวแปรสถานะตัวใด โดย

$$\text{จะเขียนเป็น } Q = \begin{bmatrix} q_{11} & 0 & 0 & 0 \\ 0 & q_{22} & 0 & 0 \\ 0 & 0 & \ddots & 0 \\ 0 & 0 & 0 & q_{nn} \end{bmatrix}$$

- 3) เพื่อเป็นการแยกค่าอย่างชัดเจนว่า  $R$  แต่ละตัวต้องการเลือกไปที่สัญญาณควบคุมตัวใด ซึ่ง ในโครงงานนี้ศึกษาระบบระบบสัญญาณขาเข้าและขาออกเดียว (SISO) โดยจะเขียนเป็น

$$R = r$$

สำหรับค่า  $G$  ซึ่งเป็นเมตริกซ์ของของสัญญาณรบกวนกระบวนการ  $w$  และ  $H$  เป็นเมตริกซ์ของสัญญาณรบกวนการวัด  $v$  ซึ่งจะหมายความว่าสัญญาณรบกวนกระบวนการและสัญญาณรบกวนการวัดของระบบโดยตรง จึงสมมุติให้มีค่าดังกล่าวอยู่ในหน้าแทน ดังนี้

$$W = E[ww^T] = E[w^2] = \sigma_w^2$$

$$V = E[vv^*] = E[v^2] = \sigma_v^2$$

โดยในโครงงานนี้จะกำหนดค่า  $w, v$  แตกต่างกันหลายกรณีและสำหรับค่า  $G, H$  จะกำหนดให้เป็นดังนี้

$$G = \begin{bmatrix} 1 \\ 1 \\ 1 \\ 1 \end{bmatrix}$$

$$H = [1]$$

#### 2.4.8 MATLAB Command

จะเห็นได้ว่าในการคิดหาค่าอัตราข่าย(Gain)  $K, K_e$  ค่อนข้างจะมีวิธีคิดที่บุ่งมาก โดยเฉพาะเมื่อมีการเลือก  $Q, R$  ใหม่ ก็ต้องเริ่มวิธีคิดใหม่ และเพื่อสะดวกในการคิด ผู้ออกแบบจะใช้โปรแกรม MATLAB ที่มีชุดคำสั่งในการออกแบบระบบโดยใช้วิธีLQRและLQGหรือแม้กระทั่งการแสดงผลตอบสนองในลักษณะต่างๆจากการออกแบบเป็นเครื่องมือในการออกแบบ โดยในหัวข้อนี้จะแสดงชุดคำสั่งสำคัญที่เกี่ยวกับการออกแบบดังนี้

$$[K, P, E] = lqr(A, B, Q, R)$$

คำสั่งนี้จะเป็นคำสั่งที่ใช้หาค่า  $K$  ของระบบป้อนกลับสถานะ โดยใช้วิธีLQR ซึ่งค่า  $K$  ที่ได้จะเป็นค่า  $K$  ที่สัมพันธ์กับการลดค่าตัวปั่งชี้สมรรถนะ(Minimize Performance Index) โดยหลักของคำสั่งนี้จะมาจากการแก้สมการริกคิตเชิงพิชณิตเพื่อหาค่าเมทริกซ์  $\bar{P}$  และนำไปแทนค่าหาค่า  $K$  ต่อไป ซึ่งรายละเอียดอยู่ในหัวข้อ 2.4.5

โดยเมื่อใช้คำสั่งนี้ พารามิเตอร์ที่เราจะต้องป้อนเข้าไปในคำสั่งก็คือ

1. เมทริกซ์สถานะ(State Matrix)  $A$
2. เมทริกซ์ขาเข้า(Input Matrix)  $B$
3. พังค์ชันนำหนัก  $Q$  ต้องมีคุณสมบัติบวก
4. พังค์ชันนำหนัก  $R$  ต้องมีคุณสมบัตินอกเส้นอพารามิเตอร์ที่ได้ออกมาแล้ว

  1. เมทริกซ์อัตราข่าย(Gain Matrix)  $K$
  2. เมทริกซ์  $\bar{P}$
  3. ค่า特征(eigenvalue)  $E$  ของเมทริกซ์  $\bar{P}$

$$[K_e, P, E] = lqe(A, G, C, W, V)$$

คำสั่งนี้จะเป็นคำสั่งที่ใช้หาค่า  $K_e$  ที่ได้จากหลักการของตัวกรองค่าล้มนานน์-บูซี โดยการแก้สมการตัวกรองริกคิตเชิงพิชณิตเพื่อหาค่าเมทริกซ์  $P_e$  และนำไปแทนค่าหาค่า  $K_e$  ต่อไป ซึ่งรายละเอียดจะอยู่ในหัวข้อ 2.4.6

โดยเมื่อใช้คำสั่งนี้พารามิเตอร์ที่เราจะต้องป้อนเข้าไปในคำสั่งก็คือ

1. เมทริกซ์สถานะ(State Matrix)  $A$
2. เมทริกซ์ขาออก(Output Matrix)  $C$
3. เมทริกซ์  $G$  เป็นเมทริกซ์ของสัญญาณรบกวนกระบวนการ
4.  $W$  เป็นความแปรปรวนร่วมเกี่ยวกับสัญญาณรบกวนกระบวนการ มีคุณสมบัติบวก
5.  $V$  เป็นความแปรปรวนร่วมเกี่ยวกับการวัดมีคุณสมบัตินอกเส้นอ

พารามิเตอร์ที่ได้ออกมาคือ

1. เมทริกซ์อัตราขยาย(Gain Matrix )  $K_e$
2. เมทริกซ์  $P_f$
3. ค่าเจาะจง(eigenvalue)  $E$  ของเมทริกซ์  $P_f$



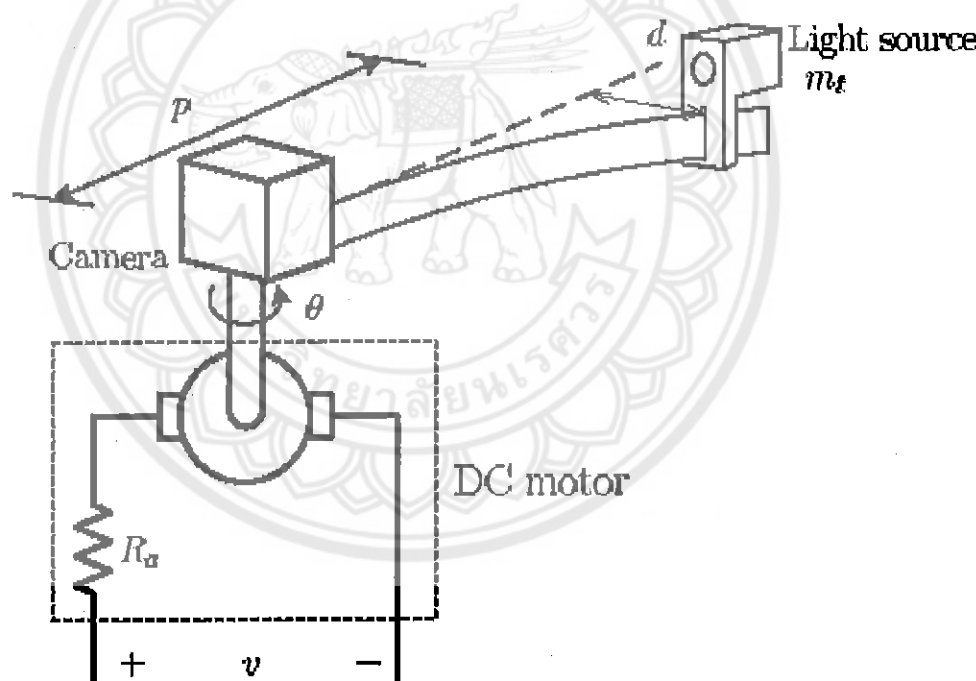
## บทที่ 3

### ตัวอย่างระบบที่ศึกษา

จากที่กล่าวมาแล้วในบทที่ผ่านมาเกี่ยวกับหลักการและทฤษฎีของการออกแบบระบบควบคุมโดยใช้วิธีการหาค่าเหมาะสมที่สุด ซึ่งในบทนี้จะแสดงตัวอย่างการออกแบบให้เห็นเป็นรูปธรรมมากขึ้น และจะแสดงวิธีการต่างๆในการออกแบบรวมไปถึงผลตอบสนองในลักษณะต่างๆหลังจากการออกแบบ อีกด้วย

#### 3.1 ระบบที่ศึกษา

ตัวอย่างระบบที่จะเป็นระบบแขนกลหุ้นยนต์แบบอ่อนตัว ดูรายละเอียดจาก [5] ซึ่งระบบจะมีลักษณะทางกายภาพดังรูปที่ 3.1



รูปที่ 3.1 รูปแบบทางกายภาพของแขนกลหุ้นยนต์แบบอ่อนตัว(Flexible Robot Arm)

โดยจากรูปที่ 3.1 จะเห็นว่าแขนกลจะทำงาน โดยเมื่อเรานำร่องดัน ฯ เข้าไปจะทำให้มอเตอร์ กระแสตรงมีการหมุนจากมุม  $\theta = \theta_0$  ไปยัง  $\theta = \theta_f$  (ตำแหน่งเส้นปะ) โดยใช้อัตราเร็วเชิงมุม  $\dot{\theta}$  และจะเห็นว่ามอเตอร์จะต่อ กับแขนกลหุ้นยนต์แบบอ่อนตัว ทำให้แขนกลหมุนจากตำแหน่ง  $d = d_0$  ไปยัง ตำแหน่ง  $d = d_f$  (ตำแหน่งเส้นปะ) โดยใช้อัตราเร็ว  $\dot{d}$  และสำหรับแบบจำลองของแขนกลหุ้นยนต์แบบ อ่อนตัวออกแบบตัวควบคุม ได้มาจาก การประยุกต์วิธีขั้นประกอนอันตะ(Finite Element Method) และ

เทคนิคลากังค์กับสมการอย่างเดอร์-เบอร์นูลี โดยคิดคานอ่อนตัวเป็น 1 ท่อน ได้แบบจำลองในรูปปริภูมิสถานะ(State Space) ดังนี้

$$\begin{bmatrix} \dot{x}_1 \\ \dot{x}_2 \\ \dot{x}_3 \\ \dot{x}_4 \end{bmatrix} = \begin{bmatrix} 0 & 1 & 0 & 0 \\ 0 & -4.22 & 0 & -13.81 \\ 0 & 0 & 0 & 1 \\ 0 & -13.81 & -559.78 & -45.21 \end{bmatrix} \begin{bmatrix} x_1 \\ x_2 \\ x_3 \\ x_4 \end{bmatrix} + \begin{bmatrix} 0 \\ 7.85 \\ 0 \\ 25.71 \end{bmatrix} u$$

$$y = [1 \ 0 \ -0.38 \ 0] \begin{bmatrix} x_1 \\ x_2 \\ x_3 \\ x_4 \end{bmatrix} + [0] u$$

เมื่อ  $x_1 = \theta$  : มุมที่หมุน (rad)

$x_2 = \dot{\theta}$  : อัตราเร็วเชิงมุมที่หมุน (rad/s)

$x_3 = d$  : ตำแหน่งที่แขนกลแก่วง (m)

$x_4 = \dot{d}$  : อัตราเร็วที่แขนกลแก่วง (m/s)

$u$  = แรงดันเข้ามอเตอร์ (volt)

$y$  = ตำแหน่งเชิงมุมโดยๆ ของใหลด (m)

และระบบจะมีพิงก์ชันถ่ายโอน(Transfer Function)แบบวงปีกเป็นดังนี้

$$\frac{Y(s)}{R(s)} = \frac{-1.92 s^2 - 0.1899 s + 4394}{s^4 + 49.43 s^3 + 559.9 s^2 + 2362 s} \quad (3.1.1)$$

ตรวจสอบคุณสมบัติความสามารถควบคุม ได้(Controllability)ของระบบ โดย

$$U \triangleq [B \ AB \ A^2B \ A^3B]$$

$$U \triangleq \begin{bmatrix} 0 & 7.85 & -388.18 & 19187.29 \\ 7.85 & -388.18 & 19187.29 & -749647.83 \\ 0 & 25.71 & -1270.75 & 48419.80 \\ 28.71 & -1270.75 & 48419.80 & -1742691.05 \end{bmatrix}$$

$U$  มีค่าลำดับขึ้น (rank) เป็น 4 ดังนั้นระบบมีคุณสมบัติความสามารถควบคุม ได้(Controllability)

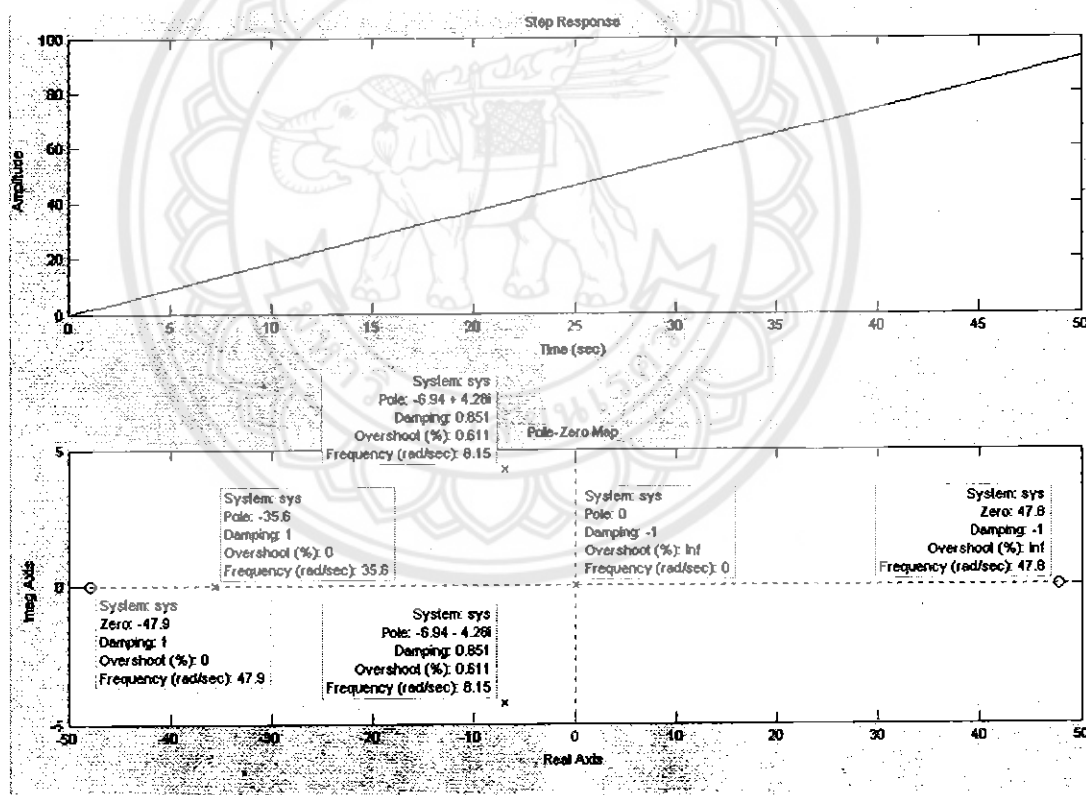
ตรวจสอบคุณสมบัติความสามารถสานารถสังเกตได้ (Observability) โดย

$$V \triangleq \begin{bmatrix} C^T & A^T C^T & (A^2)^T C^T & (A^3)^T C^T \end{bmatrix}$$

$$V \triangleq \begin{bmatrix} 1 & 0 & 0 & 0 \\ 0 & 1 & 1.03 & -50.87 \\ -0.38 & 0 & 212.71 & -1886.34 \\ 0 & -0.38 & 3.37 & 46.71 \end{bmatrix}$$

$V$  มีค่าลำดับขั้น (rank) เป็น 4 ดังนั้นระบบมีคุณสมบัติความสามารถสังเกตได้ (Observability)

เมื่อทำการตรวจสอบเสถียรภาพและสมรรถนะของระบบ โดยตรวจสอบผลตอบสนองแบบหนึ่งหน่วย  
และคำแนะนำข้อและศูนย์ ดังรูป



รูปที่ 3.2 ผลตอบสนองของระบบแบบหนึ่งหน่วยที่แบบอ่อนตัว

จากรูปที่ 3.2 จะเห็นได้ว่าผลตอบสนองแบบหนึ่งหน่วยของระบบจะมีค่าเพิ่มขึ้นเรื่อยๆ และ<sup>2</sup> คำแนะนำข้อของระบบจะอยู่ที่  $0, -6.94 \pm j4.28, -35.6$  ซึ่งมีคำแนะนำข้อที่ 0 จะทำให้ระบบระบบขาดเสถียรภาพ โดยจะส่งผลตอบสนองแบบหนึ่งหน่วยของระบบมีค่าขยายออกเรื่อยๆ เมื่อเวลาเข้าใกล้

อนันต์ ขั้นตอนต่อไปต้องออกแบบตัวควบคุมเข้าไปในระบบ เพื่อให้ระบบมีเสถียรภาพและสมรรถนะที่ดีขึ้น

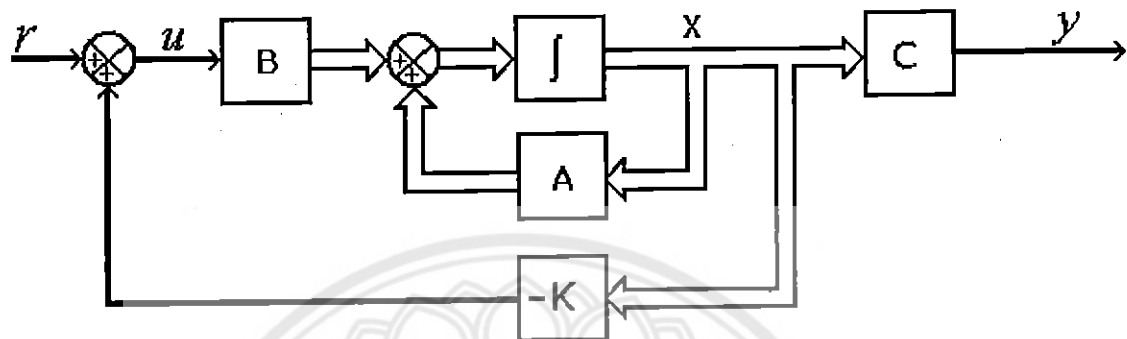
ในการทดลองออกแบบระบบควบคุมในระบบด้วยอิเล็กทรอนิกส์ ผู้ออกแบบจะออกแบบโดยใช้วิธีการหาค่าเหมาะสมที่สุด และเปรียบเทียบกับการวางแผนขั้นตอนในการออกแบบและการตรวจสอบผลตอบสนองในรูปแบบต่างๆนั้น ผู้ออกแบบจะใช้โปรแกรม MATLAB เป็นเครื่องมือช่วยในการออกแบบ



### 3.2 การออกแบบตัวควบคุมแบบป้อนกลับสถานะในระบบแบบกลุ่มที่แบบอ่อนตัว

#### 3.2.1 การออกแบบตัวควบคุมแบบป้อนกลับสถานะโดยใช้วิธีการวางแผนขั้ว

ในการนี้แรก สมมุติว่าผู้ออกแบบทราบตัวแปรสถานะทุกตัวและทราบมาแล้วว่าตัวอย่างระบบมีคุณสมบัติความสามารถควบคุมได้ทำให้สามารถออกแบบระบบควบคุมแบบป้อนกลับสถานะได้ ซึ่งต่อไปจะแสดงหลักการและวิธีการออกแบบ โดยแผนผังกล่องจะเป็นดังรูปที่ 3.3



รูปที่ 3.3 แผนภาพกล่องของระบบควบคุมแบบป้อนกลับสถานะ

เขียนจำลองระบบในรูปไปริภูมิสถานะได้ดังนี้

$$\begin{bmatrix} \dot{x}_1 \\ \dot{x}_2 \\ \dot{x}_3 \\ \dot{x}_4 \end{bmatrix} = \begin{bmatrix} 0 & 1 & 0 & 0 \\ 0 & -4.22 & 0 & -13.81 \\ 0 & 0 & 0 & 1 \\ 0 & -13.81 & -559.78 & -45.21 \end{bmatrix} \begin{bmatrix} x_1 \\ x_2 \\ x_3 \\ x_4 \end{bmatrix} + \begin{bmatrix} 0 \\ 7.85 \\ 0 \\ 25.71 \end{bmatrix} u \quad (3.2.1)$$

$$y = [1 \ 0 \ -0.38 \ 0] \begin{bmatrix} x_1 \\ x_2 \\ x_3 \\ x_4 \end{bmatrix} + [0] u \quad (3.2.2)$$

โดยที่สัญญาณควบคุมสามารถเขียนได้เป็น

$$u = -Kx + r$$

$$u = -[K_1 \ K_2 \ K_3 \ K_4] \begin{bmatrix} x_1 \\ x_2 \\ x_3 \\ x_4 \end{bmatrix} + r \quad (3.2.3)$$

แทน  $n$  ลงในสมการ 3.2.1 เขียนได้เป็น

$$\begin{bmatrix} \dot{x}_1 \\ \dot{x}_2 \\ \dot{x}_3 \\ \dot{x}_4 \end{bmatrix} = \begin{bmatrix} 0 & 1 & 0 & 0 \\ -7.85K_1 & -4.22 - 7.85K_2 & -7.85K_3 & -13.81 - 7.85K_4 \\ 0 & 0 & 0 & 1 \\ -25.71K_1 & -13.81 - 25.71K_2 & -559.78 - 25.71K_3 & -45.21 - 25.71K_4 \end{bmatrix} \begin{bmatrix} x_1 \\ x_2 \\ x_3 \\ x_4 \end{bmatrix} + \begin{bmatrix} 0 \\ 7.85 \\ 0 \\ 25.71 \end{bmatrix} r$$

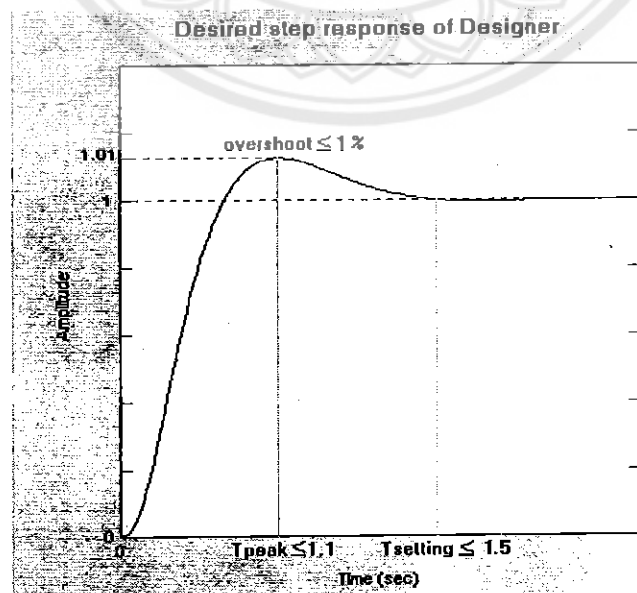
สมการคุณลักษณะของระบบป้อนกลับสถานะ เป็นได้เป็น

$$\begin{vmatrix} s & -1 & 0 & 0 \\ 7.85K_1 & s + 4.22 + 7.85K_2 & 7.85K_3 & 13.81 + 7.85K_4 \\ 0 & 0 & s & -1 \\ 25.71K_1 & 13.81 + 25.71K_2 & 559.78 + 25.71K_3 & s + 45.21 + 25.71K_4 \end{vmatrix} = 0$$

ซึ่งจะได้ว่า

$$s^4 + (25.71K_4 + 7.85K_2 + 49.43)s^3 + (0.0877K_4 + 25.71K_3 - 0.1566K_2 + 7.85K_1 + 559.85)s^2 + (0.0877K_3 + 4394.27K_2 - 0.1566K_1 + 2362.27)s + 4394.27K_1 = 0 \quad (3.2.4)$$

การออกแบบระบบควบคุมแบบป้อนกลับสถานะ โดยใช้วิธีการวางแผนขั้นนี้ ผู้ออกแบบจะต้องกำหนดคุณสมบัติของผลตอบสนองของระบบตามความต้องการของผู้ออกแบบก่อน อาทิ เช่น ผลตอบสนองสูงสุด(Overshoot) และเวลาสูงสุด(Peak Time) สมมุติว่าผู้ออกแบบต้องการให้ผลตอบสนองแบบหนึ่งหน่วยอุณหภูมิ ค่าสูงสุดของสัญญาณ(Maximum Overshoot:  $M_p$ ) ไม่เกิน 1 %, เวลาสูงสุด(Peak time) ประมาณ 1.1 วินาที และเวลาสู่สภาวะคงที่ (Setting time) ประมาณ 1.5 วินาที ดังรูปที่ 3.4



รูปที่ 3.4 ผลตอบสนองแบบหนึ่งหน่วยของระบบแบบกลุ่มนั้นคือแบบอ่อนตัวที่ผู้ออกแบบต้องการ

ฟังก์ชันถ่ายโอนแบบปิด กรณีเป็นระบบที่มีความหน่วงน้อย(Under Damped) เมื่อน้อยลงในรูปทั่วไปได้เป็น

$$\frac{Y}{R} = \frac{\omega_n^2}{(s + \zeta\omega_n + j\omega_d)(s + \zeta\omega_n - j\omega_d)} \quad (3.2.5)$$

เมื่อ  $\zeta$  = อัตราหน่วงของระบบ(Damping Ratio)

$\omega_n$  = ความเร็วเชิงมุมในการแก่วงตามธรรมชาติ(Undamped natural frequency)

$\omega_d$  = ความเร็วเชิงมุมในการแก่วงของระบบมีความหน่วง(Damped natural frequency)

โดยที่สมการคุณลักษณะของระบบสามารถเขียนได้เป็น

$$(s + \zeta\omega_n + j\omega_d)(s + \zeta\omega_n - j\omega_d) = 0 \quad (3.2.6)$$

จากสมการ 3.2.4 เมื่อจากตัวอย่างระบบมีข้อทั้งหมด 4 ตัว แต่ตัวหนึ่งการวางแผนข้อที่มีผลกระแทกต่อผลตอบสนองโดยตรงจะมีเพียง 2 ตัว ซึ่งจะเรียกข้อ 2 ตัวนี้ว่าข้อเด่น(Dominant Pole) และเพื่อเป็นการชดเชยผลกระแทกที่เกิดจากข้ออีก 2 ตัวที่เหลือ ผู้ออกแบบจะออกแบบโดยใช้ค่าสูงสุดของสัญญาณเป็น 0.75% เวลาสูงสุด(Peak time) ประมาณ 1.0 วินาที เมื่อกำหนดค่าสูงสุดของสัญญาณ(Maximum Overshoot:  $M_p$ ) ประมาณ 0.75% อัตราหน่วงของระบบ(Damping Ratio:  $\zeta$ ) สามารถหาได้จากสูตร

$$M_p = e^{-\left(\frac{\zeta}{\sqrt{1-\zeta^2}}\right)\pi}$$

$$0.0075 = e^{-\left(\frac{\zeta}{\sqrt{1-\zeta^2}}\right)\pi}$$

$$\zeta = 0.84$$

เวลาสูงสุด(Peak time) ประมาณ 1.0 วินาที จะสามารถหาความเร็วเชิงมุมในการแก่วงของระบบมีความหน่วง(damped natural frequency:  $\omega_d$ ) ได้เป็น

$$t_p = \frac{\pi}{\omega_d} \quad \text{โดยที่ } \pi = 3.14$$

$$1.0 = \frac{\pi}{\omega_d}$$

$$\omega_d = 3.14 \text{ rad/s}$$

จะสามารถหาความเร็วเชิงมุมในการแก่วงตานธรรมชาติ(Undamped natural frequency:  $\omega_n$ )สามารถหาได้จากสูตร

$$\begin{aligned}\omega_d &= \omega_n \sqrt{1 - \zeta^2} \\ 3.14 &= \omega_n \sqrt{1 - 0.84^2} \\ \omega_n &= 5.78 \text{ rad/s}\end{aligned}$$

นำ  $\zeta$ ,  $\omega_d$  ที่ได้ไปแทนในสมการ 3.2.6 จะได้เป็น

$$\begin{aligned}(s + 4.86 + j3.14)(s + 4.86 - j3.14) &= 0 \\ s^2 + 9.72s + 33.4792 &= 0\end{aligned}$$

จะได้ค่าแทนนงขั้วเป็น  $-4.86 \pm j3.14$

จากที่กล่าวมาแล้วว่า ตัวอย่างระบบที่ศึกษานี้ต้องทำการวางแผนนงขั้วถึง 4 ตัว โดยจากแผนนงขั้วที่ออกแบบ 2 ตัวคือ  $-4.86 \pm j3.14$  จะเป็นแผนนงขั้วเด่นที่ให้ผลตอบสนองของระบบออกแบบเป็นไปตามความต้องการของผู้ออกแบบและดำเนินการออกแบบโดยจะวางให้ใกล้จากแผนนงขั้วเด่น ซึ่งจะทำให้ขั้ว 2 ตัวนี้มีผลต่อผลตอบสนองของระบบน้อย โดยจะวางไว้ที่  $-10 \pm j10$  และจะสามารถเขียนสมการคุณลักษณะของระบบที่ต้องการเป็น

$$(s + 4.86 + j3.14)(s + 4.86 - j3.14)(s + 10 + j10)(s + 10 - j10) = 0 \quad (3.2.7)$$

การหาค่าอัตราขยาย(Gain)  $K$  โดยการเทียบสัมประสิทธิ์ของสมการ 3.2.4 กับสมการ 3.2.7 จะได้ค่า  $K$  เป็น

$$K = [1.5238 \quad 0.0574 \quad -5.5953 \quad -0.7841] \quad (3.2.8)$$

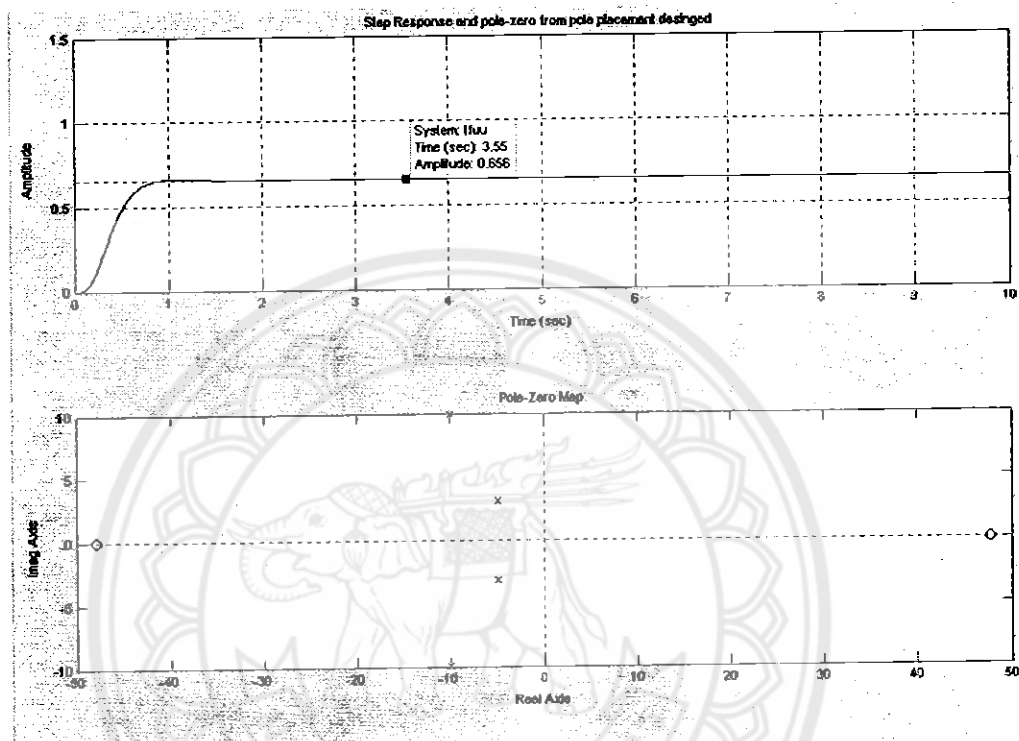
จะสามารถหาฟังก์ชันถ่ายโอนของระบบหลังจากออกแบบด้วยคุณแบบป้อนกลับสถานะได้จาก

$$\frac{Y}{R} = C(sI - A + BK)^{-1}B$$

$$\frac{Y}{R} = [1 \quad 0 \quad -0.38 \quad 0] \begin{pmatrix} s & -1 & 0 & 0 \\ 11.96 & s+4.67 & -43.92 & 7.65 \\ 0 & 0 & s & -1 \\ 39.17 & 15.28 & 415.92 & 25.04 \end{pmatrix}^{-1} \begin{bmatrix} 0 \\ 7.85 \\ 0 \\ 25.71 \end{bmatrix}$$

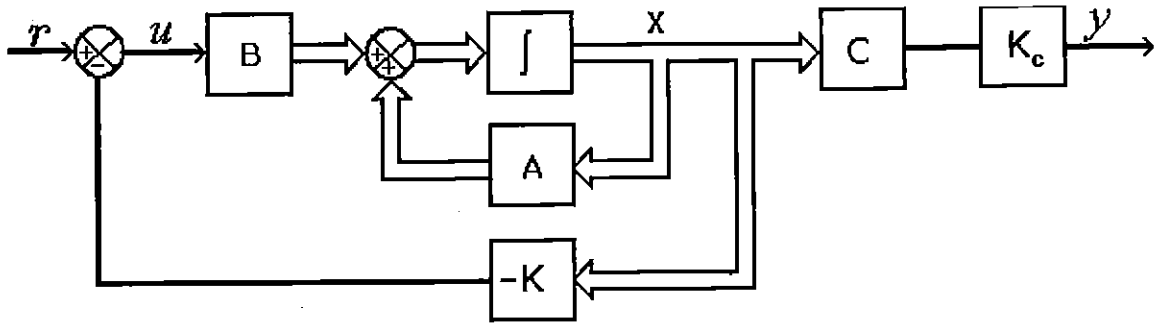
$$\frac{Y}{R} = \frac{-1.92 s^2 - 0.1899 s + 4394}{s^4 + 29.72s^3 + 427.9s^2 + 2614s + 6696}$$

และจะตรวจสอบเสถียรภาพและสมรรถนะของระบบหลังจากการออกแบบด้วยแบบตัวควบคุม โดยจะได้ผลตอบสนอง เป็นดังรูป



รูปที่ 3.5 ผลตอบสนองแบบหนึ่งหน่วยของระบบหลังจากการออกแบบด้วยแบบตัวควบคุมแบบป้อนกลับสถานะ

จากรูปที่ 3.5 จะเห็นได้ว่าผลตอบสนองแบบหนึ่งหน่วยของระบบหลังจากการออกแบบด้วยแบบตัวควบคุมแบบป้อนกลับสถานะเข้าไปในระบบจะมีเสถียรภาพที่ดีและตำแหน่งข้อผูกต่อซ้ายของระบบS ตามที่ผู้ออกแบบต้องการ แต่มีข้อเสียในเรื่องสมรรถนะของระบบจะเห็นได้ว่าผลตอบสนองแบบหนึ่งหน่วยจะมีความผิดพลาดในสภาพภาวะคงที่(error steady state) โดยมีขนาดประมาณ 0.656 หน่วย ทำให้ผู้ออกแบบจึงต้องออกแบบอัตราขยายเข้าไป และเพื่อเป็นการชดเชยให้ผลตอบสนองมีสมรรถนะเพิ่มมากขึ้น โดยมีแผนผังกล่องแสดงตำแหน่งของอัตราขยายดังรูปที่ 3.6 และมีวิธีออกแบบ ดังต่อไปนี้



รูปที่ 3.6 แผนภาพกล่องของระบบควบคุมแบบป้อนกลับสถานะเมื่อออกแบบอัตราขยาย  $K_c$  เข้าไป

หลักการออกแบบค่าอัตราขยาย  $K_c$  เข้าไปเพื่อชดเชยความผิดพลาดที่สภาวะสมดุลให้ผลตอบสนองแบบหนึ่งหน่วยมีค่าเป็นหนึ่ง ซึ่งมีวิธีทางดังนี้

ค่าคงที่ของตำแหน่งในสภาวะคงที่(Static Position error:  $K_p$ )จะมาได้จาก

$$K_p = \lim_{s \rightarrow 0} G(s) \quad (3.2.9)$$

$$K_p = \lim_{s \rightarrow 0} \frac{-1.92 s^2 - 0.1899 s + 4394}{s^4 + 29.72 s^3 + 427.9 s^2 + 2614 s + 6696}$$

$$K_p = \frac{4394}{6696}$$

ทำให้ต้องออกแบบอัตราขยาย(Gain)  $K_c$  เพื่อทำให้ความผิดพลาดในสภาวะคงที่เป็น 0 ได้จาก

$$K_c = \frac{1}{K_p} \quad (3.2.10)$$

$$K_c = \frac{6696}{4394}$$

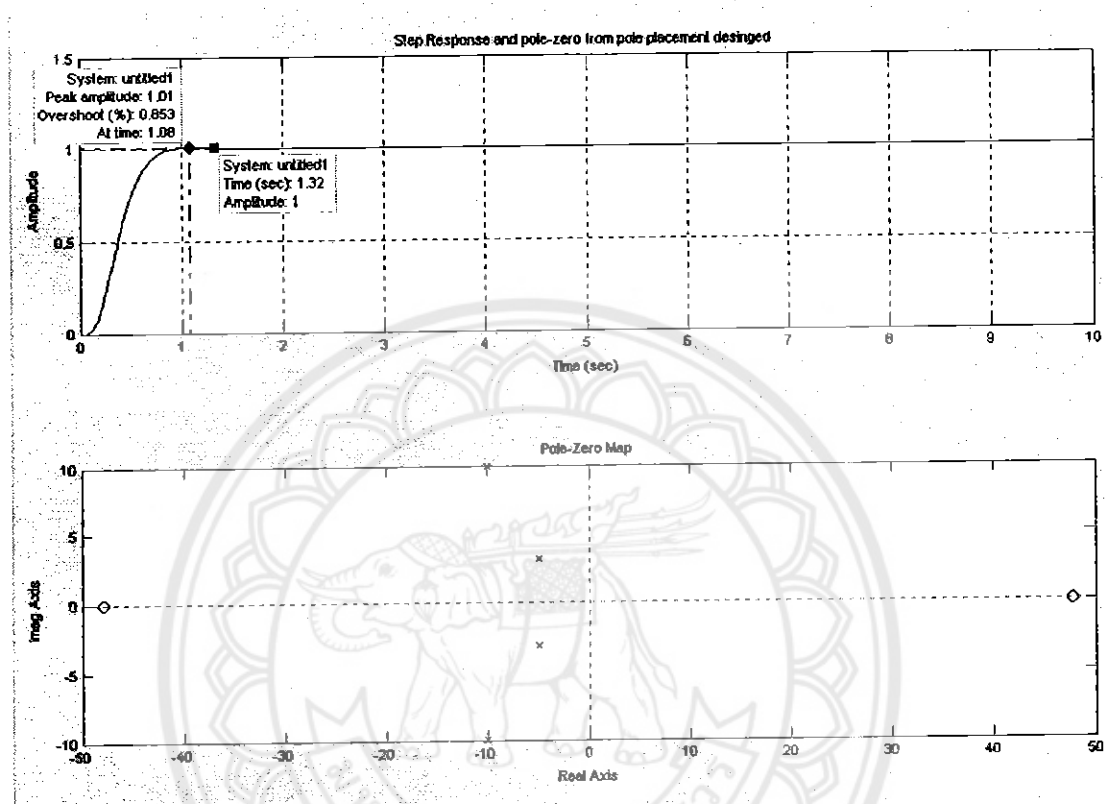
$$K_c = 1.52$$

จะสามารถเขียนพื้นที่ชั้นถ่ายโอนใหม่ได้เป็น

$$\frac{Y}{R} = K_c \times \frac{-1.92 s^2 - 0.1899 s + 4394}{s^4 + 29.72 s^3 + 427.9 s^2 + 2614 s + 6696}$$

$$\frac{Y}{R} = 1.52 \times \frac{-1.92 s^2 - 0.1899 s + 4394}{s^4 + 29.72 s^3 + 427.9 s^2 + 2614 s + 6696}$$

หลังจากได้ฟังก์ชันถ่ายโอนของระบบหลังจากออกแบบอัตราขยาย  $K_c$  เพื่อชดเชยความผิดพลาดในสภาวะคงที่แล้ว ต่อไปจะทำการตรวจสอบเสถียรภาพและสมรรถนะของระบบ โดยผลตอบสนองแบบหนึ่งหน่วยและคำแนะนำข้อ-คุณย์จะเป็นดังรูป 3.7



รูปที่ 3.7 ผลตอบสนองของระบบหลังจากออกแบบตัวควบคุมแบบป้อนกลับสถานะและออกแบบ  $K_c$

พิจารณารูปที่ 3.7 จะเห็นว่าสมรรถนะของระบบหลังจากการออกแบบค่า  $K_c$  เข้าไปในระบบจะทำให้ลดความผิดพลาดในสภาวะคงที่(error steady state) ในขณะที่คุณสมบัติอื่นๆ ที่ผู้ออกแบบต้องการอาจที่ค่าสูงสุดของสัญญาณ(Overshoot) และเวลาสูงสุด(peak Time) ก็ยังคงเท่าเดิม

### 3.2.2 การออกแบบตัวควบคุมแบบป้อนกลับสถานะโดยใช้วิธี LQR

ในการออกแบบระบบควบคุมแบบป้อนกลับสถานะโดยใช้วิธีการหาค่าหมายตามที่สุด โดยวิธี LQR จะมีขั้นตอนดังต่อไปนี้

แบบจำลองในรูปปริภูมิสถานะ(State Space) ดังนี้

$$\begin{bmatrix} \dot{x}_1 \\ \dot{x}_2 \\ \dot{x}_3 \\ \dot{x}_4 \end{bmatrix} = \begin{bmatrix} 0 & 1 & 0 & 0 \\ 0 & -4.22 & 0 & -13.81 \\ 0 & 0 & 0 & 1 \\ 0 & -13.81 & -559.78 & -45.21 \end{bmatrix} \begin{bmatrix} x_1 \\ x_2 \\ x_3 \\ x_4 \end{bmatrix} + \begin{bmatrix} 0 \\ 7.85 \\ 0 \\ 25.71 \end{bmatrix} u$$

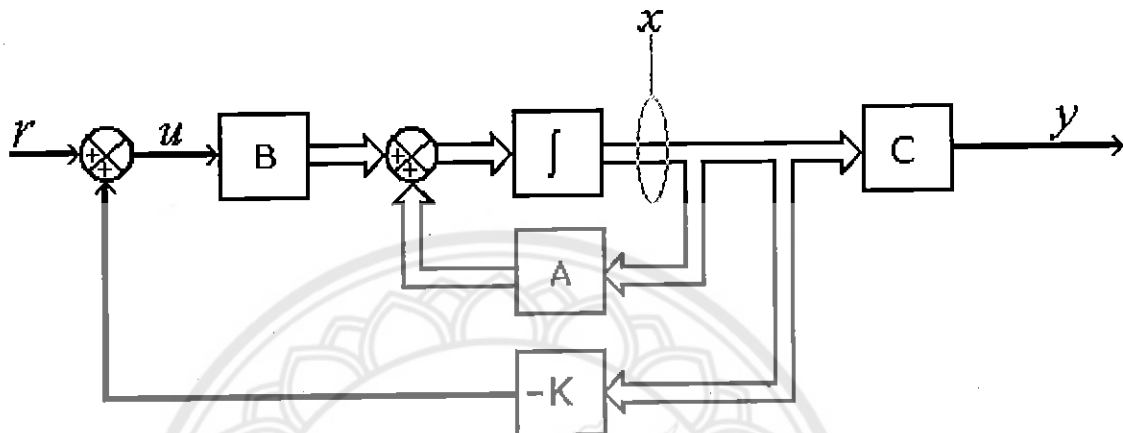
$$y = [1 \ 0 \ -0.38 \ 0] \begin{bmatrix} x_1 \\ x_2 \\ x_3 \\ x_4 \end{bmatrix} + [0] u$$

สำหรับการออกแบบระบบควบคุมแบบป้อนกลับสถานะนี้ ระบบต้องมีคุณสมบัติความสามารถควบคุม ได้ ซึ่งวิธีการหาค่าอัตราขยายป้อนกลับ  $K$  นี้ โดยขั้นแรกต้องทำการเลือก  $Q, R$  แล้วจึงแก้สมการริบคิดเชิงพิชิตเพื่อหาค่า  $P$  และค่า  $K$  ออกมานา ซึ่งรายละเอียดจะอยู่ในหัวข้อ 2.4.5 ซึ่งในขั้นตอนการหาค่า  $K$  ผู้ออกแบบสามารถจะคำนวณโดยใช้โปรแกรม MATLAB ซึ่งในการเลือก  $Q, R$  จะพิจารณาจากผลตอบสนองของระบบ จึงทำให้ผู้ออกแบบทำการวิเคราะห์เสถียรภาพและสมรรถนะควบคุมไปด้วยกันและจะเปรียบเทียบผลตอบสนองที่ได้กับการออกแบบโดยใช้วิธีการวางแผนข้าวอิกค์วิช

ในการวิเคราะห์เสถียรภาพและสมรรถนะหลังจากการออกแบบนี้ สามารถแสดงได้ทางวิธีโดยในส่วนของโครงงานนี้ จะนำเสนอการวิเคราะห์ผลในรูปแบบต่างๆ ได้แก่ การตรวจสอบเส้นทางการเคลื่อนที่ของสถานะ(State Trajectory), ปริมาณการใช้สัญญาณควบคุม(Control Signal afford: u), ผลตอบสนองแบบหนึ่งหน่วย(Step Response) และตำแหน่งขั้วและศูนย์(Pole and zero) ซึ่งรายละเอียดต่างๆ จะแสดงได้ดังนี้

### 3.2.2.1 การตรวจสอบเส้นทางการเคลื่อนที่ของสถานะ (State Trajectory)

ในการตรวจสอบเส้นทางการเคลื่อนที่ของสถานะ โดยการออกแบบที่ดีจะต้องออกแบบให้ตัวแปรสถานะต้องมีเสถียรภาพและสมบูรณ์ที่ดี ซึ่งก็คือในสภาวะที่ไม่มีการป้อนสัญญาณเข้าและเมื่อกำหนดค่าสภาวะเริ่มต้นของตัวแปรสถานะเดียว ณ เวลาที่สถานะคงที่ (Steady state) เส้นทางการเคลื่อนที่ของตัวแปรสถานะจะต้องเข้าสู่ 0 ให้เร็วที่สุดนั้นเอง



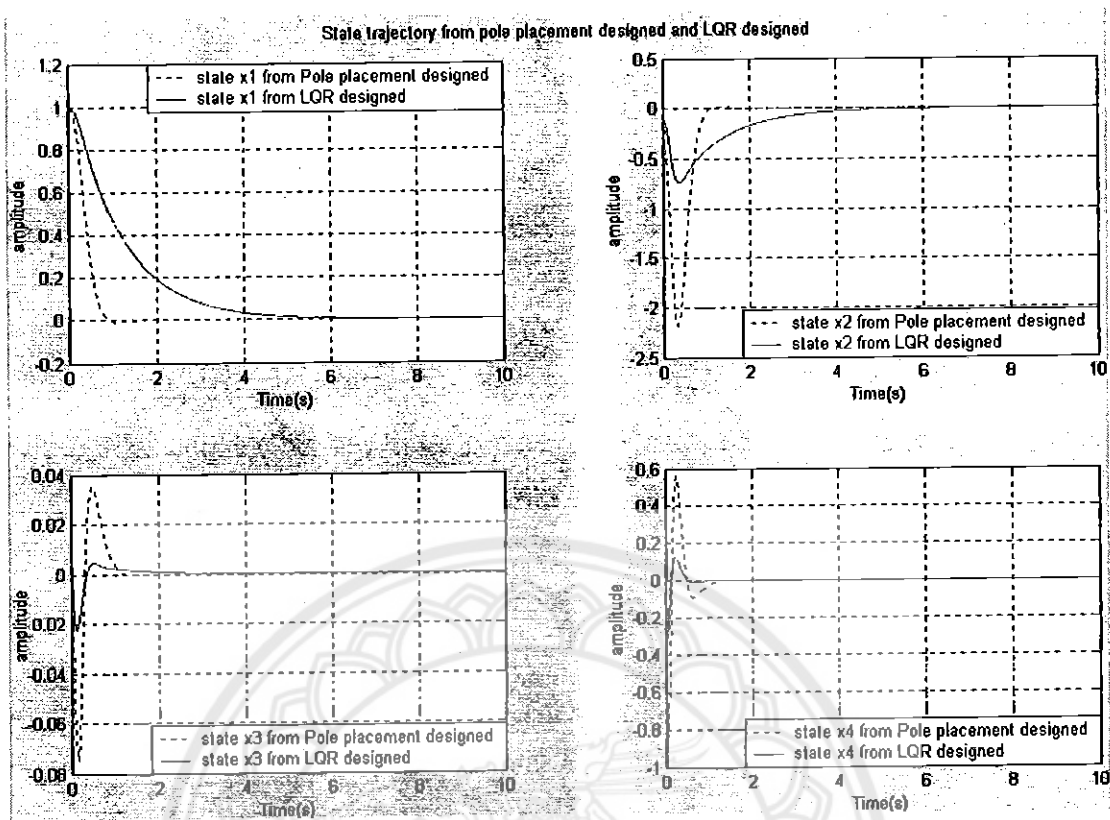
รูปที่ 3.8 แผนผังกล่องแสดงตำแหน่งในการตรวจสอบเส้นทางการเคลื่อนที่ของสถานะ

ในการออกแบบโดยใช้วิธี LQR จะต้องทำการป้อนแมทริกซ์  $A$ , เมทริกซ์  $B$ , พังก์ชันน้ำหนัก  $Q$  และพังก์ชันน้ำหนัก  $R$  เพื่อที่จะได้ค่า  $K$  ที่เหมาะสม ซึ่งในการออกแบบเพื่อตรวจสอบเส้นทางการเคลื่อนที่ของตัวแปรสถานะขึ้นแรกผู้ออกแบบจะกำหนดเงื่อนไขดังนี้

1. ไม่มีการป้อนสัญญาณเข้า  $r = 0$
2. กำหนดสภาวะเริ่มต้น (Initial state) ของตัวแปรสถานะแต่ละตัวเท่ากับ  $x_1(0) = 1$ ,  $x_2(0) = 0$ ,  $x_3(0) = 0$ ,  $x_4(0) = 0$
3. การออกแบบโดยใช้วิธีการวางแผนขั้ว ซึ่งได้ออกแบบมาแล้วโดยว่างตำแหน่งขั้วไว้ที่  $-4.86 \pm j3.14, 10 \pm j10$

การออกแบบโดยใช้วิธี LQR จะกำหนดให้  $Q = \begin{bmatrix} 1 & 0 & 0 & 0 \\ 0 & 1 & 0 & 0 \\ 0 & 0 & 1 & 0 \\ 0 & 0 & 0 & 1 \end{bmatrix}$ ,  $R = [1]$  จะทำให้ได้เส้นทาง

การเคลื่อนที่ของสถานะออกมา ดังรูปที่ 3.9



รูปที่ 3.9 เส้นทางการเคลื่อนที่ของสถานะ  $x$  กรณี  $Q = [q_{11} = 1, q_{22} = 1, q_{33} = 1, q_{44} = 1]$   $R = [1]$  จากการคำนวณในโปรแกรมMATABจะได้ เมทริกซ์  $P$  และ  $K$  เป็น

$$P = \begin{bmatrix} 1.2902 & 0.1878 & 1.9770 & -0.0184 \\ 0.1878 & 0.1622 & 1.6228 & -0.0202 \\ 1.9770 & 1.6228 & 28.5894 & -0.0942 \\ -0.0184 & -0.0202 & -0.0942 & 0.0146 \end{bmatrix}$$

$$K = [1.0000 \quad 0.7524 \quad 10.3173 \quad 0.2174]$$

ดังนั้นค่าตัวบ่งชี้สมรรถนะที่น้อยที่สุด สำหรับทุกค่า ที่เป็นไปได้มีค่าเท่ากับ

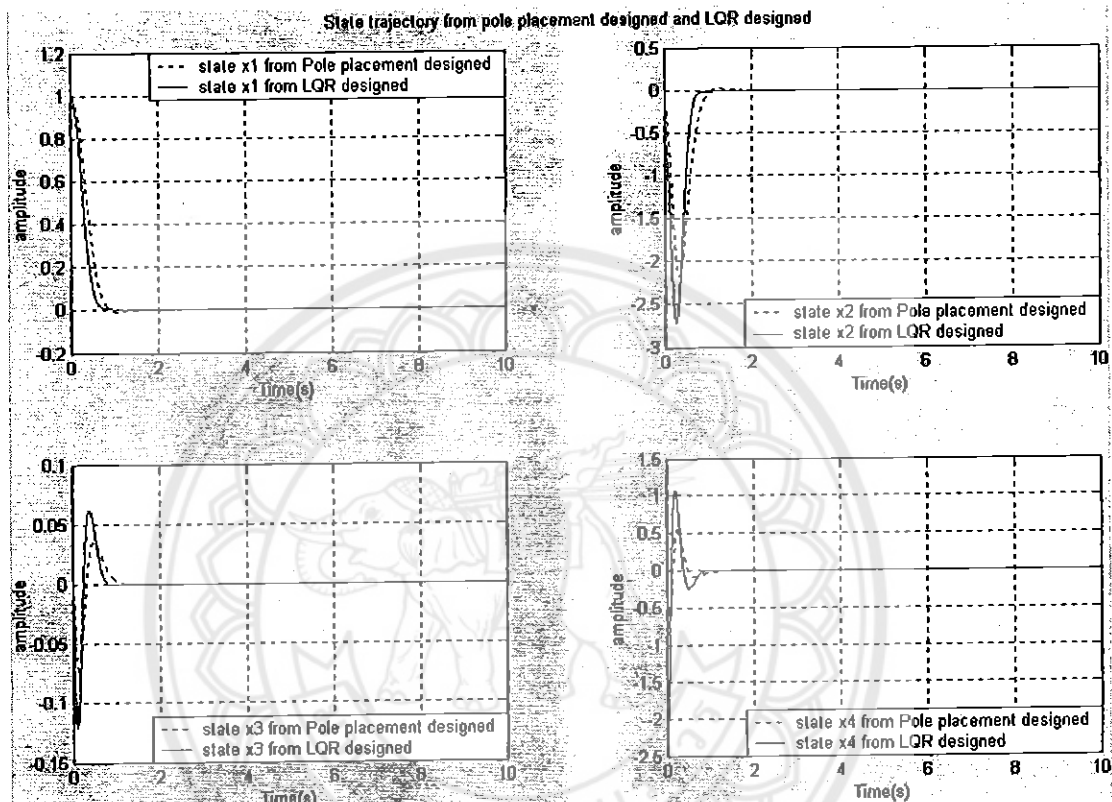
$$V_{opt} = x(0)^* Px(0)$$

$$V_{opt} = 1.2901$$

รูปที่ 3.9 จะเป็นรูปเส้นทางการเคลื่อนที่ของสถานะ  $x$  ที่มาจากการออกแบบทั้ง 2 แบบมีจะเห็นได้ว่าระบบที่ได้จากการออกแบบมีเสถียรภาพที่ดีทั้งคู่ แต่จะเห็นได้ว่าเส้นทางการเคลื่อนที่ตัวแปรสถานะ  $x$  ที่ได้จากการออกแบบโดยใช้วิธีLQRค่อนข้างจะมีเวลาเข้าสู่ 0 ช้ากว่าการออกแบบโดยใช้วิธีการวางแผนย่อทั้งชั้ดเจน ส่วนเส้นทางการเคลื่อนที่ของตัวแปรสถานะอื่นๆจะมีเวลาเข้าสู่สภาวะคงที่ใกล้

เดียงกัน ดังนั้นจะทำให้ผู้ออกแบบเลือก  $q_{11}$  ที่มีผลต่อตัวแปรสถานะ  $x_1$  ให้มากกว่าเดิม โดยต่อไปทำการ

$$\text{เลือก } Q = \begin{bmatrix} 50 & 0 & 0 & 0 \\ 0 & 1 & 0 & 0 \\ 0 & 0 & 1 & 0 \\ 0 & 0 & 0 & 1 \end{bmatrix}, R = [1] \text{ ซึ่งทำให้ได้เส้นทางการเคลื่อนที่ของสถานะอ่อนมา ดังรูป}$$



รูปที่ 3.10 เส้นทางการเคลื่อนที่ของสถานะ  $x$  กรณี  $Q = [q_{11} = 50, q_{22} = 1, q_{33} = 1, q_{44} = 1]$   $R = [1]$   
จากการคำนวณในโปรแกรมMATLABจะได้ เมทริกซ์  $P$  เป็น

$$P = \begin{bmatrix} 15.1694 & 1.6563 & 13.2363 & -0.2307 \\ 1.6563 & 0.3565 & 3.2994 & -0.0463 \\ 13.2363 & 3.2994 & 44.5402 & -0.2970 \\ -0.2307 & -0.0463 & -0.2970 & 0.0185 \end{bmatrix}$$

$$K = [7.0711 \quad 1.6073 \quad 18.2633 \quad 0.1120]$$

ดังนั้นค่าตัวบ่งชี้สมรรถนะที่น้อยที่สุด สำหรับทุกค่า ที่เป็นไปได้มีค่าเท่ากับ

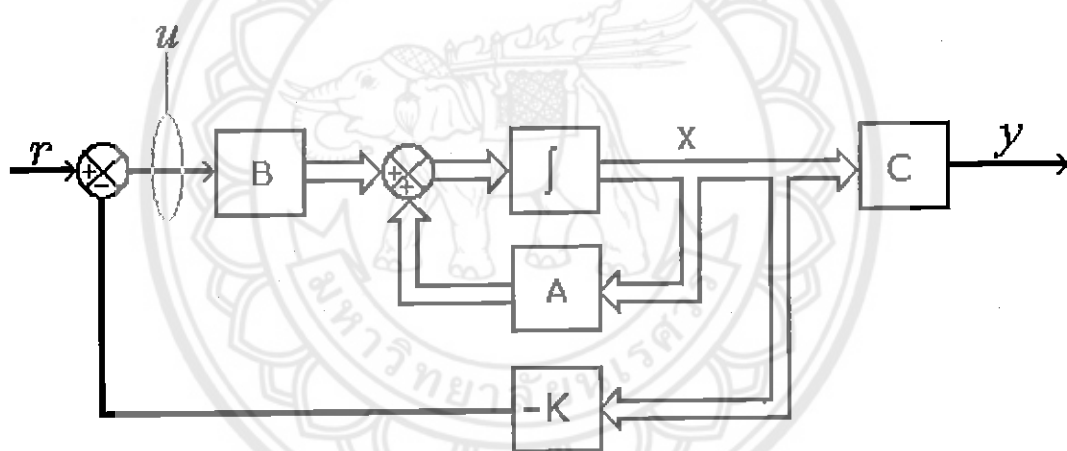
$$V_{opt} = x(0)^* P x(0)$$

$$V_{opt} = 15.1694$$

จากรูปที่ 3.10 จะเห็นได้ว่าเมื่อเราเลือก  $q_1$  มากกว่าเดิมจะมีผลโดยตรงกับตัวแปรสถานะ  $x_1$  โดยจะทำให้เส้นทางการเคลื่อนที่ของตัวแปรสถานะ  $x_1$  มีเวลาเข้าสู่ 0 ที่เร็วกว่าเดิมและเมื่อพิจารณาเส้นทางการเคลื่อนที่ของตัวแปรสถานะอื่นๆ ก็จะมีเวลาเข้าสู่ 0 ที่เร็วกว่าเดิมเข่นเดียวกัน และในขณะเดียวกันเมื่อพิจารณาค่าตัวบ่งชี้สมรรถนะจะเห็นได้ว่ามีค่าเพิ่มขึ้นเด่นอย แต่เนื่องจากการเลือก  $Q$  ในครั้งนี้ทำให้เส้นทางการเคลื่อนที่ของตัวแปรสถานะมีเวลาเข้าสู่ศูนย์เร็วขึ้น ดังนั้นถึงแม้ว่าในการเลือก  $Q$  ในครั้งนี้จะทำให้ค่าตัวบ่งชี้สมรรถนะเพิ่มขึ้นก็ตาม แต่ก็เป็นค่าที่สามารถยอมรับได้

### 3.2.2.2 ปริมาณการใช้สัญญาณควบคุม (Control signal afford: U)

ในการตรวจสอบสมรรถนะของระบบอีกแบบหนึ่งนอกเหนือจากการสังเกตเวลาที่เส้นทางการเคลื่อนที่ของตัวแปรสถานะแล้ว ก็คือการตรวจสอบปริมาณการใช้สัญญาณควบคุม ( $U$ ) ซึ่งสิ่งนี้หมายถึงปริมาณการใช้พลังงานที่ต้องป้อนให้กับระบบ ซึ่งการออกแบบระบบควบคุมที่ดีควรมีการใช้สัญญาณควบคุมให้มีความเหมาะสมที่สุดด้วย



รูปที่ 3.11 แผนผังกล่องแสดงตำแหน่งในการวัดปริมาณการใช้สัญญาณควบคุม

จากรูปที่ 3.11 สมมุติให้สัญญาณขาเข้าเป็นศูนย์ จะสามารถเขียนสัญญาณควบคุมได้เป็น

$$u = r - kx$$

$$u = -(k_1x_1 + k_2x_2 + k_3x_3 + k_4x_4)$$

สิ่งที่มีผลโดยตรงกับปริมาณการใช้สัญญาณควบคุมของวิธีการออกแบบโดยใช้วิธี LQR นั้น จะขึ้นอยู่กับการเลือก  $R$  โดยตรง ซึ่งແນ່ນอนว่าจะขึ้นอยู่กับการเลือก  $Q$  ด้วยเช่นเดียวกัน โดยในการวัดปริมาณการใช้สัญญาณควบคุมเราจะกำหนดเงื่อนไขต่างๆ ดังนี้

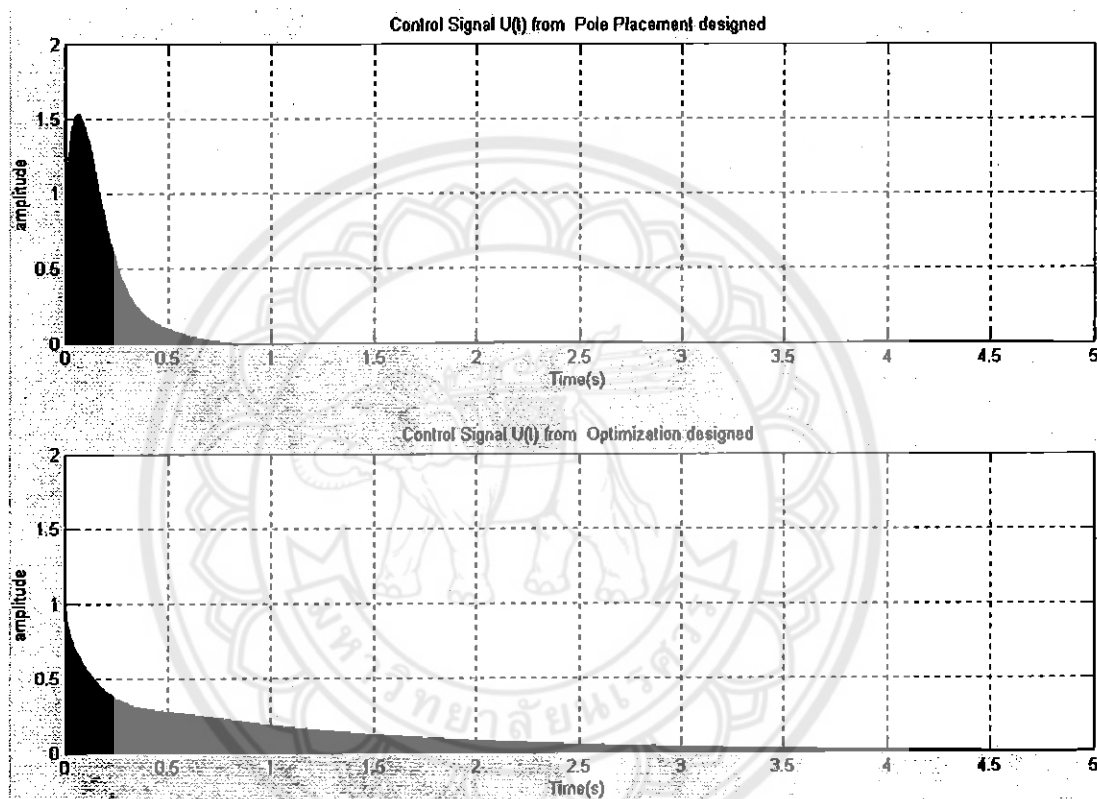
1. ไม่มีการป้อนสัญญาณขาเข้า  $r = 0$
2. กำหนดสถานะเริ่มต้น (Initial state) ของตัวแปรสถานะแต่ละตัวเท่ากับ  $x_1(0) = 1$ ,  $x_2(0) = 0, x_3(0) = 0, x_4(0) = 0$

3. การออกแบบโดยใช้วิธีการวางแผนขั้ว ซึ่งได้ออกแบบมาแล้วโดยวางแผนคำแห่งจั๊วไว้ที่

$$-4.86 \pm j3.14, 10 \pm j10$$

ค่าดับเบิลจังหวะเลือก  $Q = \begin{bmatrix} 1 & 0 & 0 & 0 \\ 0 & 1 & 0 & 0 \\ 0 & 0 & 1 & 0 \\ 0 & 0 & 0 & 1 \end{bmatrix}$ , และจะเลือก  $R = [1]$  ก่อน จะทำให้ได้ปริมาณ

สัญญาณควบคุมอุปกรณ์ดังรูป



รูปที่ 3.12 รูปปริมาณสัญญาณควบคุมกรณี  $R = [1]$  และ  $Q = [q_{11} = 1, q_{22} = 1, q_{33} = 1, q_{44} = 1]$   
จากการคำนวณในโปรแกรมMATLABจะได้ เมทริกซ์  $P$  และ  $K$  เป็น

$$P = \begin{bmatrix} 1.2902 & 0.1878 & 1.9770 & -0.0184 \\ 0.1878 & 0.1622 & 1.6228 & -0.0202 \\ 1.9770 & 1.6228 & 28.5894 & -0.0942 \\ -0.0184 & -0.0202 & -0.0942 & 0.0146 \end{bmatrix}$$

$$K = [1.0000 \quad 0.7524 \quad 10.3173 \quad 0.2174]$$

คั่งนี้ค่าตัวบ่งชี้สมรรถนะที่น้อยที่สุด สำหรับทุกค่า ที่เป็นไปได้มีค่าเท่ากับ

$$V_{opt} = x(0) * Px(0)$$

$$V_{opt} = 1.2901$$

และปริมาณการใช้สัญญาณควบคุมที่ได้จากจะเป็นดังนี้

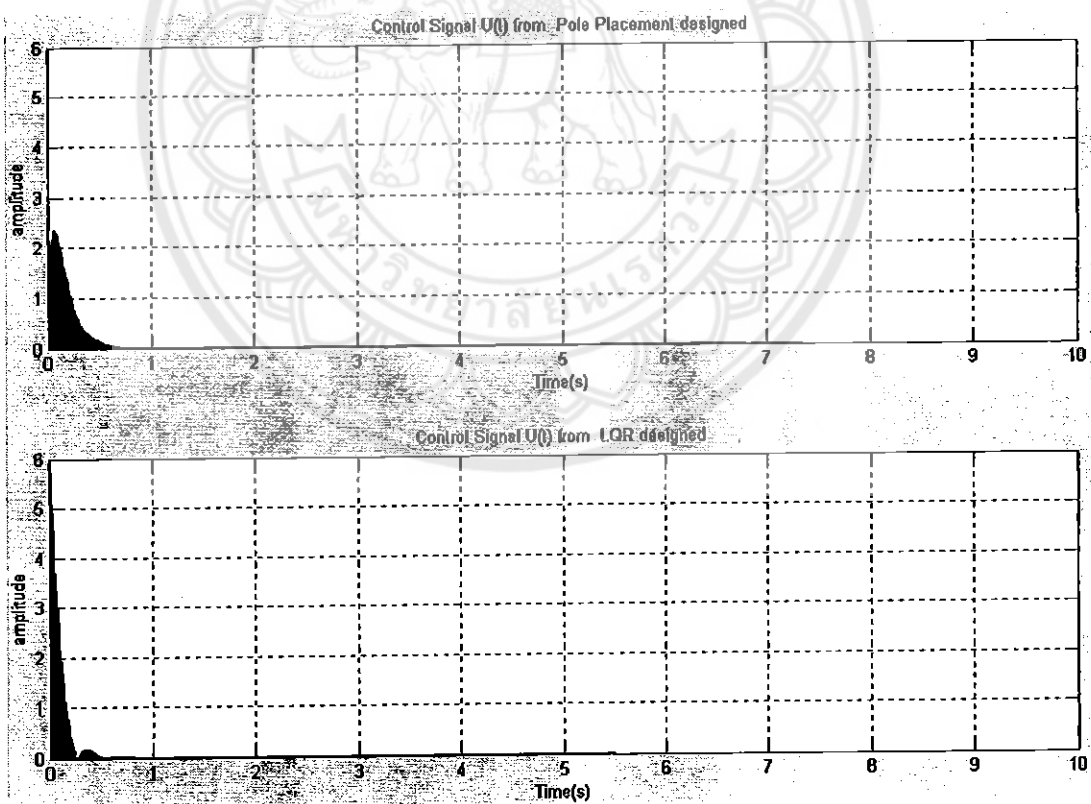
$$U_{pole} = 0.5536$$

$$U_{LQR} = 0.5426$$

พิจารณาปุ่มที่ 3.12 รูปนี้จะเป็นสัญญาณควบคุมของระบบที่ได้มาจากการออกแบบโดยใช้วิธีการวางแผนข้าว ส่วนรูปล่างจะเป็นสัญญาณควบคุมของระบบที่ได้มาจากการออกแบบโดยใช้วิธี LQR ซึ่งปริมาณการใช้สัญญาณควบคุมก็คือพื้นที่ใต้กราฟจะเห็นได้ว่าปริมาณสัญญาณควบคุมที่ได้ออกมานี้ปริมาณที่ใกล้เคียงกัน

ในขั้นต่อไปจะเลือก  $Q$  ที่ได้มาจากการพิจารณาเส้นทางการเคลื่อนที่ของสถานะกึ่ง

$$Q = \begin{bmatrix} 50 & 0 & 0 & 0 \\ 0 & 1 & 0 & 0 \\ 0 & 0 & 1 & 0 \\ 0 & 0 & 0 & 1 \end{bmatrix}, \text{ และ } R = [1] \text{ ก่อน จะทำให้ได้ปริมาณสัญญาณควบคุมออกแบบดังรูป 3.13}$$



รูปที่ 3.13 รูปปัจจุบันสัญญาณควบคุมกรณี  $R = [1]$  และ  $Q = [q_{11} = 50, q_{22} = 1, q_{33} = 1, q_{44} = 1]$

จากการคำนวณในโปรแกรมMATLABจะได้ เมทริกซ์  $P$  เป็น

$$P = \begin{bmatrix} 15.1694 & 1.6563 & 13.2363 & -0.2307 \\ 1.6563 & 0.3565 & 3.2994 & -0.0463 \\ 13.2363 & 3.2994 & 44.5402 & -0.2970 \\ -0.2307 & -0.0463 & -0.2970 & 0.0185 \end{bmatrix}$$

$$K = [7.0711 \quad 1.6073 \quad 18.2633 \quad 0.1120]$$

ดังนั้นค่าตัวบ่งชี้สมรรถนะที่น้อยที่สุด สำหรับทุกค่า ที่เป็นไปได้มีค่าเท่ากัน

$$V_{opt} = x(0) * Px(0)$$

$$V_{opt} = 15.1694$$

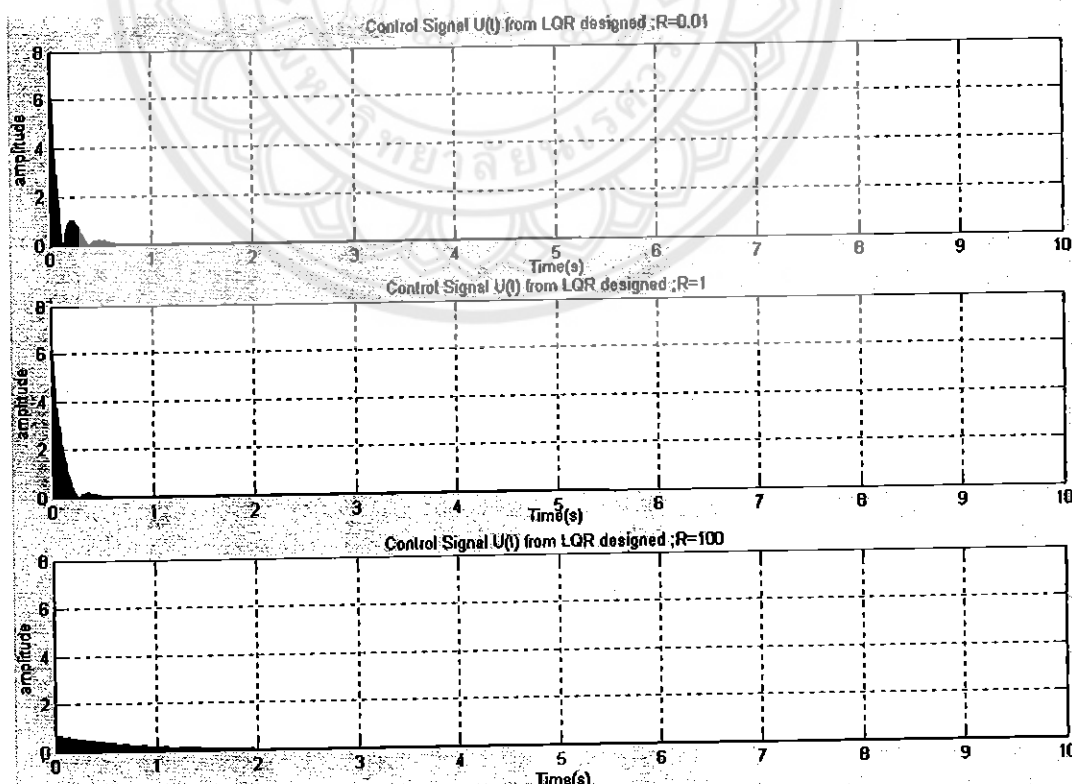
และปริมาณการใช้สัญญาณควบคุมที่ได้จากปัจจุบันค้างนี้

$$U_{pole} = 0.5536$$

$$U_{LQR} = 0.6287$$

เมื่อพิจารณาปุ่ม 3.13 จะเห็น ได้ว่าปริมาณการใช้สัญญาณควบคุมที่ได้มาจากการออกแบบโดยวิธี LQR จะเพิ่มขึ้น ทั้งนี้ เพราะว่าถ้าเราเลือก  $Q$  มากขึ้น ทำให้ในการลดค่าตัวบ่งชี้สมรรถนะจะเน้นไปที่ตัวแปรสถานะมากกว่าสัญญาณควบคุม ทำให้ปริมาณการใช้สัญญาณควบคุมมีค่าเพิ่มขึ้น

โดยในขั้นตอนต่อไปจะแสดงปริมาณการใช้สัญญาณควบคุมในการณ์ที่เลือก  $R = 0.01, 1, 100$  และเลือก  $Q$  เท่าเดิม ดังนี้



รูปที่ 3.14 รูปปริมาณสัญญาณควบคุมกรณี  $Q = [q_{11} = 50, q_{22} = 1, q_{33} = 1, q_{44} = 1], R = 0.01, 1, 100$

จากการคำนวณในโปรแกรมMATLABกรณีเลือก  $Q = [q_{11} = 50, q_{22} = 1, q_{33} = 1, q_{44} = 1]$ ,  $R = 0.01$  จะได้ เมทริกซ์  $P$  เป็น

$$P = \begin{bmatrix} 11.7092 & 0.8695 & 4.4730 & -0.2380 \\ 0.8695 & 0.1767 & 1.2754 & -0.0477 \\ 4.4730 & 1.2754 & 21.0630 & -0.3162 \\ -0.2380 & -0.0477 & -0.3162 & 0.0163 \end{bmatrix}$$

$$K = [70.7107 \ 16.0180 \ 188.4011 \ 4.5598]$$

ดังนั้นค่าตัวบ่งชี้สมรรถนะที่น้อยที่สุด สำหรับทุกค่า ที่เป็นไปได้มีค่าเท่ากับ

$$V_{opt} = x(0) * Px(0)$$

$$V_{opt} = 11.7091$$

จากการคำนวณในโปรแกรมMATLABกรณีเลือก  $Q = [q_{11} = 50, q_{22} = 1, q_{33} = 1, q_{44} = 1]$ ,  $R = 100$  จะได้ เมทริกซ์  $P$  เป็น

$$P = \begin{bmatrix} 49.8813 & 9.9293 & 124.4257 & -0.2814 \\ 9.9293 & 2.3290 & 29.8262 & -0.0584 \\ 124.4257 & 29.8262 & 402.6812 & -0.4423 \\ -0.2814 & -0.0584 & -0.4423 & 0.0191 \end{bmatrix}$$

$$K = [0.7071 \ 0.1678 \ 2.2276 \ 0.0003]$$

ดังนั้นค่าตัวบ่งชี้สมรรถนะที่น้อยที่สุด สำหรับทุกค่า ที่เป็นไปได้มีค่าเท่ากับ

$$V_{opt} = x(0) * Px(0)$$

$$V_{opt} = 49.8812$$

และปริมาณการใช้สัญญาณควบคุมที่ได้จากูปะเป็นดังนี้

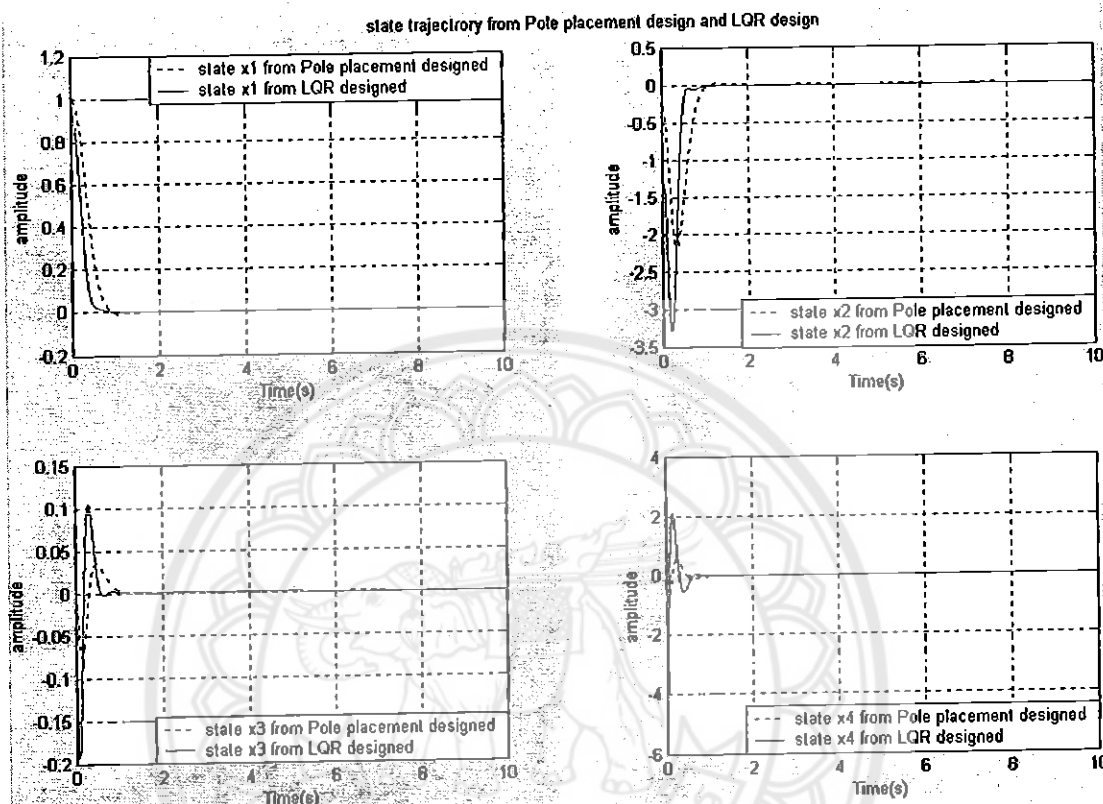
$$\text{กรณี } R = 0.01 \quad U_{LQR} = 1.3446$$

$$\text{กรณี } R = 1 \quad U_{LQR} = 0.6287$$

$$\text{กรณี } R = 100 \quad U_{LQR} = 0.5411$$

พิจารณากราฟที่ 3.14 พิจารณาขึ้นมา จะเห็นได้ว่าเมื่อผู้ออกแบบเลือก  $R = 100$  จะทำให้ระบบมีปริมาณการใช้สัญญาณควบคุมลดลง ทั้งนี้ เพราะว่าเมื่อผู้ออกแบบเลือก  $R$  ให้มีค่ามากขึ้น ทำให้ในการลดค่าตัวบ่งชี้สมรรถนะจะเน้นไปที่สัญญาณควบคุมมากกว่าตัวแปรสถานะ จึงส่งผลให้ปริมาณการใช้สัญญาณควบคุมน้อยลงและด้วยเหตุผลเดียวกัน เมื่อเราพิจารณากราฟบ่งบอกความและรูปแบบจะเห็นได้ว่าเมื่อปริมาณการใช้สัญญาณควบคุมที่มากขึ้นตามลำดับ แต่เมื่อพิจารณาค่าตัวบ่งชี้สมรรถนะจะเห็นได้ว่า

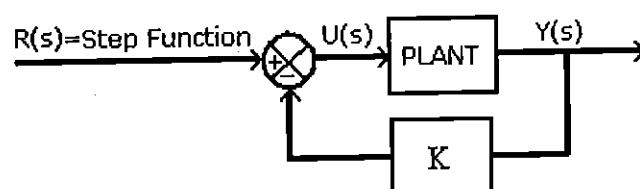
กรณีเลือก  $R = 0.01$  จะมีค่าสุดและเมื่อพิจารณาเส้นทางการเคลื่อนที่ของตัวแปรสถานะกรณีเลือก  $R = 0.01$  ดังรูปที่ 3.15 จะเห็นได้ว่ามีเวลาเข้าสู่ศูนย์ที่เร็วกว่าเดิม ทำให้ผู้ออกแบบเลือก  $R = 0.01$  ถึงแม้ว่าปริมาณการใช้สัญญาณควบคุมจะมากกว่าทุกๆ กรณีก็ตาม



รูปที่ 3.15 เส้นทางการเคลื่อนที่ของสถานะ  $x$  กรณี  $Q = [q_{11} = 50, q_{22} = 1, q_{33} = 1, q_{44} = 1]$   $R = [0.01]$

### 3.2.2.3 ผลตอบสนองแบบหนึ่งหน่วย(Step Response) และตำแหน่งขั้ว-ศูนย์(Pole-Zero)

หลังจากที่ผู้ออกแบบได้ค่าพิมพ์ชั้นนำหนัก  $Q, R$  ที่เหมาะสมแล้ว ต่อไปจะพิจารณาผลตอบสนองแบบหนึ่งหน่วย ซึ่งจะเป็นการตรวจสอบผลตอบสนองชั่วครู่(Transient Response) และผลตอบสนองในสภาวะคงที่(Steady-State Response)รวมถึงจะตรวจสอบตำแหน่งขั้วและศูนย์ของระบบที่ได้จากการออกแบบ โดยในโครงงานนี้จะมีขั้นตอนตรวจสอบผลตอบสนองแบบหนึ่งหน่วยของระบบควบคุมแบบป้อนกลับสถานะดังนี้



รูปที่ 3.16 แผนผังกลไกของระบบควบคุมแบบป้อนกลับสถานะเมื่อป้อนสัญญาณเข้าแบบหนึ่งหน่วย

ในการเลือก  $Q, R$  จะนำค่าที่ทำให้ผลตอบสนองออกแบบที่สุด ที่ได้มาจากการพิจารณา

เส้นทางการเคลื่อนที่ของสถานะและปริมาณการใช้สัญญาณควบคุมคือ  $Q = \begin{bmatrix} 50 & 0 & 0 & 0 \\ 0 & 1 & 0 & 0 \\ 0 & 0 & 1 & 0 \\ 0 & 0 & 0 & 1 \end{bmatrix}$ ,

$R = [0.01]$  ทำให้ได้ค่าอัตราขยาย  $K$  ออกแบบเป็น

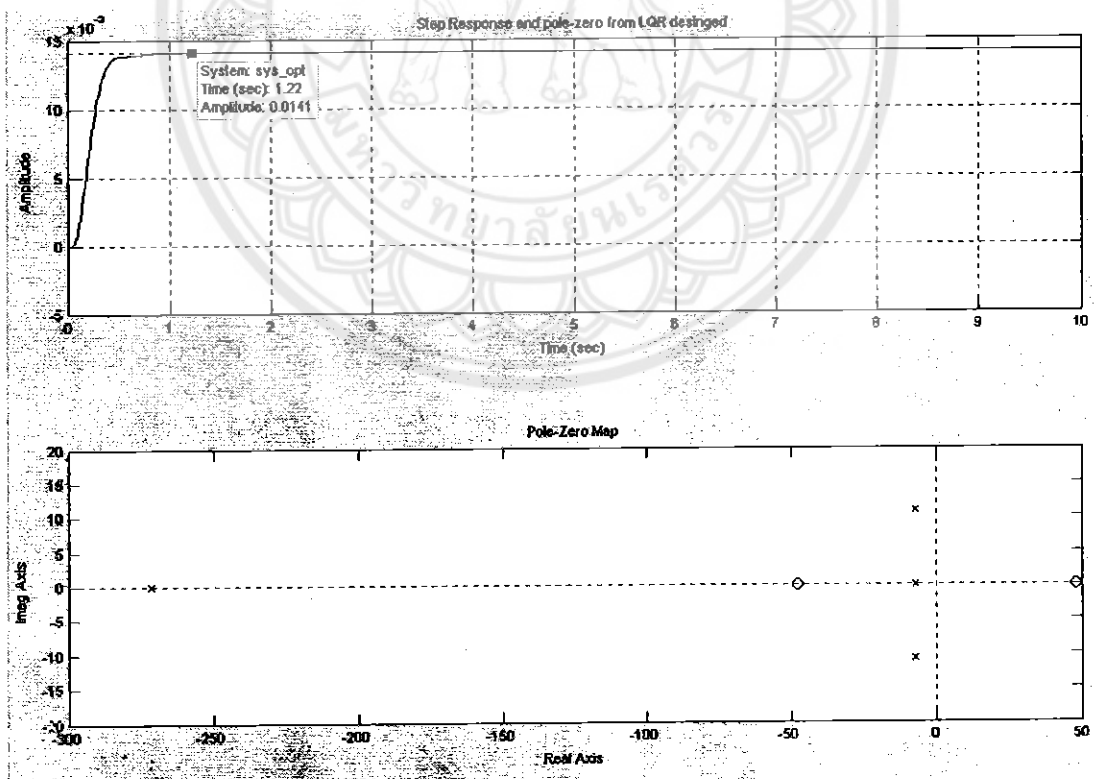
$$K = [70.7107 \ 16.0180 \ 188.4011 \ 4.5598]$$

ในกระบวนการสังเคราะห์ระบบเพื่อที่จะสามารถหาผลตอบสนองแบบหนึ่งหน่วยจะมีวิธีการดังต่อไปนี้

$$\frac{Y}{R} = C(sI - A + BK)^{-1}B \quad (3.2.11)$$

$$\frac{Y}{R} = \frac{-1.92 s^2 - 0.1899s + 4394}{s^4 + 292.4s^3 + 5957s^2 + 72755s + 310722}$$

โดยต้องไปตรวจสอบผลตอบสนองแบบหนึ่งหน่วยและดำเนินการแก้ไขข้อบกพร่องของระบบหลังจากการออกแบบโดยใช้วิธี LQR ซึ่งแสดงได้ดังรูป 3.17



รูปที่ 3.17 ผลตอบสนองแบบหนึ่งหน่วยของระบบหลังจากการออกแบบด้วยความคุณภาพป้อนกลับ

สถานะ

จากรูปที่ 3.17 จะเห็นได้ว่าผลตอบสนองแบบหนึ่งหน่วยหลังจากออกแบบตัวควบคุมแบบป้อนกลับสถานะเข้าไปในระบบจะมีเสถียรภาพที่ดีและดำเนินการอย่างซ้ำๆ แต่มีข้อเสียในเรื่องสมรรถนะของระบบจะเห็นได้ว่าผลตอบสนองแบบหนึ่งหน่วยจะมีความผิดพลาดในสภาวะคงที่ (error steady state) โดยมีขนาดประมาณ 0.0141 หน่วย ทำให้ผู้ออกแบบจึงต้องออกแบบอัตราขยายเข้าไป และเพื่อเป็นการลดเชยให้ผลตอบสนองมีสมรรถนะเพิ่มมากขึ้น โดยมีแผนผังกล่องแสดงตำแหน่งของอัตราขยายดังรูปที่ 3.6 และมีวิธีออกแบบ ดังต่อไปนี้

ค่าคงที่ของตำแหน่งในสภาวะคงที่(Static Position error:  $K_p$ )จะหามาได้จาก

$$K_p = \lim_{s \rightarrow 0} G(s)$$

$$K_p = \lim_{s \rightarrow 0} \frac{-1.92 s^2 - 0.1899s + 4394}{s^4 + 292.4s^3 + 5957s^2 + 72755s + 310722}$$

$$K_p = \frac{4394}{310722}$$

ทำให้ต้องออกแบบอัตราขยาย(Gain)  $K_c$  เพื่อทำให้ความผิดพลาดในสภาวะคงที่เป็น 0 ได้จาก

$$K_c = \frac{1}{K_p}$$

$$K_c = \frac{310722}{4394}$$

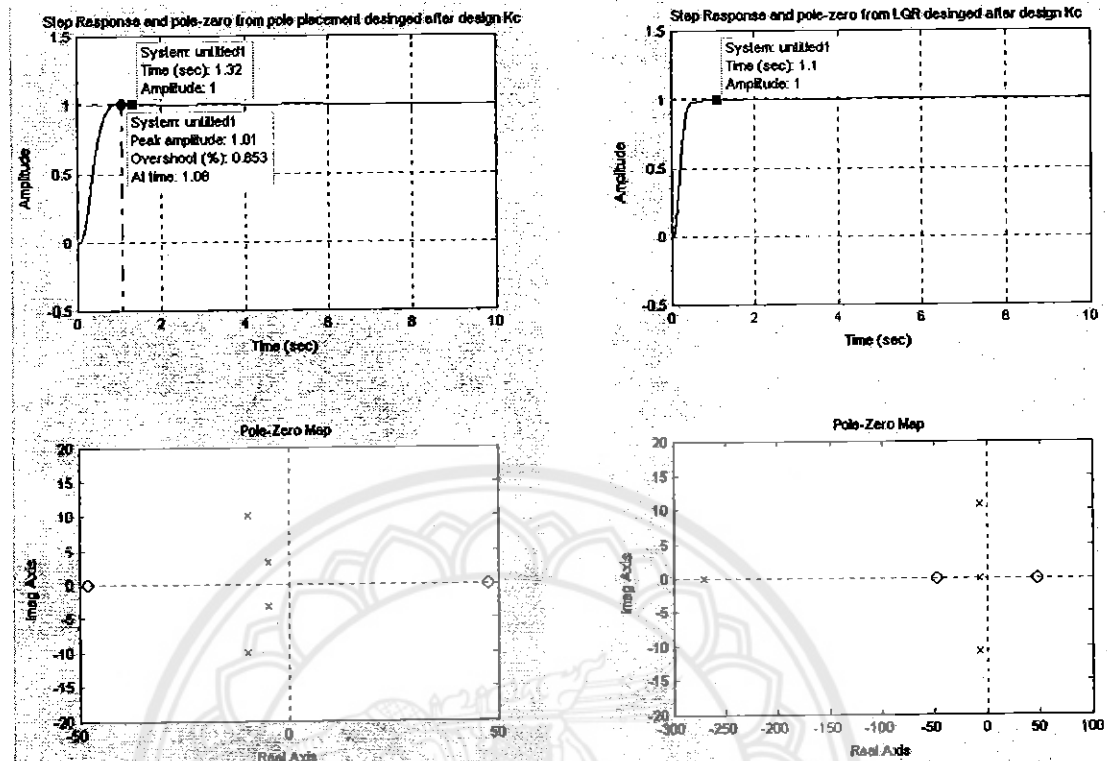
$$K_c = 70.7$$

จะสามารถเขียนพิงก์ชันต่อไปนี้ได้เป็น

$$\frac{Y}{R} = K_c \times \frac{-1.92 s^2 - 0.1899s + 4394}{s^4 + 292.4s^3 + 5957s^2 + 72755s + 310722}$$

$$\frac{Y}{R} = 70.7 \times \frac{-1.92 s^2 - 0.1899s + 4394}{s^4 + 292.4s^3 + 5957s^2 + 72755s + 310722}$$

หลังจากได้พิงก์ชันถ่ายโอนของระบบหลังจากออกแบบอัตราขยาย  $K_c$  เพื่อชดเชยความผิดพลาดในสภาวะคงที่แล้ว ต่อไปจะทำการตรวจสอบเสถียรภาพและสมรรถนะของระบบ โดยผลตอบสนองแบบหนึ่งหน่วยและตำแหน่งจั๊ว-ศูนย์ ซึ่งจะเปรียบเทียบกับผลที่ได้จากการออกแบบโดยใช้วิธีการวางแผนขั้วดังรูป 3.18



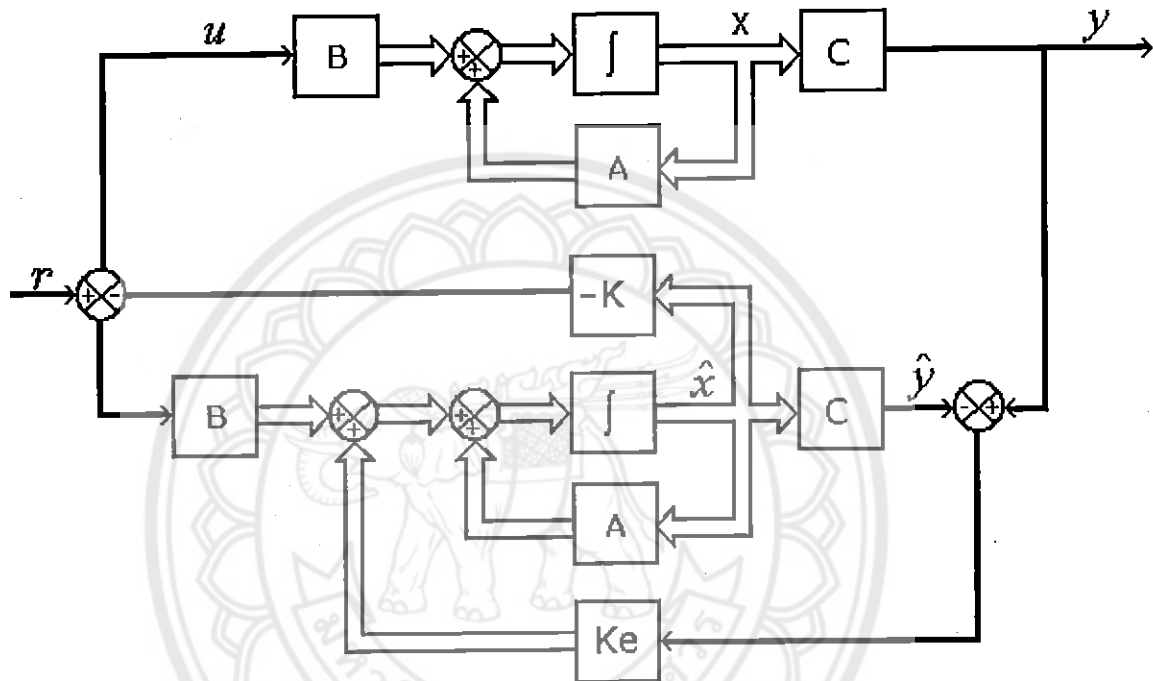
รูปที่ 3.18 เปรียบเทียบผลตอบสนองแบบหนึ่งหน่วยและตำแหน่งข้อต่อของระบบที่ได้จากการออกแบบโดยใช้วิธีการวางแผนข้อต่อและวิธี LQR

พิจารณารูปที่ 3.18 จะเห็นได้ว่าผลตอบสนองแบบหนึ่งหน่วยของระบบที่ได้จากการออกแบบโดยใช้วิธี LQR และวิธีการวางแผนข้อต่อ มีเวลาสู่สภาวะคงที่ที่เร็วและค่าสูงสุดของสัญญาณก่อนข้างต่ำ ซึ่งจะสามารถชินาบทดลองสนองที่ได้ในเชิงกายภาพของระบบแทนกลุ่มยนต์แบบอ่อนตัวได้ด้วย เมื่อผู้ออกแบบแบบออกแบบตัวควบคุมแบบป้อนกลับสถานะเข้าไปในระบบแล้วและเมื่อทำการทดสอบระบบหลังจากการออกแบบตัวควบคุมเข้าไปในระบบ โดยการป้อนสัญญาณเข้าเพื่อทำให้แทนกลุ่มยนต์แบบอ่อนตัวหมุนไปตามทิศทางที่ต้องการตามรูปที่ 3.1 ซึ่งจะเห็นได้ว่าระบบแทนกลุ่มยนต์แบบอ่อนตัวที่ออกแบบตัวควบคุมโดยใช้วิธี LQR จะใช้เวลาหมุนไปยังตำแหน่งอ้างอิงเพียง 1.1 วินาทีและไม่มีการแกว่ง และในระบบแทนกลุ่มยนต์แบบอ่อนตัวที่ออกแบบตัวควบคุมโดยใช้วิธีการวางแผนข้อต่อจะใช้เวลาหมุนไปยังตำแหน่งอ้างอิงประมาณ 1.32 วินาทีและจะมีการแกว่งเล็กน้อย ซึ่งถือได้ว่าผลที่ได้จากการออกแบบตัวควบคุมแบบป้อนกลับสถานะในระบบแทนกลุ่มยนต์แบบอ่อนตัวจะทำให้ระบบมีเสถียรภาพและสมรรถนะที่ดีขึ้น

### 3.3 การออกแบบตัวควบคุมแบบป้อนกลับสัญญาณข้ออกในระบบแบบกลุ่มหุ่นยนต์แบบอ่อนตัว

#### 3.3.1 การออกแบบตัวควบคุมแบบป้อนกลับสัญญาณข้ออกโดยใช้วิธีการวางแผนข้าม

ในการนี้สมมุติว่าผู้ออกแบบไม่ทราบตัวแปรสถานะทุกตัว ด้วยเหตุนี้ผู้ออกแบบจำเป็นต้องวัดสัญญาณข้ออก  $y$  เพื่อนำมาสังเคราะห์ตัวแปรสถานะ  $\hat{x}$  โดยที่แผนผังกล่องของระบบควบคุมแบบป้อนกลับสัญญาณข้ออกจะเป็นดังรูปที่ 3.19



รูปที่ 3.19 แผนผังกล่องของระบบควบคุมแบบป้อนกลับสัญญาณข้ออก

เนื่องจากตัวอย่างระบบที่กำหนดมา เป็น

$$\begin{bmatrix} \dot{x}_1 \\ \dot{x}_2 \\ \dot{x}_3 \\ \dot{x}_4 \end{bmatrix} = \begin{bmatrix} 0 & 1 & 0 & 0 \\ 0 & -4.22 & 0 & -13.81 \\ 0 & 0 & 0 & 1 \\ 0 & -13.81 & -559.78 & -45.21 \end{bmatrix} \begin{bmatrix} x_1 \\ x_2 \\ x_3 \\ x_4 \end{bmatrix} + \begin{bmatrix} 0 \\ 7.85 \\ 0 \\ 25.71 \end{bmatrix} u \quad (3.3.1)$$

$$y = [1 \ 0 \ -0.38 \ 0] \begin{bmatrix} x_1 \\ x_2 \\ x_3 \\ x_4 \end{bmatrix} + [0] u \quad (3.3.2)$$

ทราบมาแล้วว่าตัวอย่างระบบมีคุณสมบัติความสามารถควบคุมได้และความสามารถสังเกตได้ทำให้สามารถออกแบบระบบควบคุมแบบป้องกันสถานะกรณีมีตัวสังเกตได้โดยที่สัญญาณควบคุมสามารถเขียนได้เป็น

$$u = -K\hat{x} + r$$

$$u = -[K_1 \ K_2 \ K_3 \ K_4] \begin{bmatrix} \hat{x}_1 \\ \hat{x}_2 \\ \hat{x}_3 \\ \hat{x}_4 \end{bmatrix} + r \quad (3.3.3)$$

แทนสัญญาณควบคุมลงในสมการที่ 3.3.1 เขียนได้เป็น

$$\begin{bmatrix} \dot{x}_1 \\ \dot{x}_2 \\ \dot{x}_3 \\ \dot{x}_4 \end{bmatrix} = \begin{bmatrix} 0 & 1 & 0 & 0 \\ 0 & -4.22 & 0 & -13.81 \\ 0 & 0 & 0 & 1 \\ 0 & -13.81 & -559.78 & -45.21 \end{bmatrix} \begin{bmatrix} x_1 \\ x_2 \\ x_3 \\ x_4 \end{bmatrix} - \begin{bmatrix} 0 & 0 & 0 & 0 \\ 7.85K_1 & 7.85K_2 & 7.85K_3 & 7.85K_4 \\ 0 & 0 & 0 & 0 \\ 25.71K_1 & 25.71K_2 & 25.71K_3 & 25.71K_4 \end{bmatrix} \begin{bmatrix} \hat{x}_1 \\ \hat{x}_2 \\ \hat{x}_3 \\ \hat{x}_4 \end{bmatrix} + \begin{bmatrix} 0 \\ 7.85 \\ 0 \\ 25.71 \end{bmatrix} r \quad (3.3.4)$$

และเมื่อจากผู้ออกแบบไม่ทราบตัวแปรสถานะทุกตัวผู้ออกแบบจำเป็นต้องสังเคราะห์ตัวสังเกตสถานะดังนี้

$$\begin{bmatrix} \dot{\hat{x}}_1 \\ \dot{\hat{x}}_2 \\ \dot{\hat{x}}_3 \\ \dot{\hat{x}}_4 \end{bmatrix} = \begin{bmatrix} 0 & 1 & 0 & 0 \\ 0 & -4.22 & 0 & -13.81 \\ 0 & 0 & 0 & 1 \\ 0 & -13.81 & -559.78 & -45.21 \end{bmatrix} \begin{bmatrix} \hat{x}_1 \\ \hat{x}_2 \\ \hat{x}_3 \\ \hat{x}_4 \end{bmatrix} + \begin{bmatrix} 0 \\ 7.85 \\ 0 \\ 25.71 \end{bmatrix} u + \begin{bmatrix} K_{e1} \\ K_{e2} \\ K_{e3} \\ K_{e4} \end{bmatrix} \begin{bmatrix} 1 & 0 & -0.38 & 0 \end{bmatrix} \begin{bmatrix} x_1 \\ x_2 \\ x_3 \\ x_4 \end{bmatrix} - \begin{bmatrix} 1 & 0 & -0.38 & 0 \end{bmatrix} \begin{bmatrix} \hat{x}_1 \\ \hat{x}_2 \\ \hat{x}_3 \\ \hat{x}_4 \end{bmatrix} \quad (3.3.5)$$

$$\hat{y} = \begin{bmatrix} 1 & 0 & -0.38 & 0 \end{bmatrix} \begin{bmatrix} \hat{x}_1 \\ \hat{x}_2 \\ \hat{x}_3 \\ \hat{x}_4 \end{bmatrix} \quad (3.3.6)$$

ความผิดพลาด(error)ระหว่างสถานะ  $x$  กับสถานะ  $\hat{x}$

$$\begin{aligned} \dot{e} &= (A - K_e C)e \\ &= \left( \begin{bmatrix} 0 & 1 & 0 & 0 \\ 0 & -4.22 & 0 & -13.81 \\ 0 & 0 & 0 & 1 \\ 0 & -13.81 & -559.78 & -45.21 \end{bmatrix} - \begin{bmatrix} K_{e1} \\ K_{e2} \\ K_{e3} \\ K_{e4} \end{bmatrix} \begin{bmatrix} 1 & 0 & -0.38 & 0 \end{bmatrix} \right) e \\ &= \begin{bmatrix} -K_{e1} & 1 & 0.38K_{e1} & 0 \\ -K_{e2} & -4.22 & 0.38K_{e2} & -13.81 \\ -K_{e3} & 0 & 0.38K_{e3} & 1 \\ -K_{e4} & -13.81 & -559.78 + 0.38K_{e4} & -45.21 \end{bmatrix} e \end{aligned} \quad (3.3.7)$$

เขียนสมการสถานะและสมการสัญญาณข้ออกของสถานะ  $x$  และความผิดพลาด  $e$  ในรูป เมทริกซ์ได้เป็น

$$\begin{bmatrix} \dot{x} \\ \dot{e} \end{bmatrix} = \begin{bmatrix} A - BK & BK \\ 0 & A - K_e C \end{bmatrix} \begin{bmatrix} x \\ e \end{bmatrix} + \begin{bmatrix} B \\ 0 \end{bmatrix} r \quad (3.3.8)$$

สมการคุณลักษณะของระบบป้อนกลับสถานะกรณีมีตัวสังเกตสถานะ เขียนได้เป็น

$$\begin{vmatrix} sI - A + BK & -BK \\ 0 & sI - A + K_e C \end{vmatrix} = 0$$

$$|sI - A + BK| |sI - A + K_e C| = 0 \quad (3.3.9)$$

จากสมการคุณลักษณะ จะเห็นได้ว่าการออกแบบตำแหน่งชี้วิธีของการป้อนกลับตัวแปรสถานะ และการออกแบบตำแหน่งชี้วิธีของตัวสังเกตตัวแปรสถานะสามารถพิจารณาแยกกันได้ สำหรับการออกแบบตำแหน่งชี้วิธีของการป้อนกลับนั้น ผู้ออกแบบจะวางชี้วิธีที่ตำแหน่งเดิม นั้นคือที่ตำแหน่ง  $-4.86 \pm j3.14, 10 \pm j10$  ในการวางตำแหน่งชี้วิธีของตัวสังเกตนิยมวางให้ส่วนจริงของตำแหน่งชี้วิธี

ขนาดปะรณะ 2-5 เท่าของขนาดของส่วนจริงของข้อที่ผู้ออกแบบต้องการดังนี้จะวางข้อของตัวสังเกตไว้ที่  $-20, -20, -22, -22$  ดังนั้นเราจะได้ว่า

$$\begin{vmatrix} s & -1 & 0 & 0 \\ 7.85K_1 & s+4.22+7.85K_2 & 7.85K_3 & 13.81+7.85K_4 \\ 0 & 0 & s & -1 \\ 25.71K_1 & 13.81+25.71K_2 & 559.78+25.71K_3 & s+45.21+25.71K_4 \end{vmatrix} = \\ (s+4.86+j3.14)(s+4.86-j3.14)(s+10+j10)(s+10-j10)$$

นั่นคือ

$$s^4 + (25.71K_4 + 7.85K_2 + 49.43)s^3 + (0.0877K_4 + 25.71K_3 - 0.1566K_2 + 7.85K_1 + 559.85)s^2 + \\ (0.0877K_3 + 4394.27K_2 - 0.1566K_1 + 2362.27)s + 4394.27K_1 = \\ s^4 + 29.72s^3 + 427.88s^2 + 2613.58s + 6695.84 \quad (3.3.10)$$

$$\begin{vmatrix} s+K_{e1} & -1 & -0.38K_{e1} & 0 \\ K_{e2} & s+4.22 & -0.38K_{e2} & 13.81 \\ K_{e3} & 0 & s-0.38K_{e3} & -1 \\ K_{e4} & 13.81 & 559.78-0.38K_{e4} & s+45.21 \end{vmatrix} = (s+20)^2(s+22)^2$$

นั่นคือ

$$s^4 + (-0.38K_3 + K_1 + 49.43)s^3 + (-0.38K_4 - 18.78K_3 + K_2 + 49.43K_1 + 559.85)s^2 + \\ (-15.41K_4 - 0.0266K_3 + 50.45K_2 + 559.85K_1 + 2362.3)s + 7730.6K_3 + 559.78K_2 + 2362.3K_1 = \\ s^4 + 84s^3 + 2644s^2 + 36960s + 193600 \quad (3.3.11)$$

เมื่อเทียบสัมประสิทธิ์แล้ว จะได้อัตราขยาย(Gain)  $K, K_e$  ออกมานี้

$$K = [1.5238 \quad 0.0574 \quad -5.5953 \quad -0.784]$$

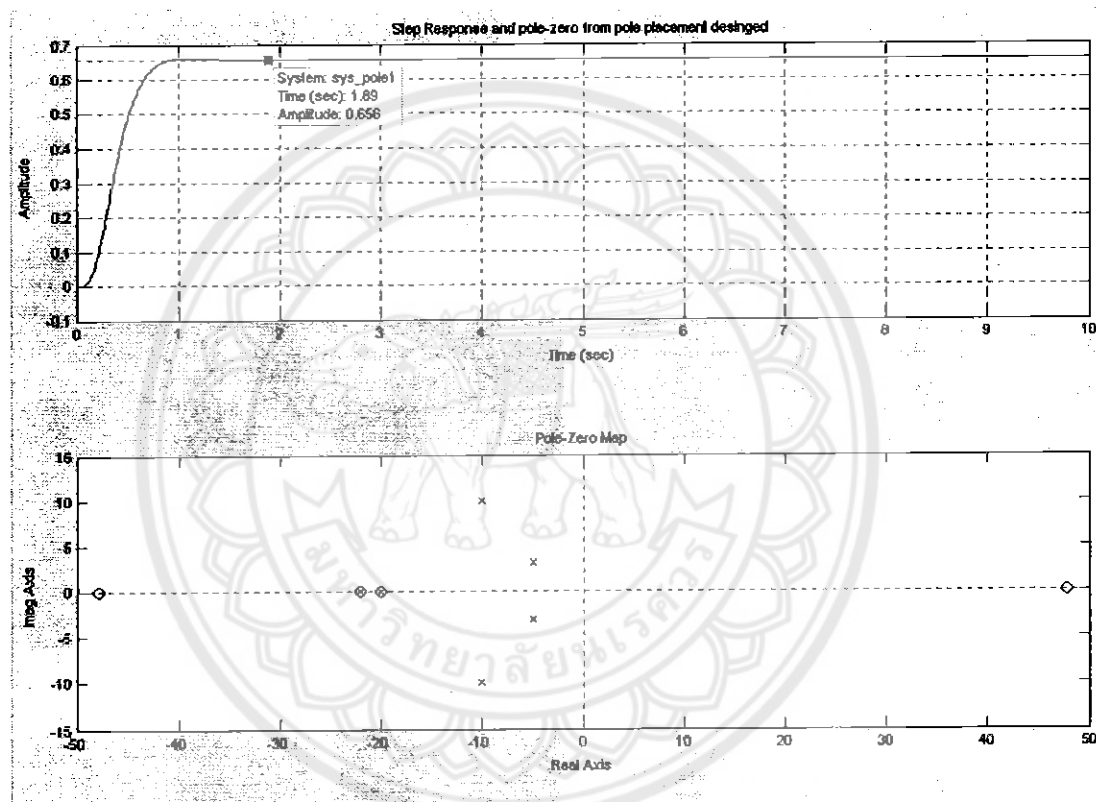
$$K_e = \begin{bmatrix} 22.1938 \\ 701.9687 \\ -32.5689 \\ 859.5103 \end{bmatrix}$$

จะสามารถหาพังก์ชันถ่ายโอนของระบบหลังจากออกแบบตัวควบคุมแบบป้อนกลับสถานะได้จาก

$$\frac{Y}{R} = [C \quad 0] \begin{bmatrix} sI - A + BK & -BK \\ 0 & sI - A + K_e C \end{bmatrix}^{-1} \begin{bmatrix} B \\ 0 \end{bmatrix}$$

$$\frac{Y}{R} = \frac{-1.92 s^6 - 161.5 s^5 - 697.6 s^4 + 297700 s^3 + 11240000 s^2 + 162400000 s + 850700000}{s^8 + 113.7 s^7 + 5568 s^6 + 154100 s^5 + 2.65 \times 10^6 s^4 + 2.90 \times 10^7 s^3 + 1.971 \times 10^8 s^2 + 7.535 \times 10^8 s + 1.296 \times 10^9}$$

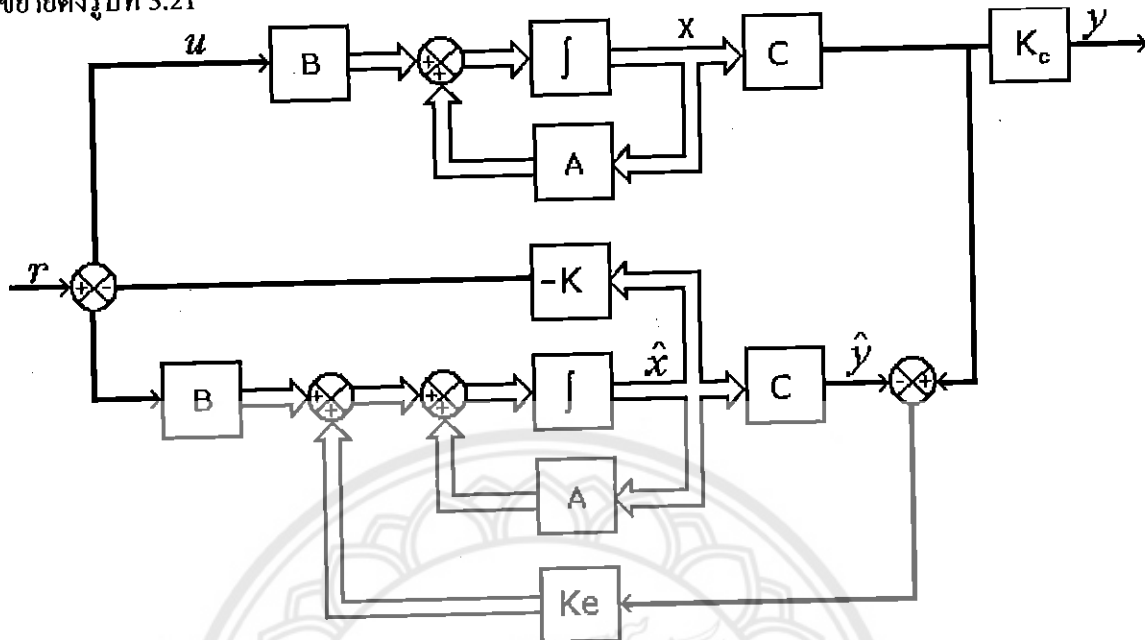
และจะตรวจสอบเสถียรภาพและสมรรถนะของระบบหลังจากการออกแบบตัวควบคุม โดยจะได้ผลตอบสนอง เป็นดังรูป 3.20



รูปที่ 3.20 ผลตอบสนองแบบหนึ่งหน่วยของระบบหลังจากการออกแบบตัวควบคุมแบบป้อนกันตัวสัญญาณขาออก

จากรูปที่ 3.20 เมื่อพิจารณาข้อดีของห้องเรียน ได้ว่าจะมีตำแหน่งศูนย์ทับอยู่ที่ตำแหน่งขั้วของตัวสังเกตสถานะที่ผู้ออกแบบเลือกว่างไว้ที่  $-20, -20, -22, -22$  ด้วย โดยลักษณะที่ตำแหน่งศูนย์และขั้วของห้องกันแบบนี้จะเรียกว่า การตัดกันของขั้วและศูนย์ (pole-zero Cancellation) ซึ่งลักษณะแบบนี้จะทำให้ตำแหน่งขั้วที่ถูกห้องกันด้วยศูนย์นั้นจะไม่มีผลใดๆ กับระบบและช่วยกันเมื่อพิจารณาปิดตอบสนองแบบหนึ่งหน่วยจะเห็นได้ว่าผลตอบสนองแบบหนึ่งหน่วยจะมีความผิดพลาดในสภาวะคงที่ (error steady state) โดยมีขนาดประมาณ 0.656 หน่วย ทำให้ผู้ออกแบบจึงต้องออกแบบอัตราขยายเข้าไป และ

เพื่อเป็นการชดเชยให้ผลตอบสนองมีสมรรถนะเพิ่มมากขึ้น โดยมีแผนผังกล่องแสดงตำแหน่งของอัตราขยายดังรูปที่ 3.21



รูปที่ 3.21 แผนภาพกล่องของระบบควบคุมแบบป้อนกลับสัญญาณข้ออกเมื่อออกราบบกับอัตราขยาย  $K_c$

หลักการออกราบบค่าอัตราขยาย  $K_c$  เจ้าไปเพื่อชดเชยความผิดพลาดที่สภาวะสมดุลให้ผลตอบสนองแบบหนึ่งหน่วยมีค่าเป็นหนึ่ง ซึ่งมีวิธีหาดังนี้

ค่าคงที่ของตำแหน่งในสภาวะคงที่(Static Position error:  $K_p$ )จะหามาได้จาก

$$K_p = \lim_{s \rightarrow 0} G(s)$$

$$K_p = \lim_{s \rightarrow 0} [(-1.92 s^6 - 161.5 s^5 - 697.6 s^4 + 297700 s^3 + 11240000 s^2 + 162400000 s + 850700000) \div s^8 + 113.7 s^7 + 5568 s^6 + 154100 s^5 + 2.65 \times 10^6 s^4 + 2.90 \times 10^7 s^3 + 1.971 \times 10^8 s^2 + 7.535 \times 10^8 s + 1.296 \times 10^9]$$

$$K_p = \frac{850700000}{1.296 \times 10^9}$$

ทำให้ต้องออกราบบอัตราขยาย(Gain)  $K_c$  เพื่อทำให้ความผิดพลาดในสภาวะคงที่เป็น 0 ได้จาก

$$K_c = \frac{1}{K_p}$$

$$K_p = \frac{1.296 \times 10^9}{850700000}$$

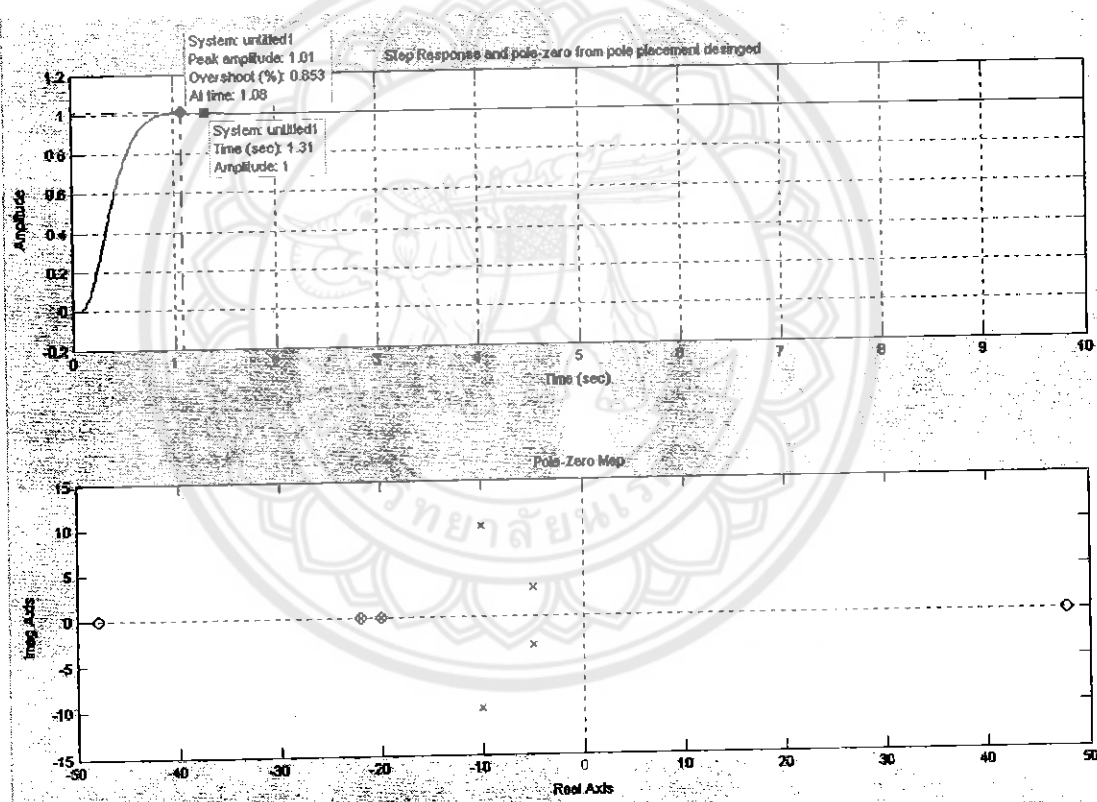
$$K_c = 1.52$$

จะสามารถเขียนฟังก์ชันถ่ายโอนใหม่ได้เป็น

$$\frac{Y}{R} = \frac{K_c \times (-1.92 s^6 - 161.5 s^5 - 697.6 s^4 + 297700 s^3 + 11240000 s^2 + 162400000 s + 850700000)}{s^8 + 113.7 s^7 + 5568 s^6 + 154100 s^5 + 2.65 \times 10^6 s^4 + 2.90 \times 10^7 s^3 + 1.971 \times 10^8 s^2 + 7.535 \times 10^8 s + 1.296 \times 10^9}$$

$$\frac{Y}{R} = \frac{1.52 \times (-1.92 s^6 - 161.5 s^5 - 697.6 s^4 + 297700 s^3 + 11240000 s^2 + 162400000 s + 850700000)}{s^8 + 113.7 s^7 + 5568 s^6 + 154100 s^5 + 2.65 \times 10^6 s^4 + 2.90 \times 10^7 s^3 + 1.971 \times 10^8 s^2 + 7.535 \times 10^8 s + 1.296 \times 10^9}$$

หลังจากได้ฟังก์ชันถ่ายโอนของระบบหลังจากออกแบบอัตราขยาย  $K_c$  เพื่อชดเชยความผิดพลาดในสภาวะคงที่แล้ว ต่อไปจะทำการตรวจสอบเสถียรภาพและสมรรถนะของระบบ โดยผลตอบสนองแบบหนึ่งหน่วยและดำเนินการขึ้น-ศูนย์จะเป็นดังรูป 3.22



รูปที่ 3.22 ผลตอบสนองแบบหนึ่งหน่วยของระบบหลังจากการออกแบบตัวควบคุมแบบป้อนกลับสัญญาณข้ออกและออกแบบ  $K_c$  เข้าไป

พิจารณารูปที่ 3.22 จะเห็นว่าสมรรถนะของระบบหลังจากการออกแบบค่า  $K_c$  เข้าไปในระบบจะทำให้ลดความผิดพลาดในสภาวะคงที่(error steady state)ในขณะที่คุณสมบัติอื่นๆ ที่ต้องออกแบบ อาทิ ค่าสูงสุดของสัญญาณ(Overshoot),เวลาสูงสุด(peak Time)และเวลาสู่สภาวะคงที่ ที่ยังคงเหลือเดิม

### 3.3.2 การออกแบบตัวควบคุมแบบป้อนกลับสัญญาณขาออกที่มีสัญญาณรบกวนความถี่สูงโดยใช้

#### วิธีLQG

ในการออกแบบระบบควบคุมแบบป้อนกลับสัญญาณขาออกที่เกี่ยวข้องกับสัญญาณรบกวนความถี่สูงแบบขาว(White noise) โดยใช้หลักการLQGนี้ ซึ่งขั้นตอนที่ถือว่ายากที่สุดก็คือการเลือก  $Q, R$  โดยที่ขั้นตอนการออกแบบจะเป็น ดังนี้

แบบจำลองในรูปปัจจุบันสถานะ(State Space) ดังนี้

$$\begin{bmatrix} \dot{x}_1 \\ \dot{x}_2 \\ \dot{x}_3 \\ \dot{x}_4 \end{bmatrix} = \begin{bmatrix} 0 & 1 & 0 & 0 \\ 0 & -4.22 & 0 & -13.81 \\ 0 & 0 & 0 & 1 \\ 0 & -13.81 & -559.78 & -45.21 \end{bmatrix} \begin{bmatrix} x_1 \\ x_2 \\ x_3 \\ x_4 \end{bmatrix} + \begin{bmatrix} 0 \\ 7.85 \\ 0 \\ 25.71 \end{bmatrix} u + \begin{bmatrix} 1 \\ 1 \\ 1 \\ 1 \end{bmatrix} w$$

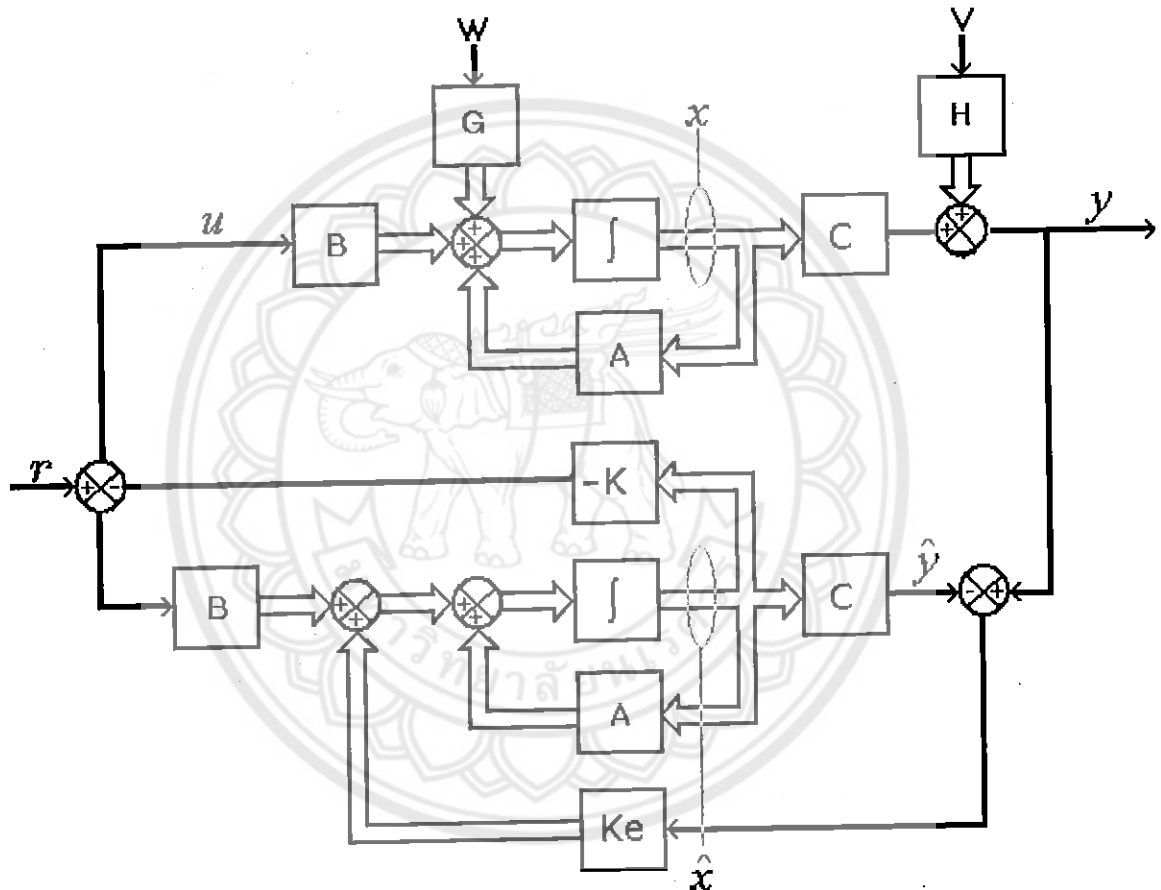
$$y = [1 \ 0 \ -0.38 \ 0] \begin{bmatrix} x_1 \\ x_2 \\ x_3 \\ x_4 \end{bmatrix} + [0] u + [1] v$$

ในการนี้การออกแบบระบบควบคุมแบบLQG ระบบต้องมีคุณสมบัติความสามารถควบคุมได้ และความสามารถถังเกตได้ ซึ่งวิธีการหาค่า  $K, K_e$  นั้น โดยขั้นแรกต้องทำการเลือก  $Q, R$  และกำหนดค่า  $G, W, H, V$  แล้วจึงแก้สมการริบค่าติดเชิงพีชคณิตและแก้สมการตัวกรองของริบค่าติดเชิงพีชคณิตเพื่อหาค่า  $P$  และก็จะได้ค่า  $K, K_e$  ทั้งสองอย่างมา ซึ่งรายละเอียดจะอยู่ในหัวข้อ 2.4.5และ2.4.6 ซึ่งในขั้นตอนการหาค่า  $K, K_e$  ผู้ออกแบบจะคำนวณโดยใช้โปรแกรมMATLAB ซึ่งในการเลือก  $Q, R$  จะพิจารณาจากผลตอบสนองของระบบ ซึ่งทำให้ผู้ออกแบบทำการวิเคราะห์เสถียรภาพและสมรรถนะความถี่ไปด้วย กันและจะเปรียบเทียบผลตอบสนองที่ได้กับการออกแบบโดยใช้วิธีการวางแผนขั้วอิกคีวี

ในการวิเคราะห์เสถียรภาพและสมรรถนะหลังจากการออกแบบนั้น ค่อนข้างจะมีหลากหลายวิธี โดยในส่วนของโครงงานนี้ จะนำเสนอการวิเคราะห์ผลในรูปแบบต่างๆ ได้แก่ การตรวจสอบเส้นทางการเคลื่อนที่ของสถานะ(State Trajectory), ปริมาณการใช้สัญญาณควบคุม(Control Signal afford: u), ผลตอบสนองแบบหนึ่งหน่วย(Step Response), ตำแหน่งขั้วและศูนย์(Pole and zero) ซึ่งรายละเอียดต่างๆ จะแสดงให้ทราบดังนี้

### 3.3.2.1 การตรวจสอบเส้นทางการเคลื่อนที่ของสถานะ (State Trajectory)

ในการตรวจสอบเส้นทางการเคลื่อนที่ของสถานะของระบบ ซึ่งการออกแบบระบบควบคุมที่ดีจะต้องออกแบบให้ตัวแปรสถานะจริง  $x$  และตัวสังเกตตัวแปรสถานะ  $\hat{x}$  มีค่าเข้าใกล้กันมากที่สุดและในขณะเดียวกันต้องมีเสถียรภาพและสมรรถนะที่ดีด้วย ซึ่งก็คือในสภาวะที่ไม่มีการป้อนสัญญาณเข้า และเมื่อกำหนดค่าสภาวะเริ่มต้นของตัวแปรสถานะจริง  $x$  และตัวสังเกตตัวแปรสถานะ  $\hat{x}$  แล้ว เวลาที่สถานะคงที่(Steady state)เส้นทางการเคลื่อนที่ของตัวแปรสถานะทั้งคู่จะมีค่านิ่ง  $0$  ให้เร็วที่สุดและมีค่าเข้าใกล้กันมากที่สุดนั่นเอง



รูปที่ 3.23 แผนผังกล่องแสดงตำแหน่งในการตรวจสอบเส้นทางการเคลื่อนที่ของสถานะ

ตัวแปรสถานะ  $x$  จะเขียนในปริภูมิสถานะ(State Space)ได้เป็น

$$\dot{x} = Ax + Bu + Gw \quad (3.3.12)$$

$$y = Cx + Hv \quad (3.3.13)$$

ตัวแปรสถานะ  $\hat{x}$  จะเขียนในปริภูมิสถานะ(State Space)ได้เป็น

$$\dot{\hat{x}} = A\hat{x} + Bu + K_e(Cx + Hv - C\hat{x}) \quad (3.3.14)$$

$$\hat{y} = C\hat{x} \quad (3.3.15)$$

สัญญาณควบคุมของระบบควบคุมแบบป้อนกลับสถานะในการผึ่งตัวสังเกตสถานะเขียนได้เป็น

$$u = -K\hat{x} + r \quad (3.3.16)$$

แทนสัญญาณควบคุมในสมการที่ 3.3.12 และ 3.3.14 และขั้นตอนการจะเขียนได้เป็น

$$\dot{x} = Ax - BK\hat{x} + Br + Gw \quad (3.3.17)$$

$$\hat{x} = (A - BK - K_e C)\hat{x} + K_e Cx + Br + K_e Hv \quad (3.3.18)$$

เขียนอยู่ในรูปแมตริกซ์

$$\begin{bmatrix} \dot{x} \\ \hat{x} \end{bmatrix} = \begin{bmatrix} A & -BK \\ K_e C & A - BK - K_e C \end{bmatrix} \begin{bmatrix} x \\ \hat{x} \end{bmatrix} + \begin{bmatrix} B \\ B \end{bmatrix} r + \begin{bmatrix} G & 0 \\ 0 & K_e H \end{bmatrix} \begin{bmatrix} w \\ v \end{bmatrix} \quad (3.3.19)$$

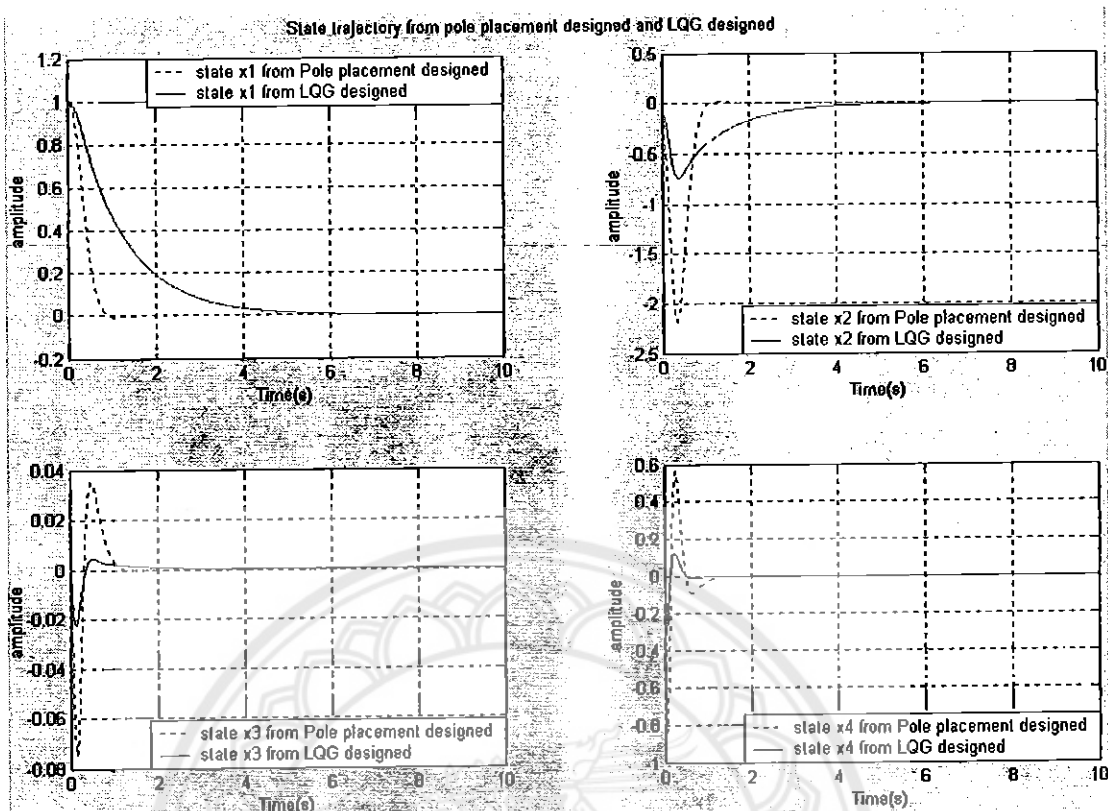
$$y = [C \ 0] \begin{bmatrix} x \\ \hat{x} \end{bmatrix} + Hv \quad (3.3.20)$$

โดยในการตรวจสอบ เราจะกำหนดเงื่อนไขต่อไปนี้

- ไม่มีการป้อนสัญญาณขาเข้า  $r = 0$
- กำหนดสถานะเริ่มต้น(Initial state)ของตัวแปรสถานะแต่ละตัวเท่ากับ  $x_1(0) = 1$ ,  $x_2(0) = 0$ ,  $x_3(0) = 0$ ,  $x_4(0) = 0$ ,  $\hat{x}_1(0) = 1$ ,  $\hat{x}_2(0) = 0$ ,  $\hat{x}_3(0) = 0$ ,  $\hat{x}_4(0) = 0$
- การออกแบบโดยใช้วิธีการวางแผนขั้วซึ่งได้ออกแบบมาแล้วโดยวางตำแหน่งขั้วของตัวแปรสถานะจริง  $x$  ไว้ที่  $-4.86 \pm j3.14, 10 \pm j10$  และตัวสังเกตตัวแปรสถานะ  $\hat{x}$  ไว้ที่  $-20, -20, -22, -22$
- กำหนดค่าความแปรปรวนร่วมเกี่ยวกับ  $W = 0.01, V = 0.01$

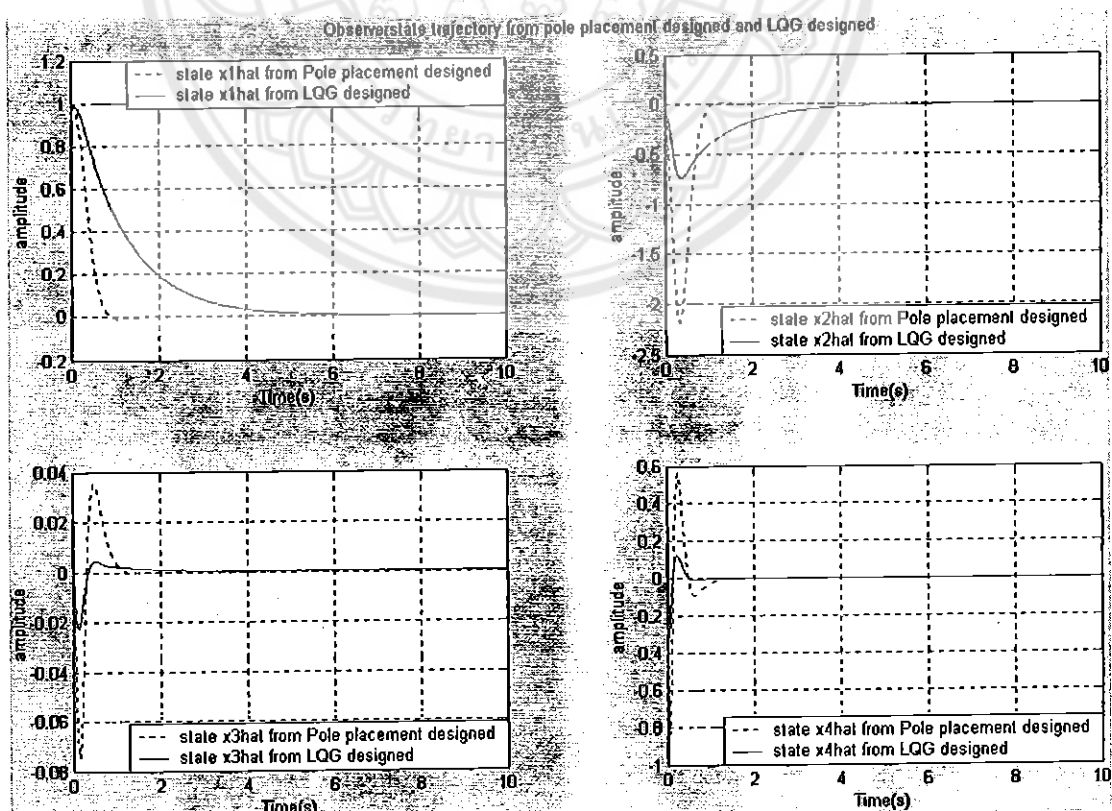
สำหรับการออกแบบโดยใช้วิธี LQG ขั้นแรกจะทำการเลือก  $Q = \begin{bmatrix} 1 & 0 & 0 & 0 \\ 0 & 1 & 0 & 0 \\ 0 & 0 & 1 & 0 \\ 0 & 0 & 0 & 1 \end{bmatrix}$ ,  $R = [1]$

ก่อน จะทำให้ได้เส้นทางการเคลื่อนที่ของสถานะออกแบบ ดังรูป

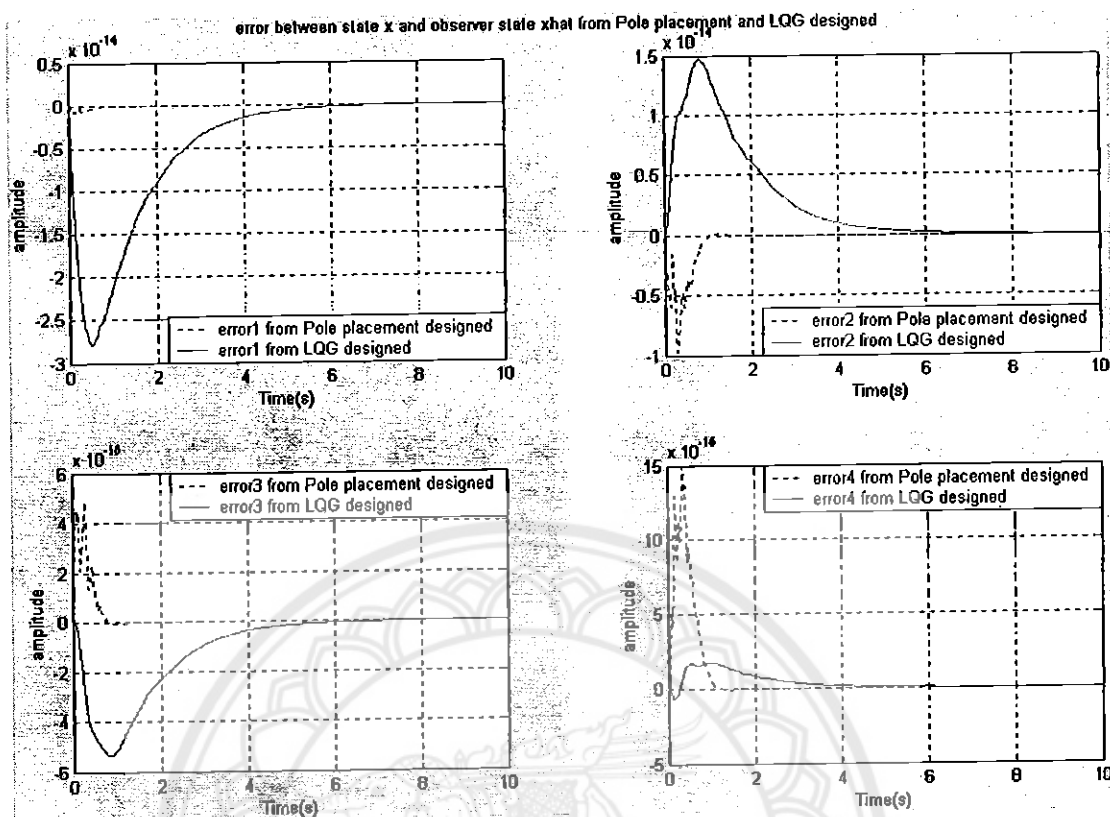


รูปที่ 3.24 เส้นทางการเคลื่อนที่ของตัวแปรสถานะ  $x$  กรณี  $Q = [q_{11} = 1, q_{22} = 1, q_{33} = 1, q_{44} = 1]$

$$R = [1]$$



รูปที่ 3.25 เส้นทางการเคลื่อนที่ของตัวสังเกต  $\hat{x}$  กรณี  $Q = [q_{11} = 1, q_{22} = 1, q_{33} = 1, q_{44} = 1]$   $R = [1]$



รูปที่ 3.26 ความผิดพลาด(error)ระหว่างตัวแปรสถานะ  $x$  และตัวสังเกต  $\hat{x}$   
จากการคำนวณในโปรแกรมMATLABจะได้ เมทริกซ์  $\bar{P}$ ,  $P_f$  และ  $K_e$  เป็น

$$\bar{P} = \begin{bmatrix} 1.2902 & 0.1878 & 1.9770 & -0.0184 \\ 0.1878 & 0.1622 & 1.6228 & -0.0202 \\ 1.9770 & 1.6228 & 28.5894 & -0.0942 \\ -0.0184 & -0.0202 & -0.0942 & 0.0146 \end{bmatrix}$$

$$P_f = \begin{bmatrix} 0.0342 & 0.0543 & -0.0005 & -0.0118 \\ 0.0543 & 0.2437 & -0.0006 & -0.0848 \\ -0.0005 & -0.0006 & 0.0006 & -0.0050 \\ -0.0118 & -0.0848 & -0.0050 & 0.0875 \end{bmatrix}$$

$$K_e = \begin{bmatrix} 3.4424 \\ 5.4465 \\ -0.0683 \\ -0.9895 \end{bmatrix}$$

ดังนั้นค่าตัวบ่งชี้สมรรถนะที่น้อยที่สุด

$$V_{s\_opt} = Tr\{\bar{P}K_eHVH^*K_e^*\} + Tr\{P_fQ\}$$

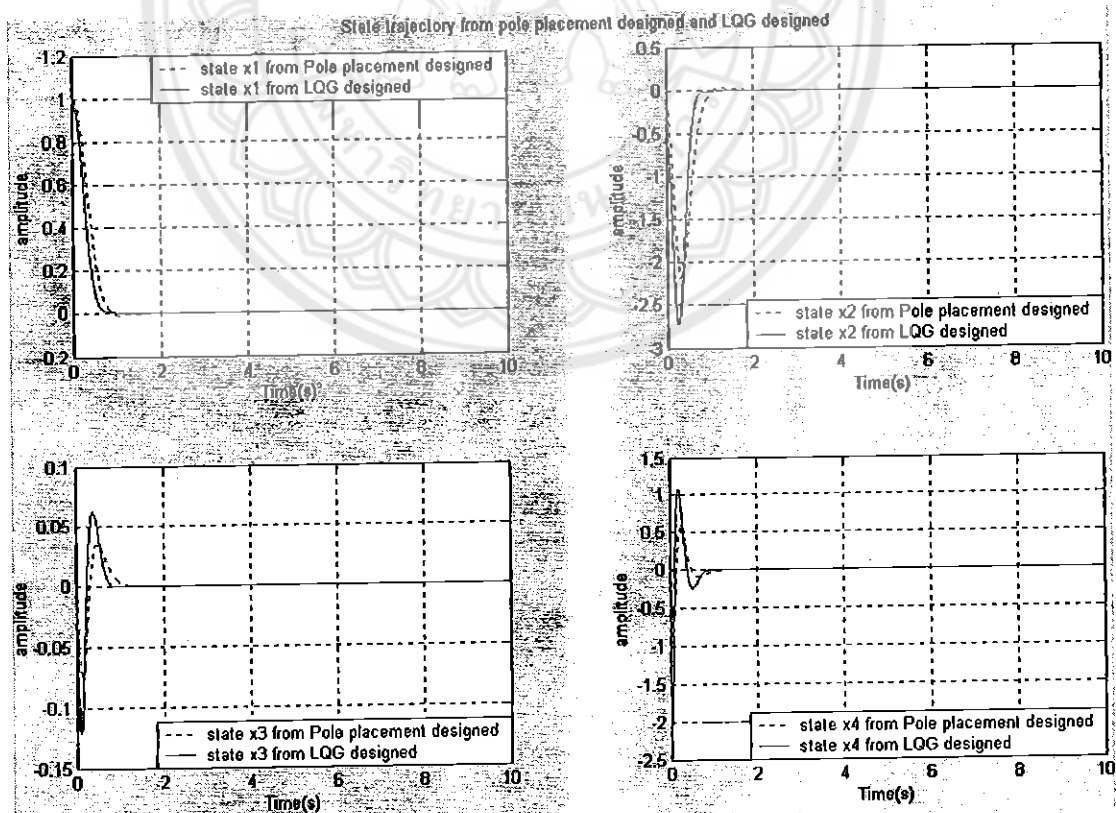
$$V_{s\_opt} = 0.6208$$

จากรูปที่ 3.24 จะเป็นรูปเส้นทางการเคลื่อนที่ของสถานะจริง  $x$  ที่มาจากการออกแบบทั้ง 2 แบบและรูปที่ 3.25 จะเป็นรูปเส้นทางการเคลื่อนที่ของสถานะสังเกต  $\hat{x}$  ที่มาจากการออกแบบทั้ง 2 แบบ ซึ่งจะเห็นได้ว่าตัวแปรสถานะจริง  $x$  และตัวแปรสถานะสังเกต  $\hat{x}$  จะมีค่าใกล้เคียงกันมากโดยความแตกต่างของตัวแปรสถานะ  $x$  และตัวแปรสถานะ  $\hat{x}$  จะมีค่าน้อยมากโดยแสดงในรูปที่ 3.26 ซึ่งถือว่าเป็นการออกแบบที่ดี

เมื่อพิจารณารูปที่ 3.24 จะเห็นได้ว่าจะเป็นรูปเส้นทางการเคลื่อนที่ของสถานะ  $x$  ที่มาจากการออกแบบทั้ง 2 แบบนี้จะเห็นได้ว่าระบบที่ได้จากการออกแบบมีเสถียรภาพที่ดีทั้งคู่ แต่จะเห็นได้ว่าเส้นทางการเคลื่อนที่ตัวแปรสถานะ  $x_1$  ที่ได้จากการออกแบบโดยใช้วิธี LQG ค่อนข้างจะมีเวลาเข้าสู่ 0 ที่ช้ากว่าการออกแบบโดยใช้วิธีการวางแผนข้ออ่ายอ้าง เนื่องจากเส้นทางการเคลื่อนที่ของตัวแปรสถานะอื่นๆ จะมีเวลาเข้าสู่สภาวะคงที่ใกล้เคียงกัน ดังนั้นผู้ออกแบบจึงจะทำการเลือก  $q_{11}$  ที่มีผลต่อตัวแปรสถานะ  $x_1$  ให้มากกว่าเดิม

$$\text{โดยต้องไปทำการเลือก } Q = \begin{bmatrix} 50 & 0 & 0 & 0 \\ 0 & 1 & 0 & 0 \\ 0 & 0 & 1 & 0 \\ 0 & 0 & 0 & 1 \end{bmatrix}, R = [1] \text{ ก่อน จะทำให้ได้เส้นทางการเคลื่อนที่}$$

ของสถานะอุกมาดังรูป



รูปที่ 3.27 เส้นทางการเคลื่อนที่ของสถานะ  $x$  เมื่อ  $Q = [q_{11} = 50, q_{22} = 1, q_{33} = 1, q_{44} = 1]$   $R = [1]$

จากการคำนวณในโปรแกรมMATLAB จะได้ เมทริกซ์  $\bar{P}, P_f$  และ  $K_e$  เป็น

$$\bar{P} = \begin{bmatrix} 15.1694 & 1.6563 & 13.2363 & -0.2307 \\ 1.6563 & 0.3565 & 3.2994 & -0.0463 \\ 13.2363 & 3.2994 & 44.5402 & -0.2970 \\ -0.2307 & -0.0463 & -0.2970 & 0.0185 \end{bmatrix}$$

$$P_f = \begin{bmatrix} 0.0342 & 0.0543 & -0.0005 & -0.0118 \\ 0.0543 & 0.2437 & -0.0006 & -0.0848 \\ -0.0005 & -0.0006 & 0.0006 & -0.0050 \\ -0.0118 & -0.0848 & -0.0050 & 0.0875 \end{bmatrix}$$

$$K_e = \begin{bmatrix} 3.4424 \\ 5.4465 \\ -0.0683 \\ -0.9895 \end{bmatrix}$$

ดังนั้นค่าตัวบ่งชี้สมรรถนะที่น้อยที่สุด

$$V_{s\_opt} = Tr \{ \bar{P} K_e H V H^* K_e^* \} + Tr \{ P_f Q \}$$

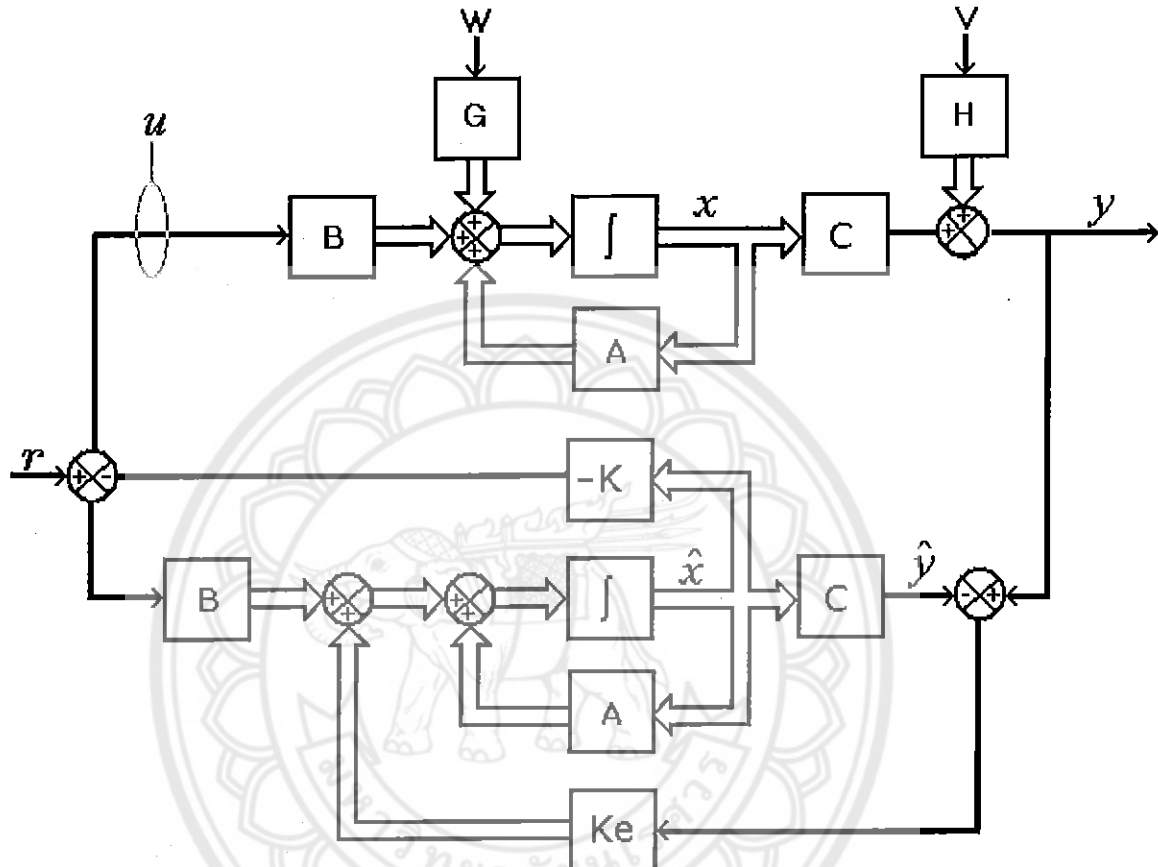
$$V_{s\_opt} = 4.5044$$

จากรูปที่ 3.27 จะเห็นได้ว่าเมื่อเราเลือก  $q_{11}$  มากกว่าเดิมจะมีผลโดยตรงกับตัวแปรสถานะ  $x_1$  โดยจะทำให้เส้นทางการเคลื่อนที่ของตัวแปรสถานะ  $x_1$  มีเวลาเข้าสู่ 0 ที่เร็วกว่าเดิมและเมื่อพิจารณาเส้นทางการเคลื่อนที่ของตัวแปรสถานะอื่นๆ ก็จะมีเวลาเข้าสู่ 0 ที่เร็วกว่าเดิมเช่นเดียวกัน

ซึ่งสรุปได้ว่าในการตรวจสอบเส้นทางการเคลื่อนที่ของสถานะที่ได้จากการออกแบบระบบควบคุมแบบตัวสังเกตสถานะในแบบกลทุนยนต์แบบอ่อนตัวโดยใช้วิธี LQG จะทำให้ระบบมีเส้นทางการเคลื่อนที่ของสถานะจริง  $x$  และสถานะสังเกต  $\hat{x}$  มีค่าเข้าใกล้กันและมีเวลาเข้าสู่สภาวะคงที่ที่เร็ว ซึ่งจะได้ค่าการเลือก  $Q$  ที่เหมาะสมเป็น  $Q = [q_{11} = 50, q_{22} = 1, q_{33} = 1, q_{44} = 1]$

### 3.3.3.2 ปริมาณการใช้สัญญาณควบคุม (Control Signal affords: U)

ในการตรวจสอบสมรรถนะของระบบอีกแบบหนึ่งนอกเหนือจากการสังเกตเวลาที่สถานะเข้าสู่สภาวะคงที่แล้ว ก็คือการหาปริมาณการใช้สัญญาณควบคุม ซึ่งสิ่งนี้หมายถึงปริมาณการใช้พลังงานที่ต้องป้อนให้กับระบบ ซึ่งการออกแบบระบบที่ดีควรจะมีการใช้สัญญาณควบคุมที่น้อยที่สุด



รูปที่ 3.28 แผนผังกล่องแสดงตำแหน่งในการวัดปริมาณการใช้สัญญาณควบคุม

จากรูปที่ 3.28 สมมุติให้สัญญาณขาเข้าเป็นศูนย์ จึงสามารถเขียนสัญญาณควบคุมได้เป็น

$$\begin{aligned} u &= r - k\hat{x} \\ u &= -(k_1\hat{x}_1 + k_2\hat{x}_2 + k_3\hat{x}_3 + k_4\hat{x}_4) \end{aligned}$$

ดังที่มีผลโดยตรงกับปริมาณการใช้สัญญาณควบคุมของวิธีการออกแบบโดยใช้วิธี LQG นั้น จะขึ้นอยู่กับการเลือก  $R$  โดยตรง ซึ่งแน่นอนว่าจะขึ้นอยู่กับการเลือก  $Q$  ด้วยเช่นเดียวกัน

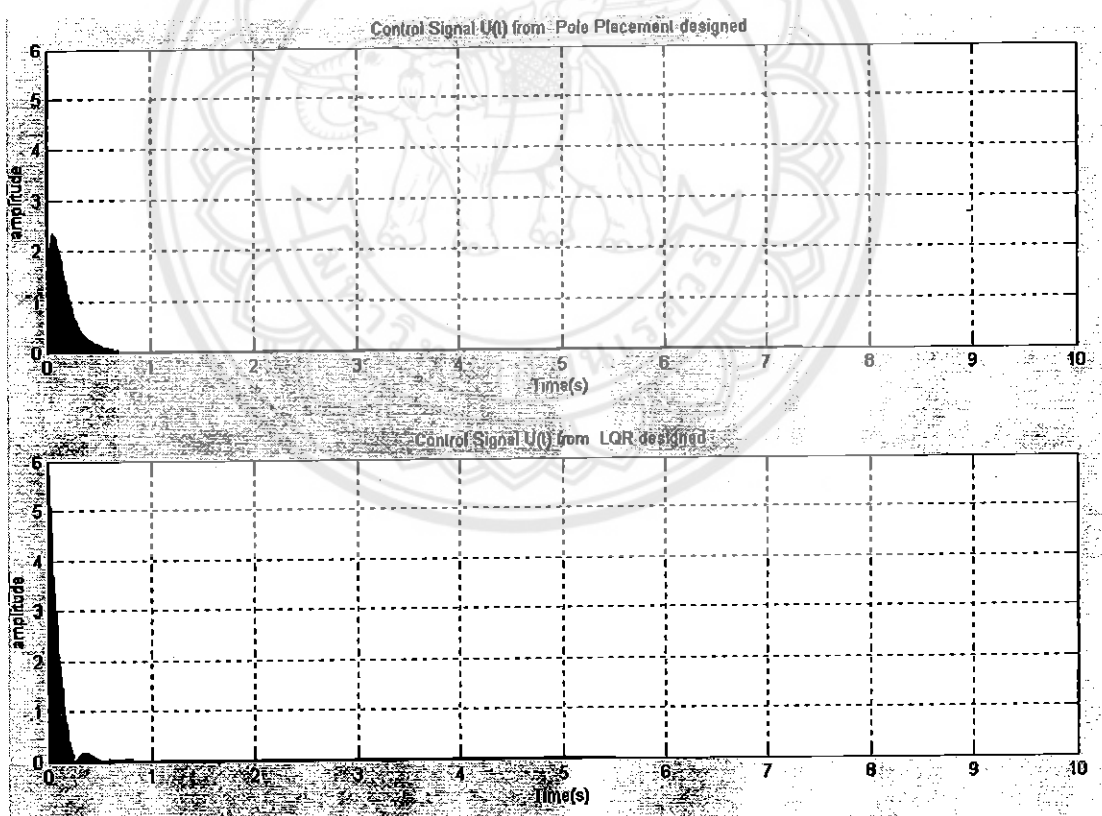
โดยในการวัดปริมาณการใช้สัญญาณควบคุมเราจะกำหนดเงื่อนไขต่างๆ ดังนี้

1. ไม่มีการป้อนสัญญาณขาเข้า  $r = 0$
2. กำหนดสถานะเริ่มต้น(Initial state)ของตัวแปรสถานะแต่ละตัวเท่ากับ  $x_1(0) = 1$ ,  $x_2(0) = 0$ ,  $x_3(0) = 0$ ,  $x_4(0) = 0$ ,  $\dot{x}_1(0) = 1$ ,  $\dot{x}_2(0) = 0$ ,  $\dot{x}_3(0) = 0$ ,  $\dot{x}_4(0) = 0$
3. การออกแบบโดยใช้วิธีการวางแผนขั้ว ซึ่งได้ออกแบบมาแล้วโดยวางตำแหน่งขั้วไว้ที่  $-4.86 \pm j3.14, 10 \pm j10$
4. กำหนด  $W = 0.01, V = 0.01$

สำหรับการออกแบบโดยใช้วิธี LQG ผู้ออกแบบจะเลือก  $Q$  ที่ได้มาจากการพิจารณาเส้นทางการ

$$\text{เกลี่ยอนที่ของสถานะก็คือ } Q = \begin{bmatrix} 50 & 0 & 0 & 0 \\ 0 & 1 & 0 & 0 \\ 0 & 0 & 1 & 0 \\ 0 & 0 & 0 & 1 \end{bmatrix} \text{ และจะเลือก } R = [1] \text{ ก่อน จะทำให้ได้ปริมาณสัญญาณ}$$

ควบคุมอ่อนโยนดังรูป

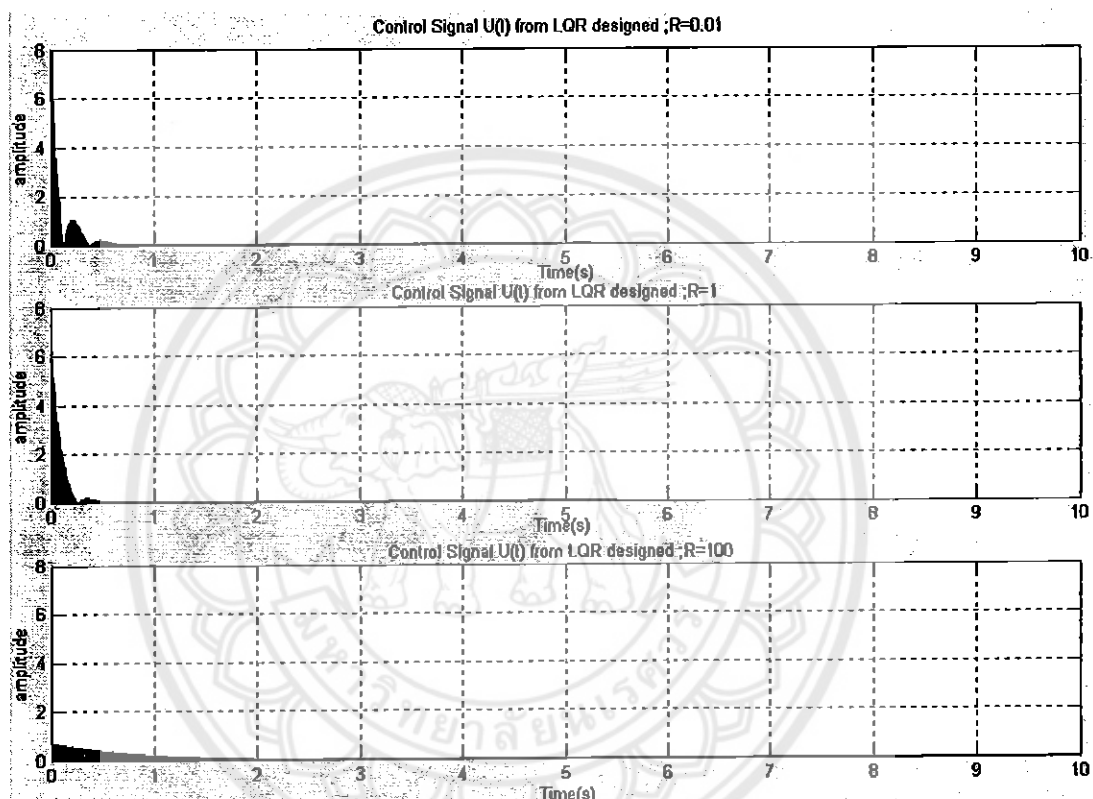


รูปที่ 3.29 รูปปริมาณสัญญาณควบคุมเมื่อ  $R = [1]$  และ  $Q = [q_{11} = 50, q_{22} = 1, q_{33} = 1, q_{44} = 1]$   
ปริมาณการใช้สัญญาณควบคุมที่ได้จากรูปจะเป็นดังนี้

$$U_{pole} = 0.5536$$

$$U_{LQR} = 0.6287$$

เมื่อพิจารณารูป 3.29 จะเห็นว่าปริมาณการใช้สัญญาณควบคุมที่ได้มาจากการออกแบบโดยวิธี LQG จะน้อยและจะเห็นได้ว่าเมื่อเปรียบเทียบรูปที่ 3.29 กับรูปที่ 3.13 จะเห็นได้ว่ารูปปริมาณการใช้สัญญาณควบคุมจะมีลักษณะคล้ายกัน ทั้งนี้ก็เนื่องมาจากตัวแปรสถานะ  $x$  ที่ได้จากการประมาณค่อนข้างจะมีค่าใกล้เคียงกับตัวแปรสถานะ  $x$  ทำให้รูปปริมาณการใช้สัญญาณควบคุมมีลักษณะคล้ายกัน โดยในขั้นตอนต่อไปจะแสดงปริมาณการใช้สัญญาณควบคุมในกรณีที่เลือก  $R = 0.01, 1, 100$  และเลือก  $Q$  เท่าเดิม ดังนี้



รูปที่ 3.30 รูปปริมาณสัญญาณควบคุมเมื่อ  $Q = [q_{11} = 50, q_{22} = 1, q_{33} = 1, q_{44} = 1], R = 0.01, 1, 100$  ปริมาณการใช้สัญญาณควบคุมที่ได้จากรูปจะเป็นดังนี้

$$\text{กรณี } R = 0.01 \quad U_{LQR} = 1.3446$$

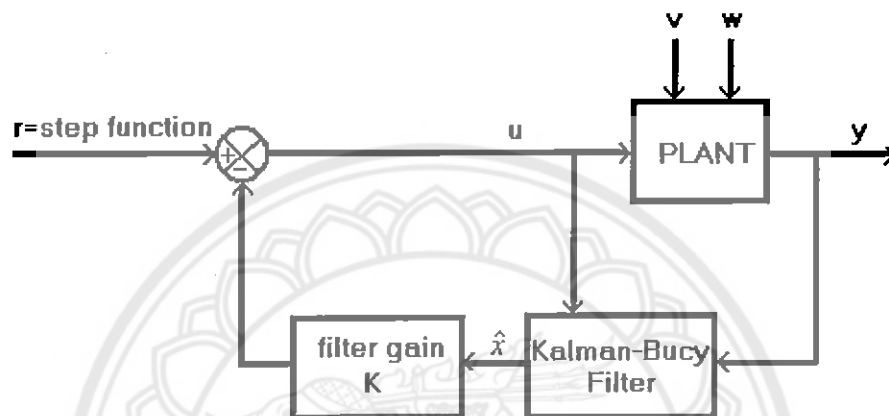
$$\text{กรณี } R = 1 \quad U_{LQR} = 0.6287$$

$$\text{กรณี } R = 100 \quad U_{LQR} = 0.5411$$

พิจารณารูปที่ 3.30 พิจารณารูปถัดไป จะเห็นได้ว่าเมื่อผู้ออกแบบเลือก  $R = 100$  จะทำให้ระบบมีปริมาณการใช้สัญญาณควบคุมที่ลดลง ทั้งนี้ก็ เพราะว่าเมื่อผู้ออกแบบเลือก  $R$  ให้มีค่ามากขึ้น ทำให้ในการลดค่าตัวบ่งชี้สมรรถนะจะเน้นไปที่สัญญาณควบคุมมากกว่าตัวแปรสถานะ จึงส่งผลให้ปริมาณการใช้สัญญาณควบคุมน้อยลงและเมื่อพิจารณารูปถัดไปจะเห็นได้ว่าเมื่อปริมาณการใช้สัญญาณควบคุมที่มากขึ้นตามลำดับ ในกรณีการออกแบบโดยวิธี LQG นี้ ผู้ออกแบบเลือก  $R = 1$

### 3.3.3.3 ผลตอบสนองแบบหนึ่งหน่วย(Step Response)และตำแหน่งขั้ว-ศูนย์(Pole-Zero)

หลังจากที่ผู้ออกแบบได้ค่าพิจารณาหนัก  $Q, R$  ที่เหมาะสมแล้ว ต่อไปจะพิจารณาผลตอบสนองแบบหนึ่งหน่วย ซึ่งจะเป็นการตรวจสอบผลตอบสนองชั่วครู่(Transient Response) และผลตอบสนองในสภาวะคงที่(Steady-State Response)รวมถึงจะตรวจสอบตำแหน่งขั้วและศูนย์ของระบบที่ได้จากการออกแบบ โดยในโครงงานนี้จะมีขั้นตอนตรวจสอบผลตอบสนองแบบหนึ่งหน่วยของระบบควบคุมแบบป้อนกลับสถานะดังนี้



รูปที่ 3.31 แผนผังกล่องระบบควบคุมแบบป้อนกลับสัญญาณขาออกเมื่อป้อนสัญญาณขาเข้าแบบหนึ่งหน่วย

ในการเลือก  $Q, R$  จะนำค่าที่ทำให้ผลตอบสนองของมาใหม่สมที่สุด ที่ได้มาจากการพิจารณา

เส้นทางการเคลื่อนที่ของสถานะและปริมาณการใช้สัญญาณควบคุมคือ  $Q = \begin{bmatrix} 50 & 0 & 0 & 0 \\ 0 & 1 & 0 & 0 \\ 0 & 0 & 1 & 0 \\ 0 & 0 & 0 & 1 \end{bmatrix}$ ,  $R = [1]$   
 $W = 0.0001, V = 0.0001$  ทำให้ได้ค่าอัตราขยาย  $K, K_e$  ออกแบบเป็น

$$K = [7.0711 \quad 1.6073 \quad 18.2633 \quad 0.1120]$$

$$K_e = \begin{bmatrix} 3.4424 \\ 5.4465 \\ -0.0683 \\ -0.9895 \end{bmatrix}$$

ในกระบวนการสังเคราะห์ระบบเพื่อที่จะสามารถหาผลตอบสนองแบบหนึ่งหน่วยจะมีวิธีการดังต่อไปนี้

$$\begin{bmatrix} \dot{x} \\ \dot{e} \end{bmatrix} = \begin{bmatrix} A - BK & BK \\ 0 & A - K_e C \end{bmatrix} \begin{bmatrix} x \\ e \end{bmatrix} + \begin{bmatrix} B \\ 0 \end{bmatrix} r + \begin{bmatrix} G & 0 \\ G & -K_e H \end{bmatrix} \begin{bmatrix} w \\ v \end{bmatrix}$$

$$\begin{bmatrix} \dot{x} \\ \dot{e} \end{bmatrix} = \begin{bmatrix} A - BK & BK \\ 0 & A - K_e C \end{bmatrix} \begin{bmatrix} x \\ e \end{bmatrix} + \begin{bmatrix} B \\ 0 \end{bmatrix} r + \begin{bmatrix} G \\ G \end{bmatrix} w + \begin{bmatrix} 0 \\ -K_e H \end{bmatrix} v \quad (3.3.21)$$

$$y = [C \ 0] \begin{bmatrix} x \\ e \end{bmatrix} + [0] u \quad (3.3.22)$$

$$y = [C \ 0] \begin{bmatrix} A - BK & BK \\ 0 & A - K_e C \end{bmatrix}^{-1} \begin{bmatrix} B \\ 0 \end{bmatrix} r + [C \ 0] \begin{bmatrix} A - BK & BK \\ 0 & A - K_e C \end{bmatrix}^{-1} \begin{bmatrix} G \\ G \end{bmatrix} w +$$

$$[C \ 0] \begin{bmatrix} A - BK & BK \\ 0 & A - K_e C \end{bmatrix}^{-1} \begin{bmatrix} 0 \\ -K_e \end{bmatrix} H v$$

ซึ่งหากำหนดงบบัญชีในสภาวะไม่มีสัญญาณรบกวนหรือเปลี่ยนเป็นฟังก์ชันถ่ายโอนได้ดังนี้

$$y = [C \ 0] \begin{bmatrix} A - BK & BK \\ 0 & A - K_e C \end{bmatrix}^{-1} \begin{bmatrix} B \\ 0 \end{bmatrix} r$$

จะได้ฟังก์ชันถ่ายโอนของระบบเป็น

$$\frac{Y}{R} = \frac{-1.92s^6 - 101.7s^5 + 2969s^4 + 2.235 \times 10^5 s^3 + 3.218 \times 10^6 s^2 + 2.012 \times 10^7 + 4.681 \times 10^7}{s^8 + 117.8s^7 + 5256s^6 + 1.9 \times 10^5 s^5 + 1.6 \times 10^6 s^4 + 1.4 \times 10^7 s^3 + 7.8 \times 10^7 s^2 + 2.4 \times 10^8 s + 3.3 \times 10^9}$$

โดยต่อไปจะตรวจสอบผลตอบสนองแบบหนึ่งหน่วยของระบบหลังจากการออกแบบโดยใช้วิธี LQG โดยที่มีเงื่อนไขดังนี้

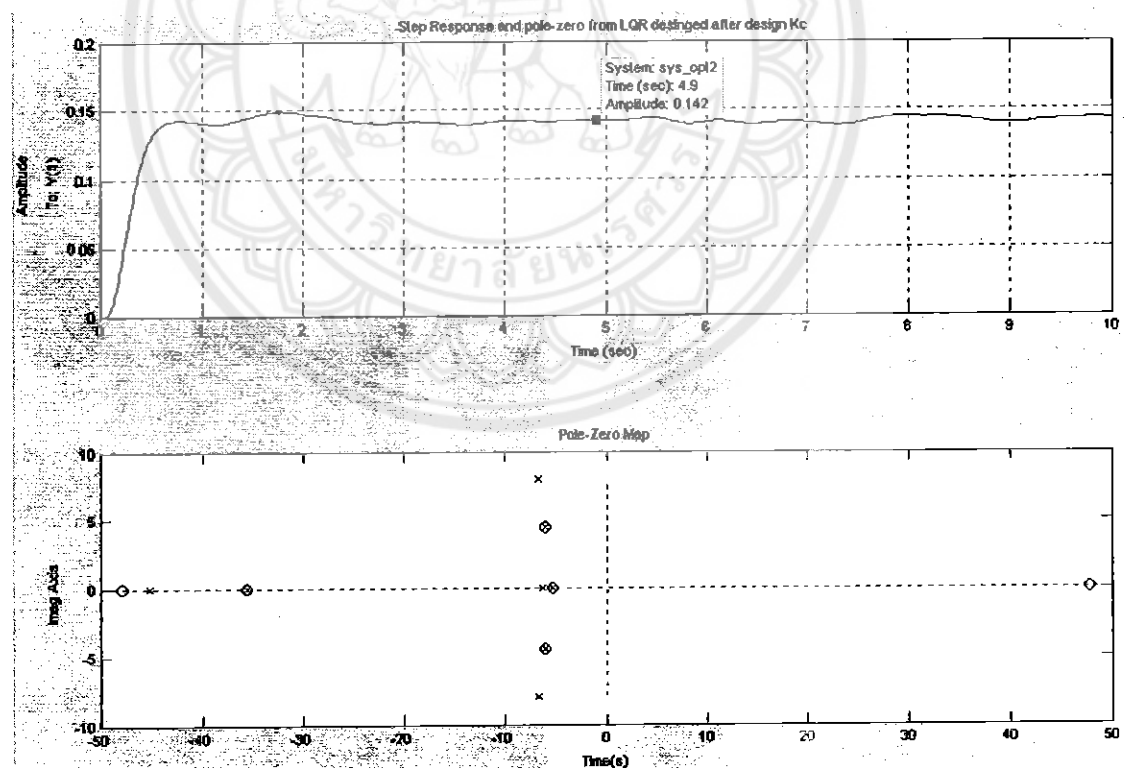
1. ป้อนสัญญาณขาเข้าแบบหนึ่งหน่วย

2. จะเลือก  $Q$  และ  $R$  ที่ได้มาจากการพิจารณาเส้นทางการเคลื่อนที่ของสถานะและปริมาณการ

ใช้สัญญาณควบคุมคือ  $Q = \begin{bmatrix} 50 & 0 & 0 & 0 \\ 0 & 1 & 0 & 0 \\ 0 & 0 & 1 & 0 \\ 0 & 0 & 0 & 1 \end{bmatrix}$ , และ  $R = [1]$

3. ป้อนสัญญาณรบกวนกระบวนการ พ และสัญญาณรบกวนการวัด ท แบบสุ่ม(Random)ตั้งแต่เวลา 0–10 วินาที
4. แสดงผลตอบสนอง 3 กรณีตามขนาดของของสัญญาณรบกวนกระบวนการ พ และสัญญาณรบกวนการวัด ท ดังนี้
  - 4.1 พ มีความแปรปรวนเป็น 0.01 และ ท มีความแปรปรวนเป็น 0.01 ทำให้ได้ค่า  $W = 0.0001, V = 0.0001$
  - 4.2 พ มีความแปรปรวนเป็น 0.01 และ ท มีความแปรปรวนเป็น 0.1 ทำให้ได้ค่า  $W = 0.0001, V = 0.01$
  - 4.3 พ มีความแปรปรวนเป็น 0.1 และ ท มีความแปรปรวนเป็น 0.01 ทำให้ได้ค่า  $W = 0.01, V = 0.0001$

โดยในขั้นแรกป้อนสัญญาณรบกวน พ มีความแปรปรวนเป็น 0.01 และ ท มีความแปรปรวนเป็น 0.01 ทำให้ผลตอบสนองแบบหนึ่งหน่วยของระบบและตำแหน่งขั้วคูนซึ่งจะทำให้ได้ผลตอบสนองออกมา ดังรูป



รูปที่ 3.32 ผลตอบสนองแบบหนึ่งหน่วยของระบบหลังจากการออกแบบตัวควบคุมแบบป้อนกลับสัญญาณขาออก

จากรูปที่ 3.32 จะเห็นได้ว่าผลตอบสนองแบบหนึ่งหน่วยหลังจากออกแบบตัวควบคุมแบบป้อนกลับสถานะเข้าไปในระบบจะมีสัดธารภาพที่ดีและดำเนินการอย่างซ้ำๆ ของระบบ D แต่มีข้อเสียในเรื่องสมรรถนะของระบบจะเห็นได้ว่าผลตอบสนองแบบหนึ่งหน่วยจะมีความผิดพลาดในสภาวะคงที่ (error steady state) โดยมีขนาดประมาณ 0.142 หน่วย ทำให้ผู้ออกแบบจึงต้องออกแบบอัตราขยายเข้าไป และเพื่อเป็นการชดเชยให้ผลตอบสนองมีสมรรถนะเพิ่มมากขึ้น โดยมีแผนผังกล่องแสดงดำเนินการของอัตราขยายดังรูปที่ 3.21 และมีวิธีออกแบบ ดังต่อไปนี้

ค่าคงที่ของตำแหน่งในสภาวะคงที่(Static Position error:  $K_p$ )จะมาได้จาก

$$K_p = \lim_{s \rightarrow 0} G(s)$$

$$K_p = \lim_{s \rightarrow 0} \frac{-1.92s^6 - 101.7s^5 + 2969s^4 + 2.235 \times 10^5 s^3 + 3.218 \times 10^6 s^2 + 2.012 \times 10^7 + 4.681 \times 10^7}{s^8 + 117.8s^7 + 5256s^6 + 1.9 \times 10^5 s^5 + 1.6 \times 10^6 s^4 + 1.4 \times 10^7 s^3 + 7.8 \times 10^7 s^2 + 2.4 \times 10^8 s + 3.3}$$

$$K_p = \frac{4.681 \times 10^7}{3.3 \times 10^8}$$

ทำให้ต้องออกแบบอัตราขยาย(Gain)  $K_c$  เพื่อทำให้ความผิดพลาดในสภาวะคงที่เป็น 0 ได้จาก

$$K_c = \frac{1}{K_p}$$

$$K_c = \frac{3.3 \times 10^8}{4.681 \times 10^7}$$

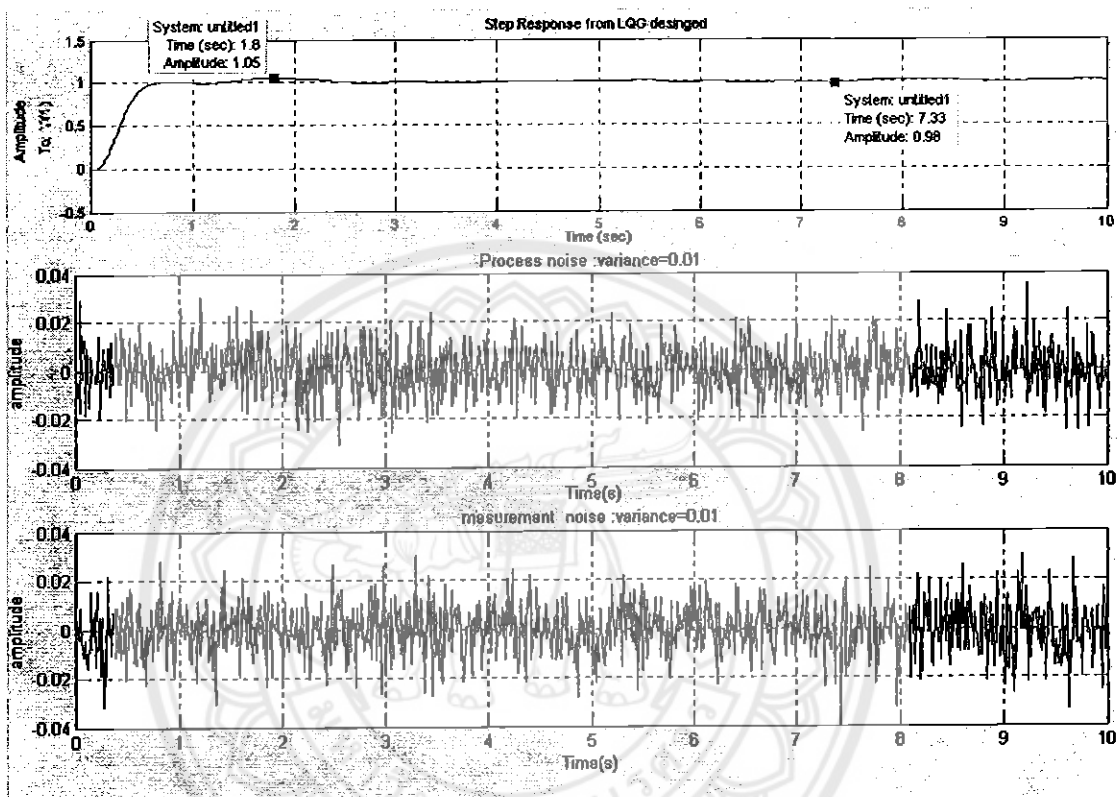
$$K_c = 7.04$$

จะสามารถเขียนพังก์ชันถ่ายโอนใหม่ได้เป็น

$$\frac{Y}{R} = K_c \times \frac{-1.92s^6 - 101.7s^5 + 2969s^4 + 2.235 \times 10^5 s^3 + 3.218 \times 10^6 s^2 + 2.012 \times 10^7 + 4.681 \times 10^7}{s^8 + 117.8s^7 + 5256s^6 + 1.9 \times 10^5 s^5 + 1.6 \times 10^6 s^4 + 1.4 \times 10^7 s^3 + 7.8 \times 10^7 s^2 + 2.4 \times 10^8 s + 3.3 \times}$$

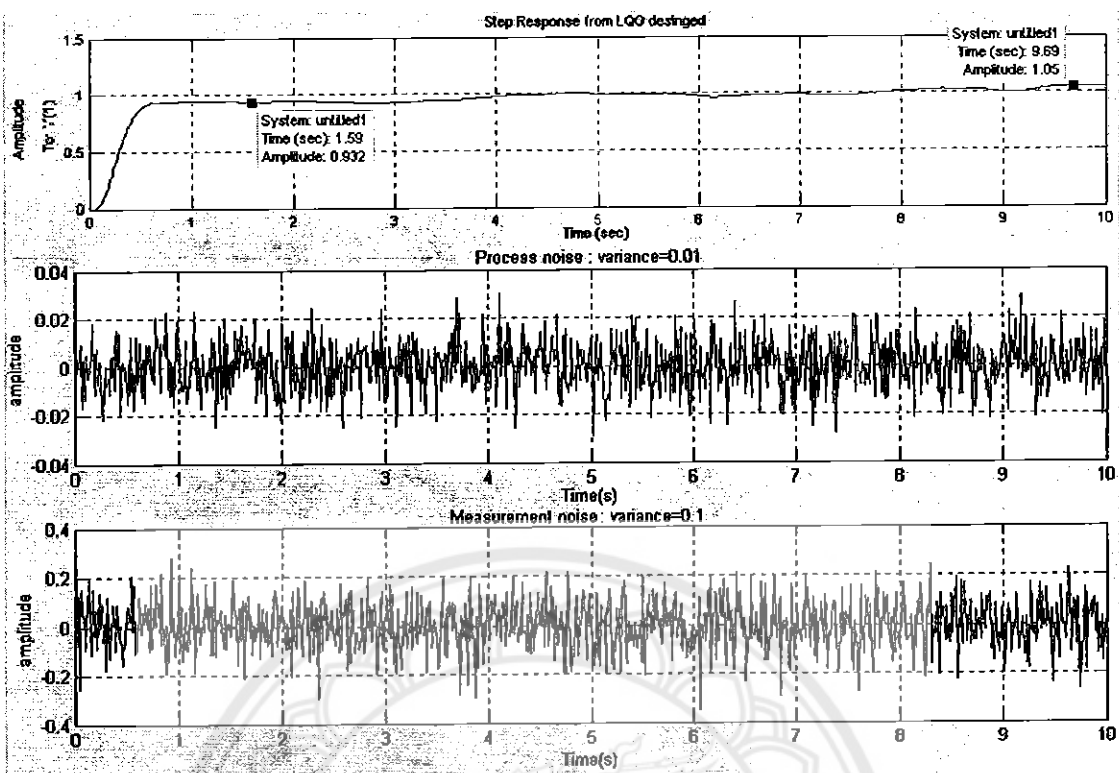
$$\frac{Y}{R} = 7.04 \times \frac{-1.92s^6 - 101.7s^5 + 2969s^4 + 2.235 \times 10^5 s^3 + 3.218 \times 10^6 s^2 + 2.012 \times 10^7 + 4.681 \times 10^7}{s^8 + 117.8s^7 + 5256s^6 + 1.9 \times 10^5 s^5 + 1.6 \times 10^6 s^4 + 1.4 \times 10^7 s^3 + 7.8 \times 10^7 s^2 + 2.4 \times 10^8 s + 3.3}$$

หลังจากได้พิจารณาข้อมูลของระบบหลังจากออกแบบอัตราขยาย  $K_c$  เพื่อชดเชยความผิดพลาดในสภาวะคงที่แล้ว ต่อไปจะทำการตรวจสอบเสถียรภาพและสมรรถนะของระบบ โดยผลตอบสนองแบบหนึ่งหน่วยและสัญญาณรบกวนกระบวนการและสัญญาณรบกวนการวัดเข้าไปในระบบ ดังรูป

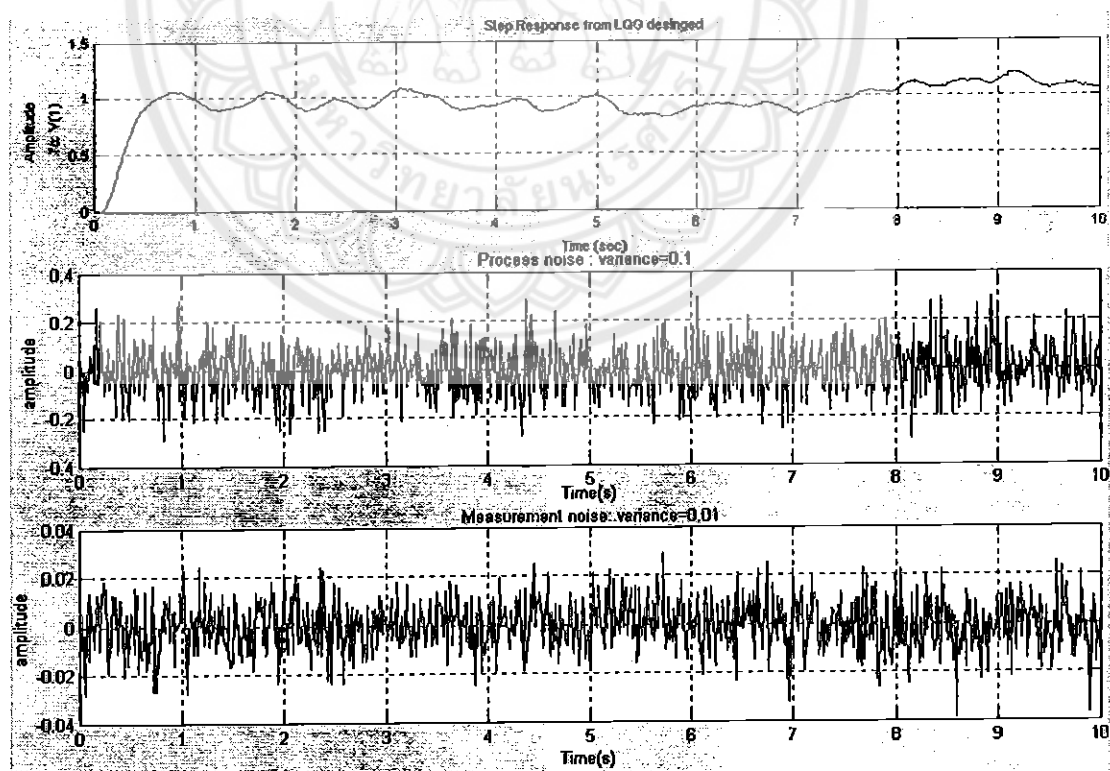


รูปที่ 3.33 เปรียบเทียบผลตอบสนองแบบหนึ่งหน่วยและสัญญาณรบกวนกระบวนการและสัญญาณรบกวนการวัดกรณีที่มีความแปรปรวนเป็น 0.01 และ มีความแปรปรวนเป็น 0.01

พิจารณารูปที่ 3.33 ในสภาวะที่มีสัญญาณรบกวนกระบวนการและสัญญาณรบกวนการวัดเข้ามาในระบบ ซึ่งทั้งคู่เป็นสัญญาณรบกวนความถี่สูง จะเห็นได้ว่าผลตอบสนองแบบหนึ่งหน่วยของระบบที่ได้จากการออกแบบโดยใช้วิธี LQG จะกรองสัญญาณรบกวนที่มีความถี่สูง ทำให้รูปผลตอบสนองแบบหนึ่งหน่วยค่อนข้างเรียบและรูปสัญญาณเปลี่ยนแปลงไปเล็กน้อย โดยในการนี้ต่อไปจะทำการเปรียบเทียบผลกระบวนการที่มีต่อระบบเมื่อป้อนสัญญาณรบกวนกระบวนการและสัญญาณรบกวนการวัดที่มีค่าต่างกัน โดยรูปผลตอบสนองจะออกแบบค่า  $K_c$  เรียนรู้อย่างลึกซึ้ง



รูปที่ 3.34 เปรียบเทียบผลตอบสนองแบบหนึ่งหน่วยและสัญญาณรบกวนกระบวนการและสัญญาณรบกระบวนการวัดกรณีที่  $Q$  มีความแปรปรวนเป็น 0.01 และ  $R$  มีความแปรปรวนเป็น 0.1



รูปที่ 3.35 เปรียบเทียบผลตอบสนองแบบหนึ่งหน่วยและสัญญาณรบกวนกระบวนการและสัญญาณรบกระบวนการวัดกรณีที่  $Q$  มีความแปรปรวนเป็น 0.1 และ  $R$  มีความแปรปรวนเป็น 0.01

พิจารณารูปที่ 3.34 เมื่อป้อนสัญญาณรบกวนกระบวนการนี้ค่าความแปรปรวนเป็น 0.01 และป้อนสัญญาณรบกวนการวัดมีความแปรปรวนมากขึ้นเป็น 0.1 จะเห็นได้ว่าผลตอบสนองแบบหนึ่งหน่วยของระบบที่ได้จะไม่แตกต่างกับกรณีป้อนสัญญาณรบกวนการวัดที่มีความแปรปรวนเป็น 0.01 เลย ซึ่งอาจกล่าวได้ว่า การออกแบบระบบโดยใช้วิธี LQG จะกรองสัญญาณรบกวนการวัดได้ดี

พิจารณารูปที่ 3.35 เมื่อป้อนสัญญาณรบกวนกระบวนการนี้ค่ามากขึ้นมีความแปรปรวนเป็น 0.1 และป้อนสัญญาณรบกวนการวัดมีความแปรปรวนเป็น 0.01 จะเห็นได้ว่าผลตอบสนองแบบหนึ่งหน่วยของระบบที่ได้จะมีความเปลี่ยนแปลงไปค่อนข้างมาก ตามขนาดของสัญญาณรบกวนกระบวนการที่เข้ามา ซึ่งสามารถกล่าวได้ว่าในการออกแบบระบบควบคุมแบบป้อนกลับสัญญาณขาออกโดยใช้วิธี LQG ซึ่งเป็นวิธีที่ใช้ในการหาตัวสังเกตตัวแปรสถานะและเป็นตัวกรองสัญญาณรบกวนควบคู่กันไปด้วย โดยที่จะสามารถกรองสัญญาณรบกวนการวัดได้มากกว่าสัญญาณรบกวนกระบวนการ



## บทที่ 4

### บทสรุป

#### 1.1 สรุปผลการวิเคราะห์

จากการออกแบบระบบควบคุม โดยใช้วิธีการหาค่าเหมาะสมที่สุดและวิธีการวางแผนข้ามในตัวอย่างระบบแขนกลหุ้นยนต์แบบอ่อนตัว ซึ่งเป็นระบบที่ไม่มีเสถียรภาพ หลังจากได้มีการออกแบบตัวควบคุมแบบป้อนกลับสถานะไปควบคุมระบบแขนกลหุ้นยนต์แบบอ่อนตัวแล้ว จะทำให้ระบบมีคุณสมบัติค่าๆ โดยสามารถสรุปเป็นข้อๆ ได้ดังนี้

1. เสถียรภาพ(Stability)ซึ่งก็คือ ในกรณีที่ไม่มีสัญญาณขาเข้า ที่สภาวะคงที่(Steady state) เช่น ทางการเคลื่อนที่ของตัวแขนกลทุกๆ ตัว จะมีค่าเป็น 0
2. สมรรถนะ(Performance)ซึ่งก็คือระบบใช้สัญญาณควบคุม(Control Signal afford)และระบบจะมีเวลาเข้าสภาวะคงที่(Setting time)ที่เร็ว

จะเห็นได้ว่าคุณสมบัติที่กล่าวมาทั้งหมดนี้ที่ได้จากการออกแบบระบบ โดยใช้วิธีการหาค่าเหมาะสมที่สุดและวิธีการวางแผนข้าม คุณสมบัติเหล่านี้ล้วนแต่เป็นเป้าหมายของการออกแบบตัวควบคุมมาใช้ควบคุมระบบทั้งสิ้น

#### 4.2 ข้อเสนอแนะ

จากการที่ผู้ออกแบบได้ศึกษาและนำเอาวิธีการออกแบบระบบควบคุม โดยใช้วิธีการหาค่าเหมาะสมที่สุดมาออกแบบระบบแขนกลหุ้นยนต์แบบอ่อนตัวนั้น ทำให้ผู้ออกแบบมีข้อเสนอแนะ เพื่อทำให้ผู้ที่สนใจมีเป้าหมายในการศึกษาเกี่ยวกับวิธีการออกแบบระบบควบคุม โดยใช้วิธีนี้และอีกทั้งยัง เป็นการทำให้โครงงานนี้มีความสนับสนุนมากขึ้น ดังนี้

1. ความมีการเปรียบเทียบผลที่ได้จากการออกแบบ โดยใช้วิธีการหาค่าเหมาะสมที่สุด (Linear Quadratic: LQ) กับวิธีการออกแบบอื่นๆ เช่น วิธีจูป-เชพปิง, วิธี  $H_\infty$  เป็นต้น
2. ความมีการวิเคราะห์การออกแบบ โดยใช้วิธี LQR ให้อยู่ในรูป LMI (Linear Matrix Inequality)
3. ความมีการวิเคราะห์ระบบสภาวะที่มีสัญญาณรบกวนเข้ามายังระบบทั้งสัญญาณรบกวน ความดีดูง (Noise) และสัญญาณรบกวนความถี่ต่ำ (Disturbance)
4. ควรจะนำไปประยุกต์ใช้ออกแบบระบบทางกายภาพให้เห็นเป็นรูปธรรมมากกว่านี้

## เอกสารอ้างอิง

- [1] Katsuhiko Ogata. **Modern Control Engineering.** 3<sup>rd</sup> Edition New Jersey,USA: Prentice Hall International,Inc 1997
- [2] Peter Dorato and Chaouki Abdallah and Vito Cerome. **Linear-Quadratic Control.** New Jersey, USA: Prentice Hall International,Inc 1995
- [3] Raymond T.Stefani and Clement J.Sarant,Jr and Bahram Shahian and Gene H.Hostetter. **Design of Feedback Controll System.** 3<sup>rd</sup> Edition New USA: Harcourt Brace College Publishers 1994
- [4] รศ.สุมาลี อุณหวัฒน์ ระบบควบคุม(Control System).กรุงเทพมหานคร,ประเทศไทย: บริษัท ซีเอ็ค จำกัด 2545
- [5] Panu Chaichanavong and David Banjerpongchai "A Case Study of Robust Control Experiment on Onelink Flexible Robot Arm," IEEE Trans. On Computer. No.38. Dec. 1999.

## ภาควิชานวัตกรรม

# โปรแกรมคอมพิวเตอร์

<b>MATLAB Program 1: statefeedback_lqr.m</b>	<b>Description : Control system design using LQR method</b>
%%%%%%%%	%%%%%%
%%% State feedback Design using	%%%
%%% Pole Placement Method and LQR Method	%%%
%%% File Name: statefeedback_lqr.m	%%%
%%% Written By: Mr.Somchai Chuebunmee	%%%
%%% Date: On May 8, 2005	%%%
%%%%%	%%%%%
clc	
clear all	
%Designed state observer system	
%%%State Space Plant%%	
A=[0 1 0 0;0 -4.22 0 -13.81;0 0 0 1;0 -13.81 -559.78 -45.21];	
B=[0 7.85 0 25.71]';	
C=[1 0 -0.38 0];	
D=[0];	
%%%assume Matrix For Output%%	
BB=zeros(size(1:4))';	
CC=eye(4);	
DD=0;	
%%%Designed System By Pole Placement%%	
%Designed State Feedback Gain By Pole Placement	
sprintf('Rank of Controllability Matrix is %d\n',rank ctrb(A,B));	%Check Rank of Controllability Matrix
pole_st1=-4.86+3.14i;	%Desire Pole1 for State Feedback
pole_st2=-4.86-3.14i;	%Desire Pole2 for State Feedback
pole_st3=-10+10i;	%Desire Pole3 for State Feedback
pole_st4=-10-10i;	%Desire Pole4 for State Feedback
pole_st=[pole_st1 pole_st2 pole_st3 pole_st4];	
K_pole = acker(A,B,pole_st);	%available Gain K
%%%Designed System By Optimization%%	
q1=input('Choose Weighting Function q1 =');	%Weighting q1%

```

q2=input('Choose Weighting Function q2 ='); %Weighting q2%
q3=input('Choose Weighting Function q3 ='); %Weighting q3%
q4=input('Choose Weighting Function q4 ='); %Weighting q4%
Q=[q1 0 0 0;0 q2 0 0;0 0 q3 0;0 0 0 q4]; %Matrix Q
R = input('Choose Weighting Function for R ='); %Weighting R
[K_opt,P,E] = LQR(A,B,Q,R); %Optimal Regulator

%state,transfer function,Gain Kc,Control signal from Pole Placement designed
sys_pole=ss(A-B*K_pole,B,C,D); %state space of Pole Placement(for transfer function)
sys_pole1=ss(A-B*K_pole,BB,CC,DD); %state space of Pole Placement(for state trajectory)
X0=[1 0 0 0]'; %initial condition of State X(0)
T0=0:0.01:10; %Time
[Y,T,X] = INITIAL(sys_pole1,X0,T0); %initial command for stability check
X1_pole=X(:,1); %X1
X2_pole=X(:,2); %X2
X3_pole=X(:,3); %X3
X4_pole=X(:,4); %X4
[NUM,DEN] = SS2TF(A-B*K_pole,B,C,D);
s=tf('s');tf_pole=([s^4 s^3 s^2 s 1]*NUM)/([s^4 s^3 s^2 s 1]*DEN); %Transfer function
Kp_pole=NUM(5)/DEN(5); %Kp=lim(t) ;take s->0
Kc_pole=1/Kp_pole; %Kc
sprintf('Gain Kc(Pole Placement) is %fn',Kc_pole); %Gain Kc for pole placement designed
U_pole=abs([K_pole]*[X1_pole X2_pole X3_pole X4_pole]); %U from Pole placement Designed

%state&transfer function,Gain Kc from LQR designed
sys_opt=ss(A-B*K_opt,B,C,D); %state space of LQR(for transfer function)
sys_opt1=ss(A-B*K_opt,BB,CC,DD); %state space of LQR(for state trajectory)
X0=[1 0 0 0]'; %initial condition of State X(0)
T0=0:0.01:10; %Time
[Y2,T2,X2] = INITIAL(sys_opt1,X0,T0); %initial command for stability check
X1_opt=X2(:,1); %X1
X2_opt=X2(:,2); %X2
X3_opt=X2(:,3); %X3
X4_opt=X2(:,4); %X4
[NUM2,DEN2] = SS2TF(A-B*K_opt,B,C,D);
s=tf('s');tf_opt =([s^4 s^3 s^2 s 1]*NUM2)/([s^4 s^3 s^2 s 1]*DEN2); %Transfer function of plant

```

```

Kp_opt=NUM2(S)/DEN2(S); %Kp=lim(t) ;take s->0
Kc_opt=1/Kp_opt; %Kc
sprintf('Gain Kc(LQR) is %f\n',Kc_opt); %Gain Kc form LQR designed
U_opt=abs([Kc_opt*[X1_opt X2_opt X3_opt X4_opt]]); %U from LQR Designed
%Control signal
sprintf('Control signal afford(Pole Placement)is %f\n',sum(U_pole*0.01,2))
sprintf(' and Control signal afford(LQR)is %f\n',sum(U_opt*0.01,2))
%Performance Index
V=[X1_opt(1) X2_opt(1) X3_opt(1) X4_opt(1)]*P*[X1_opt(1) X2_opt(1) X3_opt(1) X4_opt(1)];
sprintf('Performance index(V) is %f\n',V)
figure(1);
SUBPLOT(2,2,1),plot(T,X1_pole,'.',T2,X1_opt),XLABEL('Time(s)'),YLABEL('amplitude');
legend('state x1 from Pole placement designed','state x1 from LQR designed',0);Grid
SUBPLOT(2,2,2),plot(T,X2_pole,'.',T2,X2_opt),XLABEL('Time(s)'),YLABEL('amplitude');
legend('state x2 from Pole placement designed','state x2 from LQR designed',0);Grid
SUBPLOT(2,2,3),plot(T,X3_pole,'.',T2,X3_opt),XLABEL('Time(s)'),YLABEL('amplitude');
legend('state x3 from Pole placement designed','state x3 from LQR designed',0);Grid
SUBPLOT(2,2,4),plot(T,X4_pole,'.',T2,X4_opt),XLABEL('Time(s)'),YLABEL('amplitude');
legend('state x4 from Pole placement designed','state x4 from LQR designed',0);Grid
figure(2);SUBPLOT(2,1,1),plot(T,U_pole),grid,axis([0 7 0 2]),XLABEL('Time(s)'),YLABEL('amplitude'),title('Control
Signal U(t) from Pole Placement designed')
SUBPLOT(2,1,2),plot(T2,U_opt),grid,axis([0 7 0 2]),XLABEL('Time(s)'),YLABEL('amplitude'),title('Control
Signal U(t) from LQR designed')
figure(2);SUBPLOT(2,1,1),AREA(T,U_pole),grid,axis([0 7 0 2]),XLABEL('Time(s)'),YLABEL('amplitude'),title('Control
Signal U(t) from Pole Placement designed')
SUBPLOT(2,1,2),AREA(T2,U_opt),grid,axis([0 7 0 2]),XLABEL('Time(s)'),YLABEL('amplitude'),title('Control
Signal U(t) from LQR designed')
figure(3);SUBPLOT(2,2,1),STEP(sys_pole,T);Grid,title('Step Response and pole-zero from pole placement desinged')
SUBPLOT(2,2,2),STEP(sys_opt,T);Grid,title('Step Response and pole-zero from LQR desinged')
SUBPLOT(2,2,3),pzmap(sys_pole,T);
SUBPLOT(2,2,4),pzmap(sys_opt,T);
figure(4);SUBPLOT(2,2,1),STEP(sys_pole*Kc_pole,T);Grid,title('Step Response and pole-zero from pole placement desinged
after design Kc')
SUBPLOT(2,2,2),STEP(sys_opt*Kc_opt,T);Grid,title('Step Response and pole-zero from LQR desinged after design Kc')
SUBPLOT(2,2,3),pzmap(sys_pole,T);
SUBPLOT(2,2,4),pzmap(sys_opt,T);

```

MATLAB Program 2: outputfeedback_lqg.m	Description : Control system design using LQG method
<pre>%% %%%%%    output feedback Design using                                     %%% %%%%% Pole Placement Method and LQG Method                           %% %%%%% File Name:  outputfeedback_lqg.m                                %% %%%%% Written By: Mr.Somechai Chuebunmee                            %% %%%%% Date:      On May 8, 2005                                     %% %%% clc clear all %Designed state observer system %%State Space Plant%% A=[0 1 0 0;0 -4.22 0 -13.81;0 0 0 1;0 -13.81 -559.78 -45.21]; B=[0 7.85 0 25.71]; C=[1 0 -0.38 0]; D=[0]; %%assume Matrix For Output Plot%% BB=zeros(size(1:8)); CC=eye(8); DD=0; %%Designed System By Pole Placement Method%% %Designed State Feedback Gain By Pole Placement sprintf('Rank of Controllability Matrix is %d\n',rank ctrb(A,B));           %%Check Rank of Controllability Matrix pole_st1=-4.86+3.14i;   %%Desire Pole1 for State Feedback pole_st2=-4.86-3.14i;   %%Desire Pole2 for State Feedback pole_st3=-10+10i;  %%Desire Pole3 for State Feedback pole_st4=-10-10i;  %%Desire Pole4 for State Feedback pole_st=[pole_st1 pole_st2 pole_st3 pole_st4]; K_pole = acker(A,B,pole_st);                                     %%available Gain K %Designed State Observer Gain By Pole Placement sprintf('Rank of Observability Matrix is %d\n',rank obsv(A,C));          %%Check Rank of Observability Matrix pole_ob1=-20;   %%Desire Pole1 for State Observer pole_ob2=-20;   %%Desire Pole2 for State Observer pole_ob3=-22;   %%Desire Pole3 for State Observer pole_ob4=-22;   %%Desire Pole4 for State Observer pole_ob=[pole_ob1 pole_ob2 pole_ob3 pole_ob4];</pre>	

```

Ke_pole = [acker(A',C',pole_ob)]; %available Gain Ke

%%Designed System By Optimization%%
q1=input('Choose Weighting Function q1 ='); %Weighting q1%
q2=input('Choose Weighting Function q2 ='); %Weighting q2%
q3=input('Choose Weighting Function q3 ='); %Weighting q3%
q4=input('Choose Weighting Function q4 ='); %Weighting q4%
Q=[q1 0 0 0;0 q2 0 0;0 0 q3 0;0 0 0 q4]; %Matrix Q
R =input('Choose Weighting Function for R ='); %Weighting R
w=input('Choose magnitude of w ='); %process noise
W=[w^2]; %covariance of process noise
v=input('Choose magnitude of v ='); %measurement noise
V=[v^2]; %covariance of measurement noise
G=[1;1;1;1]; %process noise directly on state
[K_opt,P,E] = LQR(A,B,Q,R); %Optimal Regulator
[Ke_opt,Pf,Ee]= LQE(A,G,C,W,V); %Optimal estimator
T=0:0.01:10; %Time

%% define xdot-edot in state space
A_pole=[A-B*K_pole B*K_pole;zeros(4) A-Ke_pole*C]; %Matrix A_xdot-edot(Pole Placement)
A_opt=[A-B*K_opt B*K_opt;zeros(4) A-Ke_opt*C]; %Matrix A_xdot-edot(LQG)
B_sys=[B;0;0;0]; %Matrix B_xdot-edot
C_sys=[C 0 0 0]; %Matrix C_xdot-edot
D_sys=0; %Matrix D_xdot-edot

%% xdot-xhatdot in state space
AA_pole=[A -B*K_pole;Ke_pole*C A-B*K_pole-Ke_pole*C]; %Matrix A_xdot-xhatdot(Pole Placement)
AA_opt=[A -B*K_opt;Ke_opt*C A-B*K_opt-Ke_opt*C]; %Matrix A_xdot-xhatdot(LQG)
BB_sys=[B;B]; %Matrix B_xdot-xhatdot
CC_sys=[C C]; %Matrix C_xdot-xhatdot
DD_sys=0; %Matrix D_xdot-xhatdot

%state,transfer function,Gain Kc,Control signal from Pole Placement designed
sys_pole=ss(AA_pole, BB_sys, CC_sys, DD_sys); %state space of Pole Placement(for state trajectory
X0=[1 0 0 0 1 0 0 0]; %initial condition of State X(0)&Xhat(0)
T0=0:0.01:10; %Time
[Y,T,X] = INITIAL(sys_pole,X0,T0); %initial command for stability check
X1_pole=X(:,1); %X1
X2_pole=X(:,2); %X2
X3_pole=X(:,3); %X3

```

```

X4_pole=X(:,4); %X4
X1hat_pole=X(:,5); %X1hat
X2hat_pole=X(:,6); %X2hat
X3hat_pole=X(:,7); %X3hat
X4hat_pole=X(:,8); %X4hat
sys_pole1=ss(A_pole,B_sys,C_sys,D_sys); %state space of Pole Placement(for transfer fn.
[NUM,DEN]=SS2TF(A_pole,B_sys,C_sys,D_sys);
s=tf('s');tf_pole=([s^8 s^7 s^6 s^5 s^4 s^3 s^2 s 1]*NUM')/([s^8 s^7 s^6 s^5 s^4 s^3 s^2 s 1]*DEN'); %Transfer function
Kp_pole=NUM(9)/DEN(9); %Kp=lim(tf) ;take s>0
Kc_pole=1/Kp_pole; %Kc
fprintf('Gain Kc(Pole Placement) is %d\n',Kc_pole); %Gain Kc for pole placement designed
U_pole=abs([K_pole]*[X1hat_pole X2hat_pole X3hat_pole X4hat_pole]); %U from Pole placement Designed
%state&transfer function,Gain Kc from LQR designed
sys_opt=ss(AA_opt,BB_sys,CC_sys,DD_sys); %state space of LQG(for state trajectory)
X0=[1 0 0 0 1 0 0 0]'; %initial condition of State X(0)&Xhat(0)
T0=0:0.01:10; %Time
[Y2,T2,X2]=INITIAL(sys_opt,X0,T0); %initial command for stability check
X1_opt=X2(:,1); %X1
X2_opt=X2(:,2); %X2
X3_opt=X2(:,3); %X3
X4_opt=X2(:,4); %X4
X1hat_opt=X2(:,5); %X1hat
X2hat_opt=X2(:,6); %X2hat
X3hat_opt=X2(:,7); %X3hat
X4hat_opt=X2(:,8); %X4hat
sys_opt1=ss(A_opt,B_sys,C_sys,D_sys); %state space of LQG(for transfer fn.)
[NUML,DENL]=SS2TF(A_opt,B_sys,C_sys,D_sys);
s=tf('s');tf_opt=([s^8 s^7 s^6 s^5 s^4 s^3 s^2 s 1]*NUML')/([s^8 s^7 s^6 s^5 s^4 s^3 s^2 s 1]*DENL'); %Transfer function
Kp_opt=NUML(9)/DENL(9); %Kp=lim(tf) ;take s>0
Kc_opt=1/Kp_opt; %Kc
fprintf('Gain Kc(LQG) is %d\n',Kc_opt); %Gain Kc for Optimization designed
%noise part
BB_lqg=[B G [0;0;0;0];[0;0;0;0] G -Ke_opt]; %Matrix B_xdot-edot(for add r,v,w)
input1=l+zeros(size(T)); %input r=step function
input2=w*randn(length(T),1); %Process Noise
input3=v*randn(length(T),1); %Measurement Noise

```

```

sys_input=[input1 input2 input3]; %3 input
sys_opt2=ss(A_opt,BB_lgg,C_sys,D_sys); %state space of LQG(for add r,v,w)
U_opt=abs([K_opt]*[X1hat_opt X2hat_opt X3hat_opt X4hat_opt']); %U from LQG Designed
%error
error1_opt=X1_opt-X1hat_opt; %error between x1 and x1hat form LQG
error2_opt=X2_opt-X2hat_opt; %error between x2 and x2hat form LQG
error3_opt=X3_opt-X3hat_opt; %error between x3 and x3hat form LQG
error4_opt=X4_opt-X4hat_opt; %error between x4 and x4hat form LQG
error1_pole=X1_pole-X1hat_pole; %error between x1 and x1hat form Pole placement
error2_pole=X2_pole-X2hat_pole; %error between x2 and x2hat form Pole placement
error3_pole=X3_pole-X3hat_pole; %error between x3 and x3hat form Pole placement
error4_pole=X4_pole-X4hat_pole; %error between x4 and x4hat form Pole placement
%Performance index
fprintf('Performance index(V) is %f\n',trace(P*Ke_opt*V*Ke_opt')+trace(Pf*Q'))
%Control signal
fprintf('Control signal afford(Pole placement)is %f\n',sum(U_pole*0.01,2))
fprintf(' and Control signal afford(LQG)is %f\n',sum(U_opt*0.01,2))

figure(1);
SUBPLOT(2,2,1),plot(T,X1_pole,'.',T2,X1_opt),XLABEL('Time(s)'),YLABEL('amplitude');
legend('state x1 from Pole placement designed','state x1 from LQG designed',0);Grid
SUBPLOT(2,2,2),plot(T,X2_pole,'.',T2,X2_opt),XLABEL('Time(s)'),YLABEL('amplitude');
legend('state x2 from Pole placement designed','state x2 from LQG designed',0);Grid
SUBPLOT(2,2,3),plot(T,X3_pole,'.',T2,X3_opt),XLABEL('Time(s)'),YLABEL('amplitude');
legend('state x3 from Pole placement designed','state x3 from LQG designed',0);Grid
SUBPLOT(2,2,4),plot(T,X4_pole,'.',T2,X4_opt),XLABEL('Time(s)'),YLABEL('amplitude');
legend('state x4 from Pole placement designed','state x4 from LQG designed',0);Grid
figure(2);
SUBPLOT(2,2,1),plot(T,X1hat_pole,'.',T2,X1hat_opt),XLABEL('Time(s)'),YLABEL('amplitude');
legend('state x1hat from Pole placement designed','state x1hat from LQG designed',0);Grid
SUBPLOT(2,2,2),plot(T,X2hat_pole,'.',T2,X2hat_opt),XLABEL('Time(s)'),YLABEL('amplitude');
legend('state x2hat from Pole placement designed','state x2hat from LQG designed',0);Grid
SUBPLOT(2,2,3),plot(T,X3hat_pole,'.',T2,X3hat_opt),XLABEL('Time(s)'),YLABEL('amplitude');
legend('state x3hat from Pole placement designed','state x3hat from LQG designed',0);Grid
SUBPLOT(2,2,4),plot(T,X4hat_pole,'.',T2,X4hat_opt),XLABEL('Time(s)'),YLABEL('amplitude');
legend('state x4hat from Pole placement designed','state x4hat from LQG designed',0);Grid

```

```

figure(3);

SUBPLOT(2,2,1),plot(T,error1_pole,'!',T2,error1_opt);XLABEL('Time(s)');YLABEL('amplitude');
legend('error1 from Pole placement designed','error1 from LQG designed',0);Grid
SUBPLOT(2,2,2),plot(T,error2_pole,'!',T2,error2_opt);XLABEL('Time(s)');YLABEL('amplitude');
legend('error2 from Pole placement designed','error2 from LQG designed',0);Grid
SUBPLOT(2,2,3),plot(T,error3_pole,'!',T2,error3_opt);XLABEL('Time(s)');YLABEL('amplitude');
legend('error3 from Pole placement designed','error3 from LQG designed',0);Grid
SUBPLOT(2,2,4),plot(T,error4_pole,'!',T2,error4_opt);XLABEL('Time(s)');YLABEL('amplitude');
legend('error4 from Pole placement designed','error4 from LQG designed',0);Grid

figure(4);SUBPLOT(2,1,1),plot(T,U_pole),grid, axis([0 7 0 2]),XLABEL('Time(s)');YLABEL('amplitude'),title('Control
Signal U(t) from Pole Placement designed')

SUBPLOT(2,1,2),plot(T2,U_opt),grid, axis([0 7 0 2]),XLABEL('Time(s)');YLABEL('amplitude'),title('Control Signal U
(t) from LQR designed')

figure(4);SUBPLOT(2,1,1),AREA(T,U_pole),grid, axis([0 7 0 2]),XLABEL('Time(s)');YLABEL('amplitude'),title('Control
Signal U(t) from Pole Placement designed')

SUBPLOT(2,1,2),AREA(T2,U_opt),grid, axis([0 7 0 2]),XLABEL('Time(s)');YLABEL('amplitude'),title('Control Sign:U(t) from LQR designed')

figure(5);SUBPLOT(2,2,1),STEP(sys_pole1,T);Grid;title('Step Response and pole-zero from pole placement desinged')
SUBPLOT(2,2,2),lsim(sys_opt2,sys_input,T);Grid;title('Step Response and pole-zero from LQG desinged')
SUBPLOT(2,2,3),pzmap(sys_pole,T);
SUBPLOT(2,2,4),pzmap(sys_opt,T);

figure(6);SUBPLOT(2,2,1),STEP(sys_pole1*Kc_pole,T);Grid;title('Step Response and pole-zero from pole placement
desinged after design Kc')
SUBPLOT(2,2,2),STEP(sys_opt1*Kc_opt,T);Grid;title('Step Response and pole-zero from LQR desinged after design
Kc')
SUBPLOT(2,2,3),pzmap(sys_pole,T);
SUBPLOT(2,2,4),pzmap(sys_opt,T);

figure(7);SUBPLOT(3,1,1),lsim(sys_opt2*Kc_opt,sys_input,T);Grid;title('Step Response from LQG desinged')
;SUBPLOT(3,1,2),plot(T,input2);Grid,XLABEL('Time(s)');YLABEL('amplitude'),title('Process noise ')
;SUBPLOT(3,1,3),plot(T,input3);Grid,XLABEL('Time(s)');YLABEL('amplitude'),title('Measurement noise ')

```

## ประวัติผู้ทำโครงการ



ชื่อ: นายสมชาย เชื้อบุญนี

รหัส: 44362408

ที่อยู่: 126/1 ถ.กีริรัฐ ต.กุดป่อง อ.เมือง จ.เลย

ประวัติการศึกษา:

- สำเร็จการศึกษาระดับประดิษฐ์ศึกษาจากโรงเรียนชุมชนครีสต์อะคาด จ.เลย
- สำเร็จการศึกษาระดับมัธยมศึกษาจากโรงเรียนเลขพิทักษณ จ.เลย
- ปัจจุบันกำลังศึกษาระดับปริญญาตรีชั้นปีที่4 สาขาวิชาศึกษาฯ ไฟฟ้า  
คณะวิศวกรรมศาสตร์ มหาวิทยาลัยนเรศวร จ.พิษณุโลก

E-mail: som\_ee@hotmail.com

